

REVISTA ELETRONICA

Curso de Videocassete
2º fascículo

ANO VIII — N.º 93 — NOVEMBRO/84 — Cr\$ 3.200

Gravador e copiador de EPROMs

para o Nestor e outros micros

PRÁTICA

Divisor
eletrônico
para seu som

ENGENHARIA

Visores planos
substituem os
cinescópios

Filtros ativos:
teoria e projeto

SUPLEMENTO ESPECIAL
Tabela de preços dos
principais
componentes eletrônicos

NOVA ELETRONICA

PRÁTICA

Gravação de EPROMs com o Nestor

12

Um circuito e um programa permitem usar o micro da NE como gravador e copiador de memórias

Divisor eletrônico de freqüências

17

Para adotar, de forma econômica, a técnica da biamplificação, separando agudos e médios dos graves

BANCADA

A técnica de instalação das antenas —

2^a parte 25

Dicas de montagem e ligação das antenas coletivas

ENGENHARIA

Os mostradores planos de imagens — 1^a parte

34

Os TRCs estão com os dias contados: várias tecnologias concorrem para substituí-los

Análise e projeto de filtros —

parte I 38

Passa-baixas, passa-altas, passa-faixa e outros tipos de filtro são teorizados e dissecados nesta nova série

Prancheta do projetista —

série nacional 44

TELECOMUNICAÇÕES

Medições em canais PCM

46

PY/PX

Gauchos debatem a filiação compulsória

54

Entrevista com o diretor seccional da Labre — Rio Grande do Sul

Prefixos de radioamadorismo

56

Uma lista completa, cobrindo o mundo todo

Posto de Escuta

59

CAPA



O gravador/duplicador de EPROMs com o micro Nestor é a vedete desta edição. Com um circuito bastante simples e um programa que aproveita o espaço ainda livre na memória do computador, ele resolve de forma econômica o problema de programação dessas memórias.

ÁUDIO

Vantagens dos falantes eletrostáticos

60

Discos

64

BYTE

Aplicativos

66

Conceitos básicos da comunicação de dados

72

Introdução aos modems, técnicas de modulação e modalidades de transmissão de dados digitais

VÍDEO

TV-Consultoria

79

Tubos para câmeras de vídeo —

84

Conheça as válvulas captadoras de alta sensibilidade

CURSO

Videocassete — 2º fascículo

SEÇÕES

Cartas

4

Notas nacionais

6

Notas internacionais

9

Astronáutica & Espaço

22

Galena

32

Livraria NE

77

Classificados

87

Retificações no WALK-FM

Primeiramente desejo parabenizá-los pela excelente qualidade da revista. Apesar de colecioná-la há pouco mais de dois anos, vem me auxiliando principalmente na área de eletrônica digital e computacional. Continuem assim, pois creio que vários leitores têm a mesma opinião.

Aproveito a oportunidade para alertá-los sobre algumas divergências que percebi na publicação do WALK-FM (NE nº 90, que acredito será de grande ajuda a muitos leitores (...)

Wilson de Oliveira Junior
São Carlos — SP

Sou leitor e admirador da revista NE já há algum tempo e não há dúvidas de que se trata de um informativo técnico de primeira qualidade, em todos os sentidos.

Estou escrevendo para informá-los sobre algumas observações referentes ao projeto do WALK-FM, publicado na revista nº 90, agosto de 84. A idéia de lançar um projeto desses foi realmen-

te brilhante, no aspecto de ser factível pelos interessados em eletrônica; portanto, parabéns!

Entretanto, ao tentar realizar o projeto, infelizmente não obtive muito êxito. Após a montagem, o circuito não funcionou de imediato; comecei então a notar algumas discrepâncias entre o esquema elétrico e o desenho do chapeado (...)

Luis Cesar Sciarretta
São Paulo — SP

Recebemos algumas cartas de leitores que sentiram dificuldade em montar o WALK-FM, nosso receptor de FM lançado em agosto. Resolvemos, por isso, voltar ao assunto nesta seção, para que todos os montadores possam tirar proveito das informações.

Revisamos novamente o circuito impresso do receptor e chegamos à conclusão de que o projeto está correto. Ocorreram, por outro lado, alguns erros de revisão de desenho, que poderão criar confusão durante a montagem. Informamos de antemão que esses erros não exigem nenhuma alteração no traçado da placa; eles foram todos corrigidos e o desenho, republi-

cado aqui, para melhor orientação. São eles:

- o capacitor C1 do lado esquerdo de CI1 é na verdade C7;
- o capacitor C21, no lado inferior direito de CI2, é na verdade C22;
- o resistor R3 ligado diretamente a P1 é na verdade R7;
- a polaridade do LED está invertida;
- a polaridade da bateria está invertida;
- a bobina L4 deve ser ligada ao outro filete que interliga os jacks;
- o ponto B para conexão de um jump ao capacitor C24 estava em posição errada.

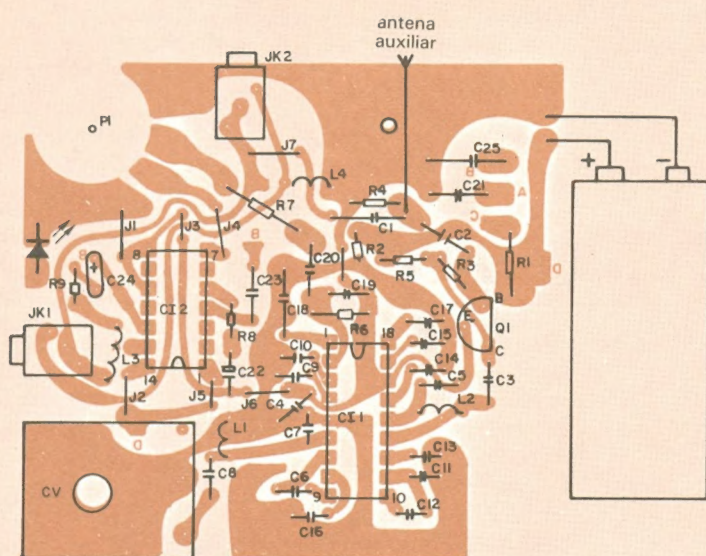
Houve também leitores com dúvidas sobre o capacitor variável empregado no WALK-FM. Bem, em primeiro lugar, ele foi pedido com duas seções, ao invés de uma, porque é assim que tais componentes são normalmente fabricados; em nosso caso, uma das seções permanece desativada. Em segundo lugar, é fácil identificar a pinagem do capacitor; normalmente, os pinos das extremidades são os dois terminais fixos e o central vai ligado ao cursor.

Agradecemos ao Wilson e ao Luis, que ajudaram a nos alertar para esses problemas. Aos demais montadores, nossas desculpas.

Sobre o inventor dos ionofones

Li com prazer e interesse, no nº 90, o excelente artigo de Walter Ullmann sobre o alto-falante iônico, invenção de Siegfried Klein (e não Sigmund), que tive a oportunidade de conhecer pessoalmente no início da década de 60. Ele trabalhava, na época no Centre d'Études Nucléaires de Saclay, do Commissariat à l'Énergie Atomique, juntamente com o Prof. Jean Debiesse (diretor), o Dr. Maurice Surdin (chefe do Département d'Électronique) e o Dr. Jacques Labeyrie (chefe do Service d'Électronique Physique).

Siegfried Klein tinha seu laboratório num pequeno prédio, situado entre o prédio da direção e os prédios em "H" das Constructions Électriques. As pesquisas sobre os meios ionizados levaram-no a descobrir e verificar certos aspectos sobre a possibilidade de converter diretamente a energia das radiações ionizantes e a energia térmica dos



**NESTOR, A BASE DE TODOS
OS COMPUTADORES — 3º SUPLEMENTO**

Um “pacote” para gravação de EPROMs — I

Em duas partes, um dos mais pedidos “periféricos” do Nestor: um gravador de memórias EPROM, com uma placa compacta, e um programa que completa o espaço na memória do micro



Não poderíamos dar por encerrada a série do Nestor sem esta montagem, que possibilitará a gravação de memórias tipo 2716 e 2732; acoplada ao micro, dará ao experimentador um pequeno sistema de desenvolvimento de baixo custo. De fato, a EPROM é a memória só de leitura mais utilizada atualmente; um dispositivo que permita gravá-la é de grande importância para quem trabalha em desenvolvimento, pois dá a possibilidade de armazenar rapidamente os programas mais extensos.

O gravador aqui sugerido poderá, em princípio, ser conectado a qualquer microprocessador de 8 bits e mesmo a computadores pessoais, dada a simplicidade do hardware adotado. As eventuais alterações no software poderão ser feitas facilmente por aqueles que possuem algum conhecimento nessa área. No próximo número publicaremos o software específico para o Nestor, mas todo comentado, de modo que possa ser adaptado a outros micros.

As funções, falando sucintamente, são as seguintes: cópia de EPROM em uma área de RAM, gravação de memó-

rias 2716 ou 2732 com o conteúdo da RAM, verificação de EPROM limpa e verificação de gravação byte a byte, com todas as mensagens mostradas no display (cuja operação será vista na 2ª parte desta matéria).

Um pouco sobre EPROMs — Como o próprio nome diz, essas memórias são tipos especiais de ROM, cujo conteúdo é preservado por longos períodos de tempo e que podem ser apagadas e reprogramadas quando necessário. O apagamento é feito expondo-se a pastilha, através de uma pequena janela de quartzo transparente, à luz ultravioleta.

A memória EPROM mais utilizada é a do tipo carga armazenada, que utiliza transistores FAMOS (dispositivos MOS de porta flutuante e operação por avalanche); aplicando-se uma tensão de + 25 V a qualquer célula da memória, a informação é armazenada. A carga elétrica recebida permanece durante anos e só pode ser drenada através de luz ultravioleta.

As pinagens da 2716 e da 2732 — que são as EPROMs mais usadas — aparecem na figura 1. Percebe-se por

aí a quase total compatibilidade entre ambas, com exceção dos pinos 20 e 21, que serão discutidos mais adiante. As duas memórias exigem alimentação simples de + 5 V e dispõem do modo estático de operação (*stand-by*). Ao contrário do que muitos pensam, o controle de programação dessas EPROMs é feito por sinais TTL, como veremos a seguir.

Um pouco sobre o 8255 — Existe uma interface periférica programável, projetada pela Intel e muito usada em sistemas de microprocessadores: é a 8255. Possui 24 pinos de E/S que podem ser programados de diversas formas, dependendo do modo de programação utilizado. No primeiro modo (chamado de “modo 0”), os pinos de entrada/saída podem ser programados em 4 grupos de portais como entrada ou saída (2 de 8 bits e 2 de 4), podendo chegar a 16 configurações diferentes.

No modo 1, os portais A e B são usados como linhas de E/S e o portal C, como entrada de controle, indicação de *status* e controle dos sinais de interrupção. No último modo (o “modo 2”), permite comunicação com periféricos ou dispositivos com barramento de 8 bits, para transmissão e recepção de dados (bidirecional) — usando apenas o portal A nessa função e o C para controle de *status*, com 5 bits.

Como pode-se perceber, temos aí uma interface programável bastante poderosa, embora a utilizemos apenas no modo 0. Se você já está se perguntando o porquê da adoção desse CI num gravador de EPROM, a resposta é uma só: simplificação do hardware. Em primeiro lugar, o circuito é composto, praticamente, apenas pelo próprio 8255, facilitando bastante a montagem — seja em circuito impresso ou qualquer outra base. Em segundo lugar, o circuito torna-se mais confiável. Na figura 2 aparecem pinagem e diagrama de blocos interno do 8255.

O circuito do gravador — O circuito completo do gravador de EPROM está representado na figura 3, onde temos o 8255 ligado ao soquete da memória da seguinte forma: portal A nas linhas de endereço, portal B na parte inferior de endereço e portal C com três linhas para endereço e duas para a lógica de gravação/leitura (PC4 e PC5).

O endereçamento do 8255 não é totalmente decodificado, pois sua seleção (CS) está diretamente ligada em

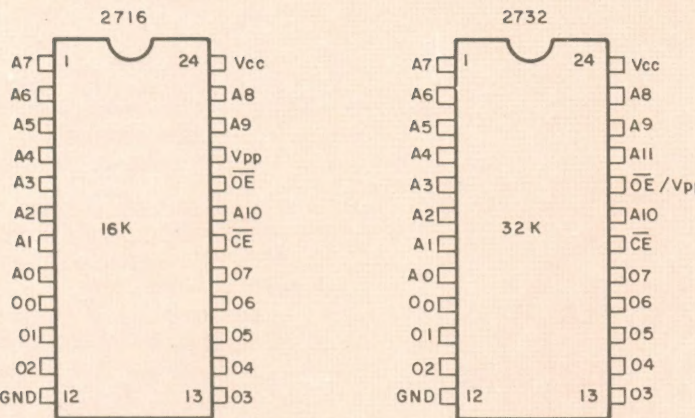


Fig. 1

Modos de operação das EPROMs

2716

Tabela 1

pino modo	$\overline{CE}/\overline{PGM}$ (18)	\overline{OE} (20)	V_{pp} (21)	saídas (9/11, 13/17)
leitura stand-by programa verif. inib. programa	V_{il} V_{ih}	V_{il} X V_{ih} V_{il}	$+5$ $+5$ $+25$ $+25$	V_{out} alto Z D_{in} D_{out}
	V_{il}	V_{ih}	$+25$	alto Z

pino modo	$\overline{CE}/\overline{PGM}$ (18)	\overline{OE}/V_{pp} (20)	saídas (9/11, 13/17)
leitura stand-by programa verif. inib. programa	V_{il} V_{ih} V_{ih} p/ V_{il} V_{il}	V_{il} X $+25$ V_{il}	D_{out} alto Z D_{in} D_{out}
	V_{ih}	$+25$	alto Z

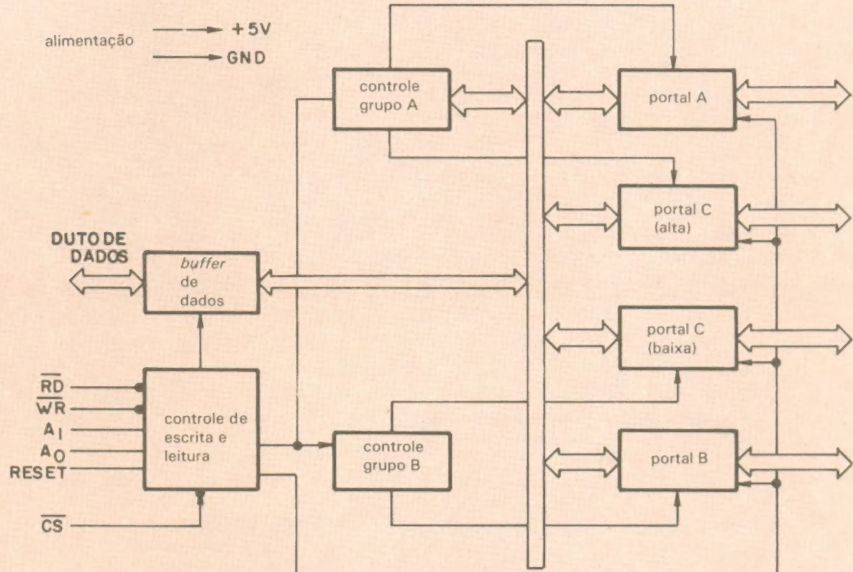
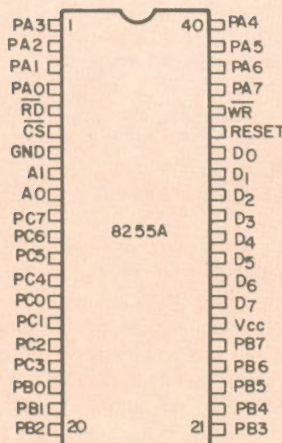


Fig. 2

A7. As linhas de seleção de portais/controle (A0 e A1 do 8255) deverão estar acopladas a A4 a A5 do Nestor, ficando assim os endereços dos portais:

Portal A — 80H
Portal B — 90H
Portal C — A0H
Controle — B0H

Para gerar o pulso de + 25 V usamos um 7406, que é um *buffer* com saída em coletor aberto, e dois transistores na configuração seguidor de emissor (Q1 e Q2), de forma a suprir os requisitos de *hardware* para a gravação. Esses regra as duas memórias, sob a forma de todos os estados possíveis de operação.

No emissor de Q1 a tensão assumi-

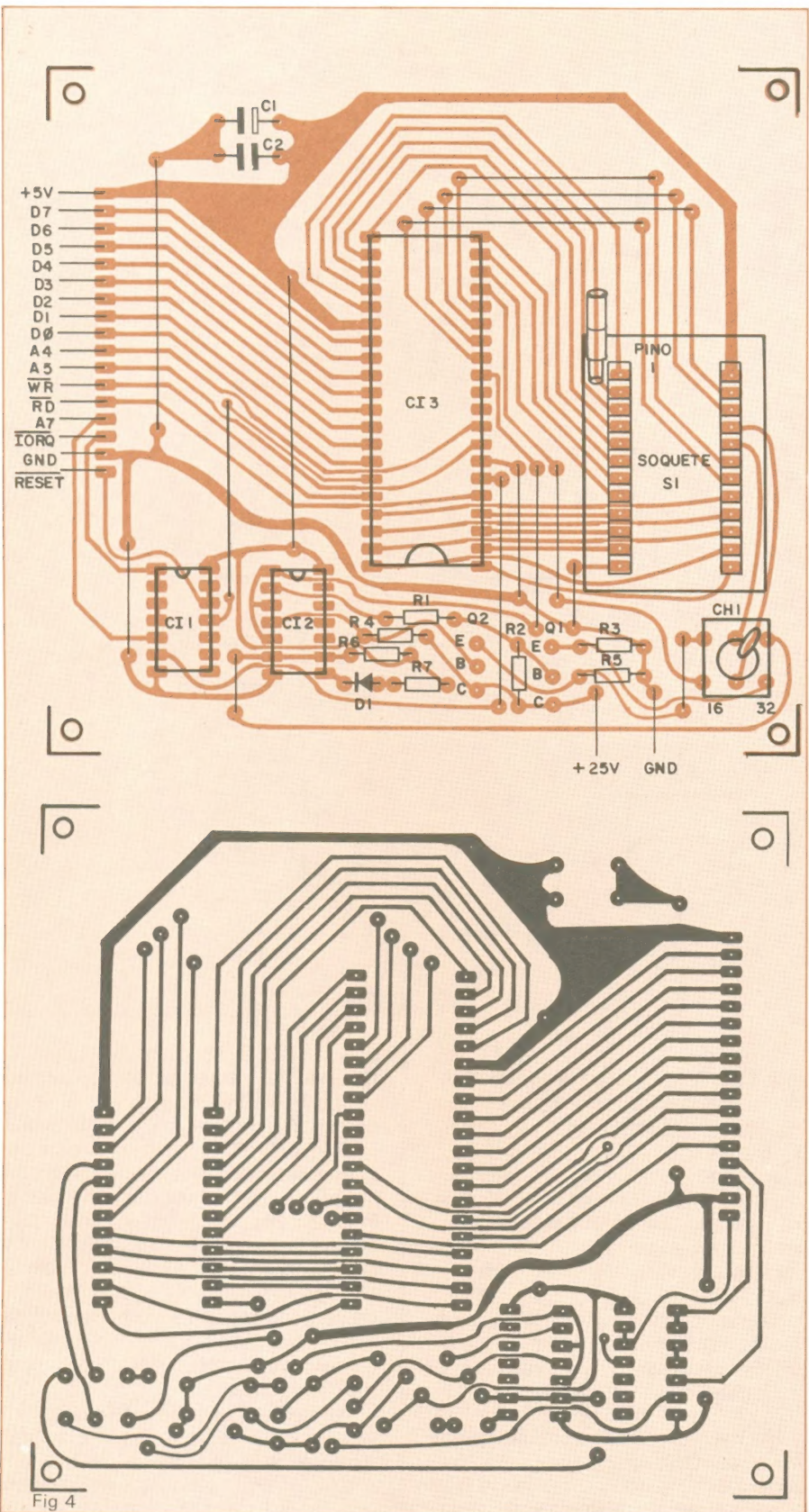
rá o valor de V_{pp} (+ 25 V) ou V_{cc} (+ 5 V, para a 2716), devido ao divisor de tensão colocado em sua base. Q2, por sua vez, deverá produzir o nível lógico 0 ou V_{pp} (para a 2732). Com essa configuração, o bit PC5 selecionará o modo (gravação ou leitura), com os níveis lógicos 0 e 1, respectivamente. A programação será controlada pelo bit PC4 — ativo em 1 para gravar a 2716 e ativo em 0 para a 2732.

Note ainda que existe uma chave para selecionar, por *hardware*, o tipo de EPROM que se vai gravar, prevendo essas diferenças.

Montagem — Todo o circuito do gravador, com exceção da fonte de 25 V, poderá ser alojado na placa de face simples sugerida na figura 4, em tama-

nho natural. É recomendável que C11, C12 e C13 tenham soquetes; quanto ao soquete da EPROM a gravar, seria recomendável empregar o tipo "força nula de inserção" — aquele com uma pequena alavanca, que exige pouco ou nenhum esforço para inserir e retirar o integrado. Apesar de estar com um preço quase que proibitivo, sua utilização deverá ser vantajosa em certas aplicações profissionais. Caso contrário, pode-se usar soquetes comuns de boa qualidade, desde que sejam tomados os cuidados necessários ao colocar e tirar as memórias.

A chave dupla inversora também deve ser montada na placa, para facilitar a operação do gravador. Quanto à fonte de 25 V, pode ser qualquer uma, pois a potência envolvida é baixa. Sugeri-



mos na figura 5 um projeto simples e de baixo custo, que pode ser usado na alimentação do gravador.

Considerações, testes e conexão —
É sempre bom lembrar que o projeto básico do Nestor dispõe de apenas 1 kbyte de RAM — insuficiente, é claro, para cópias diretas de EPROMs cujo conteúdo ultrapasse o quilobyte. Existem duas alternativas para se contornar o problema: gravar o programa em partes, já que o sistema permite (como veremos no próximo número), ou então aumentar a capacidade de memória — o que é muito simples, pois o projeto original prevê sinais demultiplexados para a seleção direta de mais 5 kbytes de RAM, utilizando-se a configuração da figura 6.

Deve-se, como sempre, conferir toda a placa, procurando eventuais curtos ou filetes abertos, antes de colocar os integrados. Assegurado de que tudo está em ordem, pode-se então ligar o gravador ao Nestor ou a qualquer outro micro, verificando se o circuito não vai sobrecarregar a fonte interna do computador — pois a drenagem de corrente, da fonte de 5 V, será de aproximadamente 200 mA (só o 8255 dissipará cerca de 1 W).

Lembre-se de que esse detalhe já havia sido citado em outra matéria sobre o Nestor, onde recomendávamos que a fonte fosse superdimensionada, devido à previsão de interfaces futuras. Por fim, outro fator que nos levou a utilizar o 8255, ao invés de biestáveis comuns (mais baratos), foi o perigo de sobrecarregar as linhas de dados do Z-80.

Na próxima edição apresentaremos todo o programa de gravação — que deverá ocupar todo o restante da EPROM do Nestor — além da operação do gravador e vários testes. Até lá.

Relação de componentes

- R1- 820 Ω - 1/4 W
- R2,R4,R6- 4,7 k Ω - 1/4 W
- R3,R5- 1 k Ω - 1/4 W
- R7- 470 Ω - 1/4 W
- C1- 10 μ F/25 V (tântalo)
- C2- 0,1 μ F (cerâmico)
- Q1,Q2- BC237 ou equivalentes
- D1- LED comum
- CI1- 74LS00
- CI2- 7406
- CI3- 8255
- CH1- chave dupla inversora
- S1- soquete tipo "força nula de inserção" (Textool ou equivalente)

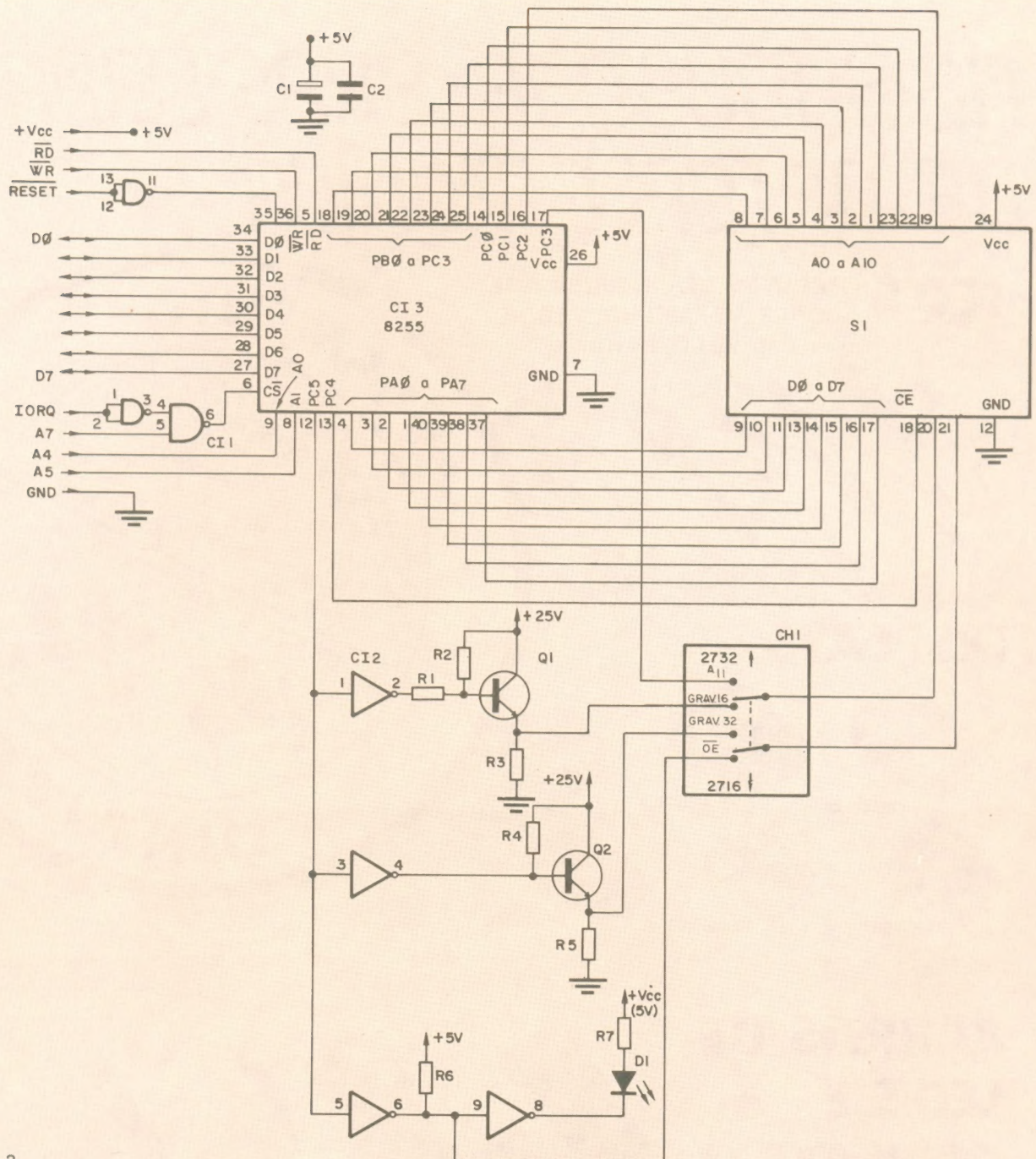


Fig 3

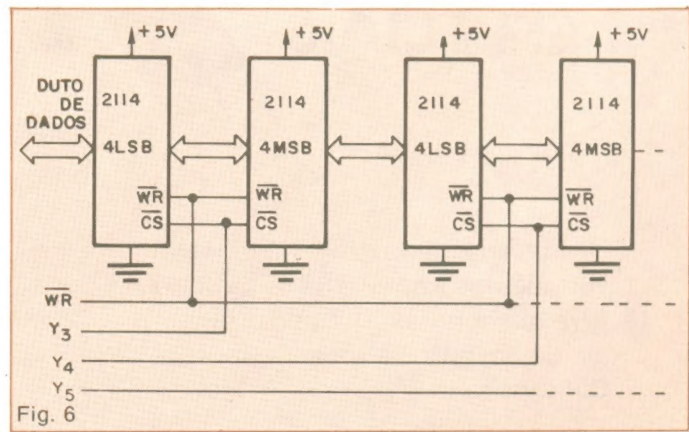
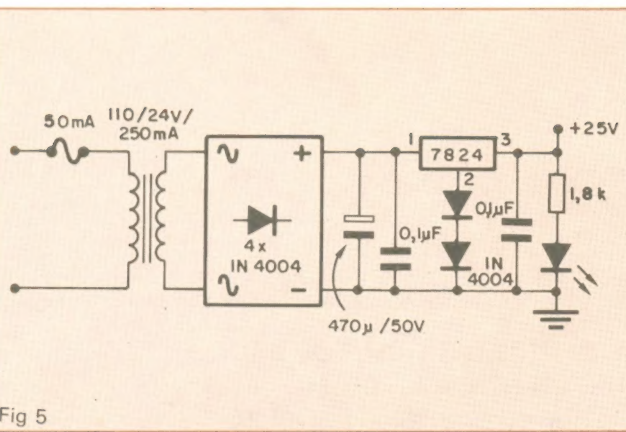


Fig. 6

Divida seu som em dois canais



Uma solução econômica e semiprofissional para seu equipamento de áudio: amplifica separadamente graves, médios e agudos logo depois do pré

Nos atuais sistemas de alta fidelidade não são mais encontrados, praticamente, os conhecidos alto-falantes de faixa ampla (ou *full range*), devido à impossibilidade de reproduzir, com eles, toda a gama de áudio. Em seu lugar são utilizados falantes específicos para cada faixa do espectro. Estes, por sua vez, exigem filtros que selecionem as freqüências com que vão trabalhar — é comum o uso de filtros LC passivos para essa finalidade.

Esse tipo de filtro, porém, apresenta um inconveniente que não pode ser eliminado pela caixa acústica e muito menos pelo amplificador: ele não compensa as relações de potência para cada freqüência, a nível de sensação sonora (NSS). O NSS é uma grandeza subjetiva, que avalia a intensidade com que um indivíduo de sensibilidade normal capta uma determinada freqüência, em relação às demais. Com base em pesquisas, observou-se que o NSS não é o mesmo para duas freqüências diferentes reproduzidas com a mesma potência.

O que ocorre, na prática, é a relação entre o nível de intensidade sonora e o conteúdo energético da onda. Desse modo, dois sons de freqüências distintas, mas com o mesmo conteúdo energético, são percebidos subjetivamente pelo ouvido humano com "volumes" diferentes; inversamente, sons de freqüências diferentes, para serem perce-

bidos com o mesmo "volume", devem exibir conteúdos energéticos diferentes. Tudo isso é resultado de uma característica fisiológica do ouvido.

Imaginemos, então, um amplificador que forneça 10 W RMS a uma caixa acústica equipada com um divisor passivo. Ao injetarmos na entrada desse amplificador um sinal composto por três freqüências diferentes — 300 Hz, 3 kHz e 10 kHz — não iremos ouvir as três com a mesma intensidade, já que a mais baixa exigiria maior amplificação para poder se igualar, em NSS, à mais alta. O filtro passivo não irá permitir um ajuste individual nas potências que cada falante vai reproduzir, aplicando indistintamente a mesma freqüência em todos eles. Por outro lado, as dificuldades de se reproduzir as baixas freqüências geram maiores discrepâncias, que esse tipo de filtro também não tem condições de solucionar.

Dividindo eletronicamente — Neste artigo será abordada a confecção de um filtro ou divisor eletrônico de dois canais, visando resolver esses problemas e equilibrar melhor a reprodução das freqüências de áudio. Esse filtro ativo altera completamente o conceito de divisão de freqüências, pois desloca essa operação da saída do amplificador de potência para um estágio intermediário entre este e o pré-amplificador; além disso, são necessários tantos amplificadores de potência quan-

tos forem os canais do divisor.

Como o divisor aqui sugerido tem dois canais, economiza-se um amplificador de potência (os modelos profissionais costumam ter três canais), além de simplificar o circuito. Um dos canais é exclusivo para as baixas freqüências, enquanto o outro conjuga as médias e altas freqüências. A qualidade final do som não fica comprometida com essa solução, pois o fator NSS não é muito crítico entre os sons médios e altos — o importante é que os graves tenham um canal próprio.

Obtivemos, assim, um circuito que proporciona melhor reprodução de áudio, ao nível de sistemas profissionais, a um custo muito inferior — pois exige apenas o circuito do divisor e um amplificador de potência adicional. Caso o montador queira separar os médios dos agudos, pode ser feito na própria caixa acústica, com um pequeno divisor passivo.

O circuito eletrônico — Observemos que o circuito da figura 1 foi elaborado a partir do integrado TBA 231, constituído por dois amplificadores operacionais independentes. Há na figura o circuito para apenas um canal; isto quer dizer que para um sistema estéreo serão necessárias duas unidades idênticas.

Temos, primeiramente, um filtro passa-altas formado por C1, C2, R1 e R2 (elementos de entrada de 1/2 CI1A) e um passa-baixas definido por C6, C8, R4 e R5 (elementos de entrada de 1/2 CI1B). Observe que a diferença entre estes dois filtros está na disposição dos componentes de entrada. Podemos, desse modo, analisar o funcionamento dos mesmos através da figura 2, que apresenta os circuitos básicos.

Na figura 2A temos um capacitor equivalente à ligação em série dos capacitores C1 e C2, que forma um filtro passa-altas com freqüência de corte igual a:

$$f = \frac{1}{2\pi R_2 C_E}$$

Na figura 1 a função do resistor R1 é evitar os picos de tensão aplicados no resistor R2, quando a freqüência de entrada é menor que a de corte do filtro. Esses picos ocasionariam uma resposta do operacional, uma vez que, nesses momentos, ele estaria agindo como um amplificador diferencial. Analogamente, teremos o inverso dessa

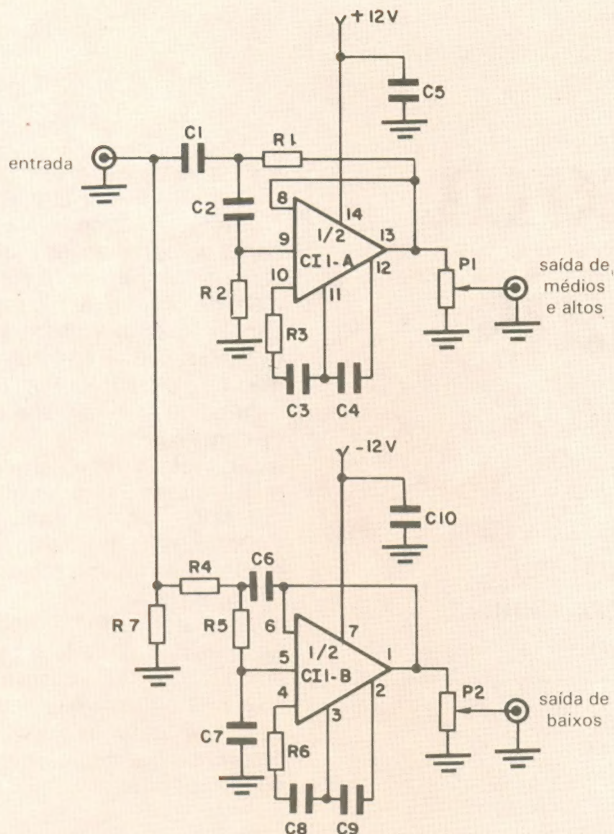


Fig 1

situação na figura 2B, ou seja, um filtro passa-baixas.

Vale ainda registrar que os componentes R3, C3, C4, R6, C8 e C9 estabilizam as correntes quiescentes internas, para possibilitar o funcionamento dos operacionais A e B do TBA 231, enquanto que C5 e C10 protegem o sinal de saída contra eventuais ruídos espúrios (eles devem ser ligados o mais próximo possível dos pinos do CI). Já os potenciômetros P1 e P2 ajustam o nível do sinal para o amplificador de potência, e o resistor R7 coloca no sinal de entrada uma referência para o terra, fixando a impedância de entrada em torno dos 150 kΩ.

Os elementos de entrada dos filtros também poderão ser modificados para alterar as freqüências de corte dos filtros. No entanto, deve-se ter em conta que os pontos de corte devem ser iguais para que se tenha na saída toda a banda de áudio. Na Tabela 1 representamos alguns valores que o montador poderá experimentar, juntamente com a freqüência de corte do filtro. Por exemplo, se quisermos a reprodução do sinal de entrada com um ponto de corte em 1 600 Hz, os valores dos componentes de entrada deveriam ser C1 = 8,2 nF e C2, C6 e C7 = 4,7 nF. Assim, teremos na saída de médios-altos somente freqüências superiores ou iguais a 1 600 Hz, enquanto na saída de

baixos teremos somente freqüências abaixo de 1 600 Hz.

O filtro eletrônico vai necessitar de uma fonte simétrica de $\pm 12 V_{cc}$ filtrada e estabilizada, cujo diagrama está na figura 3. Analisando rapidamente o funcionamento dessa fonte, vemos que CH1 desliga ou liga a rede elétrica no primário de TR1. A saída deverá ter $12 + 12 V_{ca}$, com derivação central. Essa tensão alternada, ao ser retificada, carrega nos ciclos positivos o capacitor C1, e nos negativos o capacitor C2; desta forma obtém-se nestes capacitores uma tensão simétrica equivalente a $\pm 16 V_{cc}$ em relação à derivação central do transformador. O estágio a seguir, composto pelos transistores Q1 e Q2, corresponde a um circuito regulador em série clássico, com diodo zener, que fixa o potencial simétrico de $\pm 12 V_{cc}$ em relação à terra.

Montagem — Observe na figura 4 a chapa do circuito impresso, em tamanho natural, que deverá ser confeccionada, bem como a distribuição dos componentes. Temos, na face dos componentes, um índice E ou D em todos os componentes, visto que a placa foi confeccionada para dois circuitos iguais ao da figura 1. Por se tratar de uma versão em estéreo, os índices indicam os componentes dos filtros esquerdo e direito. É importante notar que a placa foi elaborada para receber também a fonte de alimentação.

Devido à sua simplicidade, esta montagem dispensa maiores comentários e, igualmente, não exige grande experiência do montador. É bom salientar, no entanto, que o layout deverá ser desenhado de acordo com a figura 4, com o ponto de massa circundando o circuito, já que este processo evita perturbações causadas por ruídos eventuais.

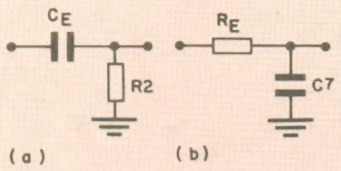
Instalação — Uma vez efetuada a montagem do circuito, ele deverá funcionar de imediato, não exigindo nenhum ajuste por parte do montador. Caso contrário, aconselha-se procurar erros que possam ter ocorrido durante o processo de montagem.

Quando da instalação do módulo divisor de freqüência, podemos nos orientar pela figura 5, que contém um exemplo de esquema de ligação. Observe que precisaremos dispor de dois amplificadores estéreo, com saídas apropriadas, que permitam a retirada do sinal oriundo do pré-amplificador, bem como de entradas que nos possibilitem acionar diretamente as unidades de potência. Essas entradas e saídas são comumente encontradas nos amplificadores estéreo de alta fidelidade; junto a elas há também uma chave seletora com duas posições: *Direta* — na qual

Comunique-se
com
um mercado
de
300.000
leitores!

Anuncie
em
Nova Eletrônica

532.1655



$$C_E = \frac{C_1 \cdot C_2}{C_1 + C_2}$$

$$R_E = R_4 + R_5$$

Fig 2

Valores de capacitores segundo a freqüência de corte

Tabela 1

C(nF)	400	800	1600	3200
C1	33	15	8,2	3,9
C2	22	10	4,7	2,7
C6	22	10	4,7	2,7
C7	22	10	4,7	2,7

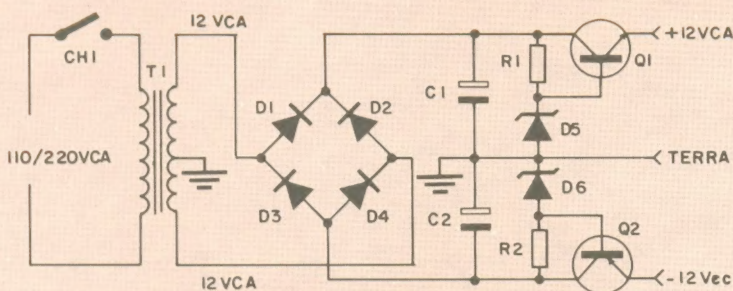


Fig. 3

OS CURSOS DA APPROACH

1	CP/M		Básico	Você vai se familiarizar com microcomputadores. Vai conhecer os componentes do hardware e software, como funcionam e através de exercícios práticos vai ter condições de deixar o micro pronto para trabalhar. A informática vai deixar de ser um segredo para você.	4 horas	06 Ortn
2	Calcstar		Completo	Este é o curso ideal para profissionais que manipulam dados e dependem de análises complexas para a tomada de decisão. Você vai conhecer a "folha eletrônica de cálculos". Vai aprender a fazer projeções, simulações, orçamentos, controle de custos e inúmeras outras aplicações. O Calcstar é uma das maneiras mais práticas de aprender a usar o microcomputador.	12 horas	18 Ortn
3	Wordstar		Básico	Aqui você entra no mundo do processamento eletrônico de palavras. Wordstar é tão simples que você pode produzir memorandos e cartas imediatamente, com uma eficiência admirável. Indicado para advogados, secretárias, enfim, toda pessoa que utiliza muita datilografia e textos. Wordstar é a forma mais fácil de se escrever.	12 horas	20 Ortn
4	Infostar		Completo	Neste curso você vai obter uma poderosa ferramenta para racionalizar e gerenciar informações. Informação é matéria prima para tomada de decisão. Este avançado sistema de gerenciamento de banco de dados foi desenvolvido para não programadores. Através do Infostar você vai aumentar sua produtividade.	24 horas	50 Ortn
5	d Base II		Básico	Você vai conhecer uma avançada linguagem de quarta geração. Você vai poder trabalhar em cima de um problema conhecido, programa o d Base II e obter os resultados desejados de uma maneira clara e precisa. Não requer nenhum conhecimento prévio, d Base II é o passo principal para uma programação avançada.	15 horas	30 Ortn
6	Wordstar		Avançado	Neste curso você vai aprender todos os comandos avançados do Wordstar, sua ligação com outros software, como por exemplo mailmerge para emissão de malas diretas, ligado a um Banco de Dados (Infostar) o d Base III. Você vai ter condições de construir as bases para o escritório do futuro. E a informação através de software interligados.	12 horas	30 Ortn
7	d Base II		Avançado	Aqui você entra fundo em programação avançada. Você vai adquirir poder para solucionar problemas, dominar uma linguagem para programar, por exemplo, contabilidade, faturamento, controle de estoque, planejamento e controle da produção e muito mais ainda. Nossa d Base II avançado, é poder em suas mãos.	20 horas	40 Ortn
8	Integração		1 + 2 + 3 + 4 + 7	Este curso foi desenvolvido especialmente para ampliar a visão das pessoas no uso da informática no dia a dia. Aqui você vai fazer os softwares se comunicarem. Vai conhecer suas portas de entrada e saídas. Entrar em contato com as infinitas aplicações no trabalho em casa ou no lazer.	4 horas	06 Ortn

o pré-amplificador está conectado internamente com o amplificador de potência; e Externa — na qual o amplificador de potência está desconectado do pré-amplificador.

Assim, para o perfeito funcionamento do sistema basta verificar que:

- 1- As chaves seletoras (Direta/Externa) dos dois amplificadores estejam comutadas no modo Externo;
- 2- Em um dos amplificadores (no nosso exemplo, o amplificador A) estejam conectadas normalmente as fontes de sinal (toca-discos, gravador etc.);
- 3- A saída do pré-amplificador A esteja ligada às entradas ED (entrada da direita) e EE (entrada da esquerda) do filtro eletrônico;
- 4- A saída SMAE (saída de médios-altos esquerda) esteja conectada à entrada esquerda do amplificador de potência A;
- 5- A saída SBE (baixos esquerda) esteja conectada à entrada direita do amplificador de potência do amplificador A;
- 6- A saída SMAD (médios-altos direita) esteja conectada à entrada esquerda do amplificador de potência do amplificador B;
- 7- A saída SBD (baixos direita) esteja conectada à entrada direita do amplificador de potência do amplificador B.

O pré do amplificador B não é utilizado. Nas saídas esquerdas dos dois amplificadores (A e B) são ligados os alto-falantes de médios e de agudos. Observe que o desenho ilustra dois capacitores ligados em série ao tweeter; a função deles é justamente deixar passar as freqüências elevadas. O valor desses capacitores deverá ser de 4,7 μ F (eletrolíticos) para uma tensão de isolação de 63 volts e sua ligação será conforme o desenho, ou seja, em uma associação antiparalelo. Se você estiver utilizando caixas acústicas que já possuam divisores passivos de 3 canais, bastará que seja ligada a saída dos graves diretamente ao woofer (desligando o mesmo do divisor da caixa acústica), ao mesmo tempo em que se conecta a saída de médios-altos na entrada do divisor da respectiva caixa.●

Relação de componentes

DIVISOR

$R1, R4$ - 22 k Ω
 $R2$ - 33 k Ω
 $R3, R6$ - 100 Ω
 $R5$ - 8,2 k Ω
 $R7$ - 150 k Ω
(todos de 1/8 W)
 $C1, C2, C6, C7$ - veja Tabela 1
 $C3, C8$ - 4,7 nF (cerâmicos)
 $C4, C9$ - 470 pF (cerâmicos)
 $C5, C10$ - 47 nF (poliéster metalizado)
 $P1, P2$ - potenciômetros
logarítmicos 10 k Ω
 Cl - TBA 231

FONTE

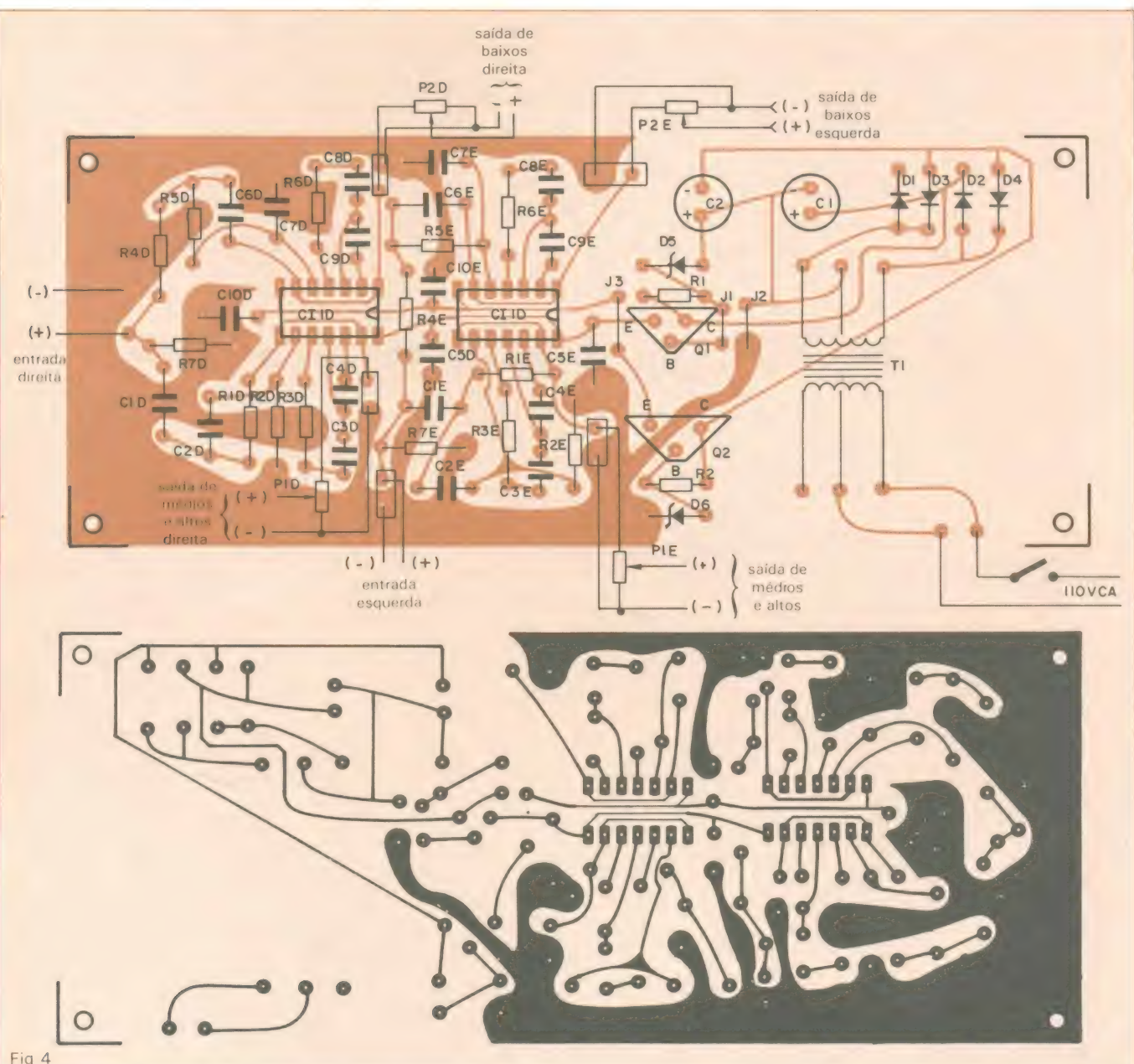
$R1, R2$ - 470 Ω - 1/8 W, 5%

$C1, C2$ - 470 μ F/25 V

$D1$ a $D4$ - 1N4002 ou equivalentes
 $D5, D6$ - zener p/ 13 V/400 mW
 $Q1$ - BC238
 $Q2$ - BC237
 $T1$ - transformador 110/220 V -
12 + 12 V - 350 mA
 $CH1$ - chave liga-desliga

DIVERSOS

Placas de circuito
impresso
Cabos blindados
Jaques e plugues
Fios de conexão



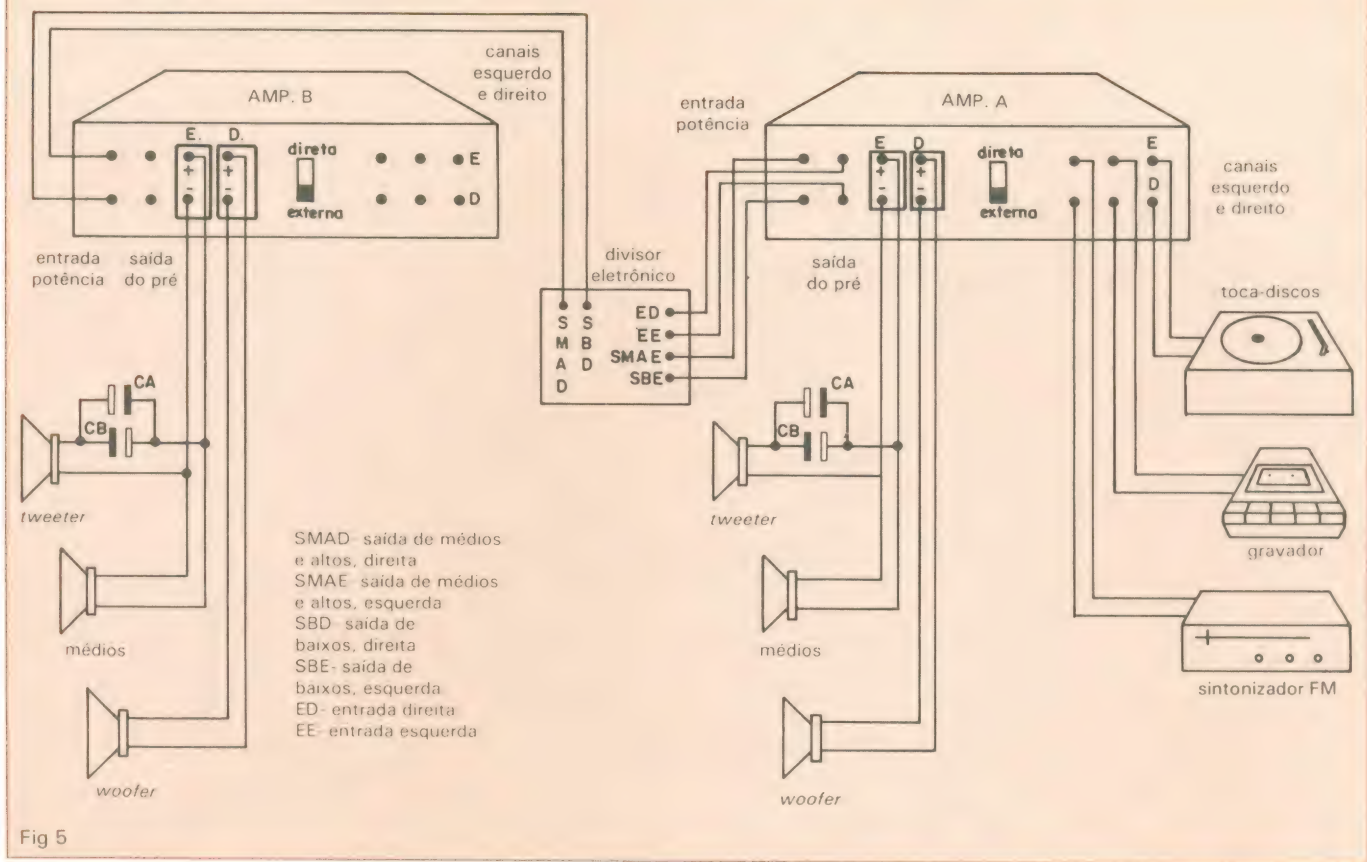


Fig 5



ALADIM

formação e aperfeiçoamento profissional
cursos por correspondência:

- TÉCNICAS DE ELETRÔNICA DIGITAL
- TV A CORES
- ELETRÔNICA INDUSTRIAL

- TV PRETO E BRANCO
- TÉCNICO EM MANUTENÇÃO DE ELETRO-DOMÉSTICOS

OFERECEMOS A NOSSOS ALUNOS:

- 1) – A segurança, a experiência e a idoneidade de uma Escola que em 23 anos já formou milhares de técnicos nos mais diversos campos de Eletrônica;
- 2) – Orientação técnica, ensino objetivo, cursos rápidos e accessíveis;
- 3) – Certificado de conclusão que, por ser expedido pelo Curso Aladim, é não só motivo de orgulho para você, como também é a maior prova de seu esforço, de seu merecimento e de sua capacidade.



**TUDO
A SEU FAVOR!**

Seja qual for a sua idade
seja qual for o seu nível cultural
o Curso Aladim fará de você
um técnico!

Remeta este cupom para: CURSO ALADIM
R. Florêncio de Abreu, 145 – CEP 01029 – São Paulo – SP
solicitando informações sobre o(s) curso(s) abaixo indicado(s):

- Eletrônica Industrial TV Preto e Branco
 Técnicas de Eletrônica Digital Técnico em Manutenção de Eletro-domésticos
 T V C

Nome Endereço Cidade CEP Estado NE-93

Em Vênus, indícios de atividades vulcânicas

A nave espacial *Pioneer*, da NASA, com o auxílio de um espectrômetro ultravioleta — projetado e construído pelo Laboratório de Física Espacial e Atmosférica da Universidade de Colorado — detectou grandes quantidades de dióxido de enxofre e névoa de ácido sulfúrico nas camadas superiores das nuvens da atmosfera venusiana, indicando intensa atividade vulcânica na superfície do planeta.

Além disso, há a hipótese de que as erupções de Vênus sejam responsáveis pela origem das cadeias montanhosas de Beta Regio e Atla Regio, localizadas na cauda de Escorpião e Terra de Afrodite. Apontam neste rumo uma análise dos dados transmitidos pela sonda *Pioneer*, segundo a qual essas cadeias possuem tamanho e forma adequados para vulcões, além de serem formadas por um novo tipo de rocha, recentemente expelida do interior de Vênus. Também neste sentido, inclui-se a opinião do Dr. Harold Masursky da U. S. Geological Survey Flagstaff, Arizona, para quem Beta e Atla constituem os locais vulcânicos mais recentes de Vênus, baseando-se em análise da topografia, dados sensíveis à gravidade e imagens altimétricas de radar.

Atmosfera — Outras importantes descobertas relacionadas com a atividade vulcânica em Vênus foram realizadas, recentemente, pelo Dr. Larry Esposito da Universidade de Colorado. Suas conclusões baseiam-se particularmente em dados obtidos por quatro espaçonaves da sonda *Pioneer*, que têm medido a atmosfera de Vênus em toda a sua extensão.

Segundo as pesquisas, a cadeia de montanhas Beta Regio contém dois enormes vulcões, com quase 2 400 quilômetros de comprimento — maior, portanto, do que a cadeia das ilhas do Havaí. Aparentemente, esta região vulcânica é a mais ativa do planeta. Imagens da *Pioneer* e do radar situado em terra mostraram raios brilhantes de radiação sobre Beta, o que indica fluxos de lava muito recentes. As medições feitas por uma espaçonave soviética também confirmam isso.

Os cientistas supõem que Beta este-

ja situada sobre uma poderosa “pluma” ascendente de convecção, aprofundada no magma interior de Vênus. Grandiosos em suas dimensões, Masursky acredita que os vulcões de Beta possam sobrepujar em volume todos os outros vulcões do sistema solar, incluindo até mesmo o Olympus Mons de Marte, atualmente o maior vulcão do sistema solar.

Maxwell Montes, o ponto mais alto encontrado em Vênus, é também um vulcão gigantesco, localizado num maciço de montanhas maior do que o Evereste. Contudo, ele não mostra sinais de atividade recente como é o caso dos vulcões de Beta e Atla.

Os gigantescos vulcões de Vênus parecem estar relacionados com o equilíbrio térmico do planeta. Embora pareça ter as mesmas fontes internas de calor que a Terra, Vênus tem o seu escoamento de calor a partir de muitos pontos, especialmente das fendas localizadas em seu oceano, que se expandem regularmente. Os cientistas acreditam que Vênus, ao contrário da Terra, não possui placas tectônicas móveis. Não dispõe, portanto, de pontos de fendas no meio do oceano onde a crosta é forçada a separar-se, permitindo que o magma líquido flua quase ininterruptamente.

Escapes de calor — Os derramamentos vulcânicos violentos de Beta e Atla são considerados a mais nova forma de escape de calor do planeta. Acredita-se que as “plumas” aparentes ou “manchas quentes” do magma interno de Vênus forjaram o seu caminho através da crosta grossa e rígida do planeta, escoando o seu calor interno e criando vulcões gigantescos. As ilhas do Havaí, aliás, foram formadas por um processo muito semelhante.

As novas descobertas sobre Vênus são muito interessantes, já que suas características físicas são quase idênticas às da Terra. Vênus foi batizado de “irmão gêmeo da Terra”, devido à similaridade em termos de tamanho, massa, gravidade e distância do Sol. Vale dizer que dados recolhidos de um planeta tão semelhante ao nosso têm grande importância para a compreensão da

geologia e da evolução da Terra.

Esposito acredita que tenha ocorrido, durante um certo período do ano de 1978, uma grande erupção vulcânica em Vênus, considerando-se as quantidades absurdamente altas de dióxido de enxofre identificadas na atmosfera do planeta naquela época. A erupção atirou quantidades expressivas de dióxido de enxofre, além de pequenas partículas de “névoa” na atmosfera venusiana, pouco tempo antes que a *Pioneer* começasse as suas explorações. O dióxido de enxofre no gás transformou-se, rapidamente, em pequenas partículas vaporizadas de ácido sulfúrico semelhante à chuva ácida sobre a Terra. A *Pioneer* vem registrando desde então uma queda lenta dos efeitos vulcânicos secundários.

O aumento inusitado de dióxido de enxofre foi também observado por investigadores independentes em 1978. Da mesma forma, observações mais antigas, realizadas nos anos 50, detectaram um aumento similar de dióxido de enxofre naquele planeta.

Na opinião de Esposito, o vulcão seria capaz de atirar enxofre a uma altura de até 70 km através da atmosfera superdense de Vênus. Ele calculou a erupção como tendo no mínimo 10 vezes mais energia do que quaisquer vulcões da Terra nos últimos 100 anos. Maior, inclusive, do que certas explosões históricas, como a famosa erupção do Krakatoa, em 1883.

Os níveis de dióxido de carbono constatados após a recente erupção do vulcão mexicano El Chichón, atingiram apenas 10% dos níveis que, em 1978, foram detectados na atmosfera de Vênus.

Antes de 1978, o limite superior de dióxido de enxofre na atmosfera venusiana era próximo de duas partes por bilhão. Isto ocorreu de forma breve após o orbital ter começado a girar em torno do planeta e, desde então, vem diminuindo gradualmente.

Alguns cientistas mantêm-se reservados, citando certos mecanismos alternativos possíveis para a formação de dióxido de enxofre, como os ventos que poderiam estar soprando componentes de enxofre da atmosfera mais baixa. Entretanto, Esposito acredita que seu dado é mais convincente e consistente com os fenômenos da Terra. A teoria de Esposito é análoga aos mecanismos vulcânicos da Terra. Após a erupção dos vulcões terrestres, são injetados na atmosfera grandes quanti-

dades de gases à base de enxofre, particularmente o dióxido, sendo dissipados após algum tempo. No dia seguinte à erupção de 1980 do Monte St. Helens, o nível de dióxido de enxofre na região situada no sentido do vento do vulcão era 2 000 vezes superior ao nível anterior.

Segundo Esposito, "não se pode ter certeza se os vulcões estão ativos em

Vênus, mas os dados que se tem são muito convincentes". Segundo ele, "podemos agora entender porque Vênus pareceu tão diferente em 1978".

Na opinião do cientista, a questão da atividade vulcânica em Vênus não será resolvida inteiramente até 1988, quando a NASA planeja mapear Vênus, usando fotografia de radar. As naves soviéticas Venera 15 e 16 já estão ma-

peando e os dados preliminares mostram cones vulcânicos.

A missão norte-americana, denominada Vênus Radar Mapper, usará radar para observar através das nuvens espessas e fotografar a superfície do planeta. O radar dessa espaçonave terá resolução maior e ampliará em cinco vezes a superfície coberta pela nave dos soviéticos. Fonte: NASA

Tecnologia espacial na previsão meteorológica

Um novo sistema que permite a visualização e a animação das imagens enviadas em tempo real pelo satélite meteorológico GOES está instalado no INPE — Instituto Nacional de Pesquisas Espaciais. O sistema denominado UAI (Unidade de Análise de Imagens) capta a imagem enviada pelo satélite e, a partir dela, monta o perfil da América do Sul. A formação de nuvens e o seu deslocamento são estampados na tela para serem em seguida decodificados e interpretados pelos especialistas. As informações então obtidas são enviadas por linha telefônica digital aos usuários do sistema, distribuídos pelo país.

Um sistema nacional — A animação das imagens enviadas é feita em uma seqüência de cenas, onde as imagens se movimentam dando o sentido do deslocamento das nuvens e possibilitando a previsão do tempo, a detecção de geadas e a determinação da temperatura das águas do mar. Uma vez digitais, as imagens podem ser armazenadas, substituindo o antigo processo de confecção de fotos, que é lento, caro e de acesso difícil.

O UAI foi inspirado no sistema Mc IDAS (composto por um computador associado a equipamentos de visualização de imagem), que foi observado, em 1975, na Universidade de Wisconsin, nos EUA, pelo Dr. Luiz Carlos Baldi-cero Molion, do Departamento de Meteorologia do INPE.

Um protótipo do sistema de visuali-

zação de imagens começou a ser desenvolvido pelo então estagiário Paulo Pio G. Camilli, para o Projeto SITIM (Sistema Interativo de Tratamento de Imagens Meteorológicas). Em 1978, o equipamento, batizado UAI-1, já estava em operação, recebendo o sinal do satélite GOES, através de uma estação receptora, também construída pelo INPE. As informações, convertidas em imagens fotográficas, eram também enviadas a entidades como o Ministério da Aeronáutica, CESP (Centrais Elétricas de São Paulo) e a jornais do Rio e São Paulo, que realizavam a interpretação das fotos.

Ampliando a atuação — As perspectivas de aperfeiçoamento do sistema foram percebidas rapidamente. Imaginou-se que, com pequenas modificações, era possível adaptar o UAI-1 de tal forma que os usuários tivessem acesso direto aos dados enviados pelo satélite, sem o atraso que a confecção de fotos e seu transporte acarretavam. Estava lançada a idéia do UAI-R (remoto), cuja tecnologia foi transferida para a indústria nacional, para a construção das primeiras unidades.

Atualmente, as imagens são recebidas pela estação receptora do INPE em Cachoeira Paulista, gravadas numa UAI-M (mestre), gêmea do UAI-R, e enviadas por linha telefônica digital diretamente para os usuários, que as recebem na UAI-R.

De acordo com o engenheiro José Roberto de Oliveira, do Departamento

de Meteorologia, há interesse potencial para a utilização deste sistema não só no Brasil como também em outros países da América Latina.

A UAI-R já está sendo utilizada, no Brasil, pela CESP, TASA (Telecomunicação Aeronáutica S/A), IAP (Instituto de Atividades Espaciais, do CTA) e EM-BRAPA (Empresa Brasileira de Pesquisa Agropecuária).

As imagens e suas aplicações — Os satélites geoestacionários, distantes 36 mil quilômetros da superfície terrestre, enviam uma imagem a cada 30 minutos, em duas bandas do espectro eletromagnético: no visível e no infravermelho térmico. Nesta última, as imagens fornecem a distribuição das temperaturas que estão no campo de observação do satélite. Dada a permanência deste sobre o mesmo ponto geográfico, é possível a montagem, em seqüência, das imagens transmitidas, o que permite a visualização da evolução do tempo.

O sistema UAI-R permite o armazenamento dessas imagens, tomadas em horários diferentes e que podem ser postas em animação. Possibilita, também, a transformação de uma escala de tons cinza em uma a cores, o que facilita a análise termal da imagem.

Além do acompanhamento de sistemas frontais (frentes frias) e da detecção e evolução de geadas, a UAI-R complementa também os dados convencionais captados por estações meteorológicas, que são escassas na América Latina. Assim, podem ser obtidas e mapeadas informações sobre a temperatura da água do mar, além da velocidade e a direção dos ventos em diversos pontos do oceano e do continente. Outra aplicação típica da UAI-R refere-se ao delineamento de neveiros, "plumas" de poluentes e queimadas de grande escala. Fonte: INPE •

AS TÉCNICAS DE INSTALAÇÃO
DAS ANTENAS DE TV — 2^a PARTE

Como instalar a antena coletiva

A partir do projeto para um prédio de onze andares, todas as considerações sobre como instalar uma antena coletiva: localização, escolha do tipo, fixação, misturador etc.

Na instalação e dimensionamento de uma antena coletiva devemos considerar diversos fatores. A posição das antenas, por exemplo, vai depender da localização do edifício. O estudo desse local determinará o melhor direcionamento, para evitar ao máximo interferências, "fantasmas" etc.

Vamos supor então que desejamos fazer a instalação de uma antena coletiva num prédio de onze andares, com três apartamentos por andar, na cidade de São Paulo (aplicando tudo o que foi dito na 1^a parte do nosso artigo).

Normalmente, a instalação de antenas nas grandes cidades é feita sem maiores problemas, pois dispomos de sinal forte. As coisas começam a complicar quando os sinais são muito fracos ou quando se trata de receber vários canais.

No caso da nossa coletiva, vamos utilizar antenas do tipo monocanal Yagi, que apresentam uma série de vantagens sobre as multicanais, apesar de serem muito mais caras. Vamos utilizar as Yagi, entre outros motivos, porque em São Paulo recebemos sinais de três regiões diferentes: do pico do Jaraguá, da avenida Paulista e do bairro do Sumaré. Com uma antena multicanal teríamos que encontrar uma direção "média" de recepção, o que seria impossível nas condições locais. Já com uma antena independente para cada canal poderemos direcionar corretamente a recepção, garantindo sinais limpos, fortes e definidos. Assim também é possível atenuar ou amplificar cada freqüência, separadamente,

deixando todas no mesmo nível.

As antenas multicanais perdem ainda, em comparação com as monocanais, na relação ântero-posterior, porque são mais sujeitas à recepção de imagens secundárias pela parte posterior. E nesse tipo de antena a intensidade de recepção de cada canal é também muito variável.

Como em São Paulo existem sete canais de televisão em VHF, a nossa coletiva utilizará sete antenas do tipo monocanal Yagi e uma antena omnidirecional para FM, toda da Thevear. Na figura 12 temos as características técnicas das antenas escolhidas.

Colocação dos mastros — Vamos distribuir as 8 antenas em 4 mastros, para evitar o uso de um mastro muito alto. Teremos, portanto, duas antenas por mastro. Como todos os mastros terão mais de três metros de altura, eles poderão ser canos de água de 1 polegada, amarrados com tirantes de cabos de aço. A altura será determinada consultando a tabela da figura 11, da 1^a parte do artigo, e a fixação dos mastros no chão deverá ser feita por meio de tripes.

Seguindo a premissa de nunca instalar várias antenas de mesma banda no mesmo mastro, teremos:

- mastro nº 1 — a antena do canal 2 com a do canal 7;
- mastro nº 2 — a antena do canal 4 com a do canal 9;
- mastro nº 3 — a antena do canal 5 com a do canal 11;
- mastro nº 4 — a antena de FM com a do canal 13.

Na instalação, devemos colocar sempre as antenas da banda I (canais 2, 4, 5 e 6) na parte inferior do mastro e as antenas da banda III (canais 7, 8, 9, 10, 11, 12, 13) na parte superior do mastro. Também devemos deixar uma distância de pelo menos 5 metros entre os mastros, como já foi discutido. A figura 13 dá as distâncias corretas de separação das antenas nos mastros.

Todas as antenas da banda I e de FM deverão estar no mastro a 2 metros acima do telhado, para evitar reflexões e imagens duplas.

Intensidade dos sinais — O próximo passo será conhecer a intensidade dos sinais que chegam ao edifício onde desejamos instalar a coletiva. Para isto devemos recorrer ao "medidor de campo" — nada mais que um microvoltímetro. Pela leitura do instrumento podemos deduzir os valores do sinal em dB μ V, μ V ou mV. Sem estes valores é praticamente impossível um projeto correto.

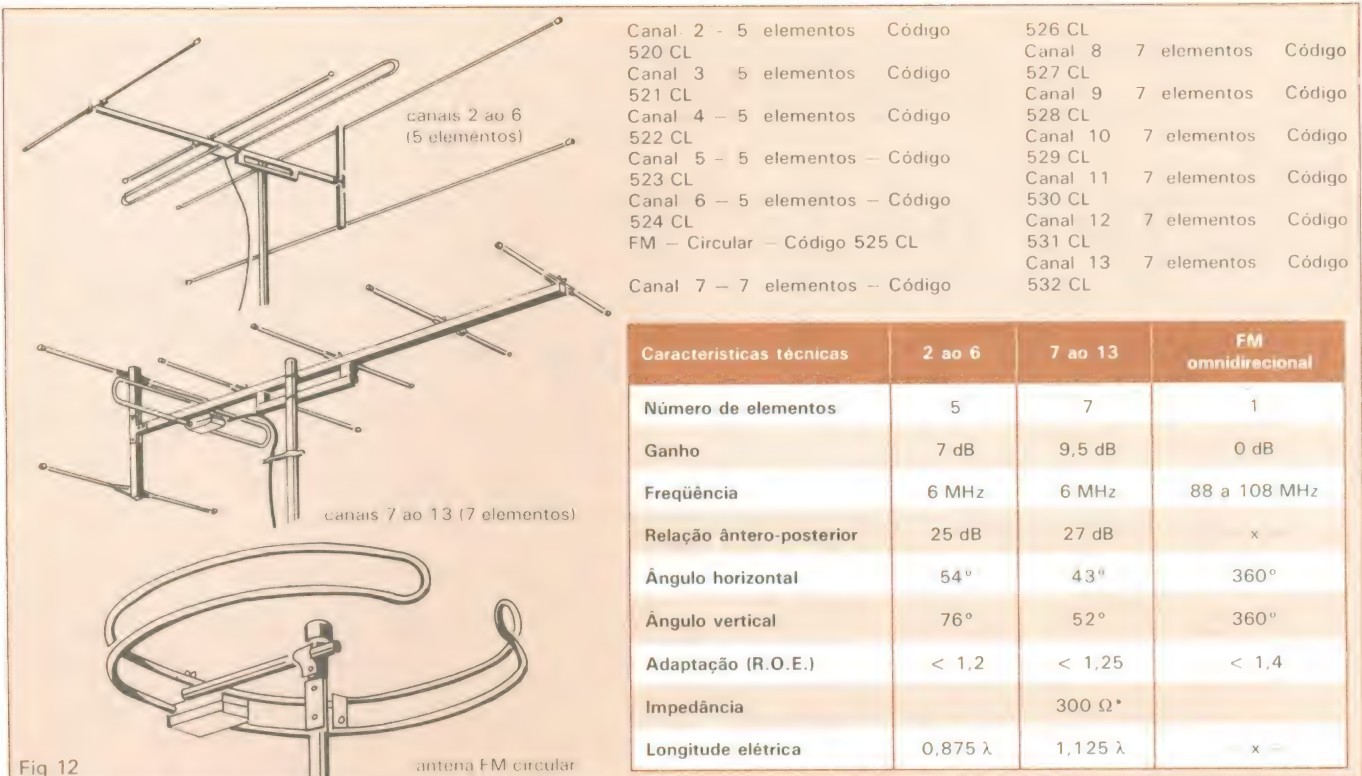
Com o auxílio do medidor de campo vamos deslocar, por exemplo, a antena do canal 2, em sentido circular sobre o mastro, até obtermos a leitura máxima em dB μ V no aparelho. Concluída a operação, a antena estará no seu ponto de máxima orientação. A seguir devemos repetir o processo para as demais antenas. Vamos supor, então, que obtivemos as seguintes leituras: canal 9, 92 dB μ V; canal 2, 91 dB μ V; canal 4, 99 dB μ V; canal 5, 87 dB μ V; canal 7, 101 dB μ V; canal 11, 94 dB μ V; canal 13, 93 dB μ V.

Escolha do misturador — De posse desses dados vamos escolher agora um misturador para a coletiva. Misturadores são circuitos elétricos que, baseados na teoria dos filtros, misturam sinais de freqüências diferentes. O fundamento desses misturadores está na combinação de vários elementos seletivos que, na forma de filtros, atenuam o menos possível a banda passante e cortam ao máximo as freqüências a serem eliminadas.

Existem vários modelos, de diversas marcas. A Thevear, especificamente, produz 5 modelos com os códigos: 819-E, 819-1E, 820-E, 850-E e 851-E, cujas características estão reunidas na figura 14.

O modelo indicado para a nossa instalação é o 850-E, que pode misturar até 8 faixas de freqüências:

- canal 2 — 54 a 60 MHz
- canal 4 — 66 a 72 MHz
- canal 5 — 76 a 82 MHz
- FM — 88 a 108 MHz
- canal 7 — 174 a 180 MHz
- canal 9 — 186 a 192 MHz
- canal 11 — 198 a 204 MHz
- canal 13 — 210 a 216 MHz



Formato e características técnicas das antenas Thevear.

Além de misturar 8 freqüências, o 850-E contém atenuadores independentes de 0 a 20 dB para cada entrada (ou canal). Este recurso é muito valioso porque permite ajustar o nível de entrada dos canais.

Ligação dos cabos — Concluída a instalação dos mastros, antenas e misturador, a tarefa seguinte será ligar os cabos coaxiais às antenas e ao misturador.

Ao todo são 8 cabos e o tipo indicado normalmente para instalações devido ao seu baixo custo é o RG-59 B/U. Contudo, utilizaremos o TV DROP 48, que possui uma blindagem melhor, sendo, por isso, mais indicado para cidades como São Paulo.

Para que não haja confusão nas interligações dos cabos, as entradas do misturador estão gravadas com os números dos canais correspondentes — 2, 4, 5, FM, 7, 9, 11 e 13. Portanto, basta conectar o cabo da antena do canal 5 à entrada do canal 5, o cabo da antena do canal 9 à entrada do canal 9 e assim por diante.

Concluídas todas as interligações, a saída do misturador deverá ser ligada a um amplificador.

Escolha do amplificador — Os fatores a serem considerados para a escolha de um amplificador são diversos e de características distintas, elétricas e econômicas.

O amplificador é uma peça muito de-

ficada na instalação de antenas coletivas. A Thevear mantém em linha modelos para várias aplicações, divididos em quatro séries: 860, 861, 862 e 863. As características desses equipamentos que nos interessam diretamente são a tensão máxima de entrada, a tensão máxima de saída e o ganho, é claro.

A série ideal para o nosso projeto é a 862. A tensão máxima de entrada para 7 canais, no 862, é de 88 dB_μV; a tensão máxima de saída é de 118 dB_μV; e o ganho é da ordem de 30 dB.

Conexão do misturador ao amplificador — Antes de fazer a ligação ao amplificador, precisamos ajustar os níveis de entrada do misturador, porque a saída deste precisa ser compatível com a especificação do amplificador.

O amplificador adotado admite uma tensão máxima de entrada de 88 dB_μV. Isso significa que, se a entrada for maior que 88 dB_μV, o amplificador vai se saturar, o que deve ser evitado a todo custo. Mas as leituras realizadas anteriormente com o medidor de campo

indicam que temos sinais na instalação superiores a 88 dB_μV em quase todas as antenas.

Para resolver o problema basta colocarmos o medidor de campo na saída do misturador e ajustarmos o atenuador de cada canal do 850-E para a tensão máxima de entrada do amplificador. Feitos os ajustes obteremos:

canal 2 — atenuar 3 dB_μV; ficará com 88 dB_μV.

canal 4 — atenuar 11 dB_μV; ficará com 88 dB_μV.

canal 5 — não é necessário atenuar (o atenuador deve permanecer desligado, portanto); ficará com 87 dB_μV.

canal 7 — atenuar 13 dB_μV; ficará com 88 dB_μV.

canal 9 — atenuar 4 dB_μV; ficará com 88 dB_μV.

canal 11 — atenuar 6 dB_μV; ficará com 88 dB_μV.

canal 13 — atenuar 5 dB_μV; ficará com 88 dB_μV.

É muito importante que o ajuste do misturador fique correto, porque, se o

mastro n° 1	mastro n° 2	mastro n° 3	mastro n° 4
BIII	BIII	BIII	BIII
c/7	1,5 m	c/9	1,5 m
BI	BI	BI	BI
c/2	2,0 m	c/4	2,0 m
		c/5	2,0 m
			FM
			2,0 m

Fig 13 Distâncias de separação das antenas nos mastros.

Características técnicas	819-E	819-1 E	820-E	850-E	851-E
Faixa	VHF + VHF (BI, BII + BIII)	VHF + VHF (BI, BII + BIII)	VHF + UHF	7 canais TV + FM (1)	4 canais TV + FM (1)
Impedância entr. saída	E 75 - 300 Ω S 75 Ω	300 Ω	E 75 - 300 Ω S 75 Ω	Conector 75 Ω	Conector 75 Ω
Adaptação (R.O.E.)	< 1,3	< 1,3	< 1,3	< 1,2	< 1,2
Atenuação de passagem	0,5 dB	0,5 dB	VHF - 0,5 dB UHF - 1 dB	0,5 dB a 2,5 dB	0,5 dB a 2,5 dB
Atenuação lateral (entre canais não adjac.)	-	-		> 26 dB	> 26 dB
Controle de atenuação (independ. p/ cada canal)	-	-		de 0 a 20 dB	de 0 a 20 dB
Dimensões	130 × 75	130 × 75	110 × 100 × 50	240 × 100 × 70	165 × 100 × 70
Atenuação entre bandas	> 40 dB	> 40 dB	> 40 dB	> 50 dB	> 50 dB
Peso	190 g	190 g	310 g	650 g	430 g

OBS. (1): Os canais são a especificar. No modelo 851-E poderá ter dois canais baixos (2 ao 6), dois canais altos (7 ao 13) e FM (desde que não sejam adjacentes). Sob consulta, poderá ter uma entrada para UHF ou qualquer outra banda.

Fig. 14 Características técnicas dos misturadores Thevear.

amplificador saturar, teremos cores sobrecarregadas, falta de nitidez, canais sobrepostos e, dependendo do grau de saturação, desaparecimento total da imagem da televisão.

Ainda com relação ao amplificador, é importante frisar que o local da instalação da antena coletiva normalmente determina o seu ganho. A Thevear, como já dissemos, produz vários modelos de amplificadores, cada um com um ganho diferente. Os da série 860, por exemplo, com ganho até 50 dB, são indicados para locais onde o sinal é muito fraco, da ordem de 70 dB_μV. Numa cidade como São Paulo, a série 862 atende a praticamente 60% das necessidades. Nos locais onde o sinal é extremamente forte, devemos instalar amplificadores de baixo ganho, como os da série 863, para até 22 dB.

Concluídos todos os ajustes necessários e ligado o misturador ao amplificador, teremos na saída deste um sinal de 118 dB. O próximo passo será li-

gar a saída do amplificador à entrada do distribuidor.

O distribuidor de sinais — Como o próprio nome diz, são circuitos que servem para a distribuição de sinais, podendo alimentar várias descidas. Tais dispositivos não devem, entretanto, modificar de forma alguma a impedância do resto do sistema e devem ter resposta em frequência linear.

Normalmente os distribuidores são construídos à base de resistores, mas existem os constituídos de indutores e capacitores, os clássicos derivadores de potência.

Os de resistores são os mais eficientes. Seu cálculo é simples, já que só temos de determinar as resistências a serem inseridas, como ilustra a figura 15. Para este fim há uma fórmula muito simples:

$$\frac{Z_0}{n} + R = Z_0$$

$$ou \\ R = \frac{n.Z_0 - Z_0}{n + 1}$$

sendo n o número de descidas ou saídas, Z_0 a impedância do cabo (75 ohms) e R a resistência a ser intercalada.

Com respeito à divisão de sinais, a atenuação será dada em função do número de descidas. Por exemplo: para 2

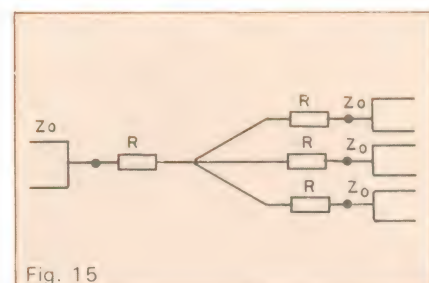


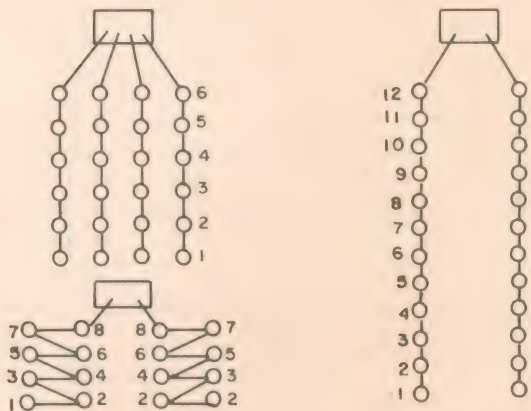
Fig. 15

Esquema do distribuidor de sinais resistivo.

Características técnicas	810 E	810-1 E	810-2 E	811 E	811-1 E	811-2 E	812 E	812-1 E	812-2 E
Nº de saídas		4 saídas			3 saídas			2 saídas	
Impedância	75 Ω	300 Ω	75 Ω	75 Ω	300 Ω	75 Ω	75 Ω	300 Ω	75 Ω
Atenuação pass. ± 01, dB	6,5 dB	12 dB	6,5 dB	6,5 dB	9,5 dB	6,5 dB	3,5 dB	6 dB	3,5 dB
Atenuação entre saídas	> 30 dB	> 12 dB	> 30 dB	> 30 dB	> 9,5 dB	> 30 dB	> 20 dB	> 6 dB	> 20 dB
Adaptação (R.O.E.)	< 1,15	< 1,2	< 1,15	< 1,15	< 1,2	< 1,15	< 1,15	< 1,2	< 1,15
Faixa					5 a 900 MHz				
Dimensões					110 × 75 × 40 n/m				
Conexão	abracad.	term.	conector	abracad.	term.	conector	abracad.	term.	conector
Peso	170 g	130 g	210 g	160 g	130 g	180 g	150 g	125 g	160 g

Fig. 16 Especificações técnicas dos distribuidores Thevear.

Fig 18



Com "linhas equilibradas", soluciona-se qualquer esquema de distribuição. Nos casos de sistemas de instalação em "Z", a numeração será consecutiva, igual à das prumadas.

Características técnicas	B70-E	B72-E	B74-E	871-E	873-E	875-E
Faixa				VHF - UHF		
Impedância				75 Ω		
R.O.E. entrada saída				< 1,01		
R.O.E. TV-FM				< 1,25		
Atenuação de passagem				Ver tabela		
Atenuação de tomada - TV				Ver tabela		
Atenuação de tomada FM					10 dB mais que a TV	
Atenuação entre tomada TV-FM						> 28 dB
Linearidade				± 1,5 dB entre canais 2 ao 83 e tomadas 1º ao 30º		

saídas, dividiremos o sinal em dois (6 dB); para 3 saídas, dividiremos em três (10 dB); 4 saídas, dividiremos em quatro (12 dB); e assim sucessivamente.

Os divisores indutivos têm a vantagem de apresentar poucas perdas. O de 2 saídas, por exemplo, tem uma atenuação de 3,5 dB; e o de 4 saídas, 6,5 dB. São constituídos de transformadores e inversores de fase para alta frequência, cuja resposta depende da finalidade. No nosso caso, abrangem toda a faixa de VHF e UHF. Os divisores feitos com transformador são geralmente superiores aos resistivos.

A Thevear também produz uma série de modelos de distribuidores. O mais interessante para esta montagem é o 811-2E, de uma entrada e três saídas. A figura 16 contém as especificações dos vários tipos.

De acordo com o que analisamos, cada vez que o sinal de uma linha de transmissão é dividido, ele sofre uma atenuação, uma perda. No caso de um distribuidor de três saídas, como o 811-2E, a perda é de 6,5 dB. Em virtude dessa atenuação, não teremos mais 118 dB em cada linha de transmissão, mas sim 118 dB - 6,5 dB = 111,5 dB.

Redes de distribuição — O passo seguinte no projeto será a distribuição do sinal da coletiva no prédio, que tem onze andares com três apartamentos por andar, como imaginamos a princípio. Vamos supor que a tubulação para a passagem dos cabos coaxiais é do tipo prumada, ou seja, que atravessa todos os apartamentos, como ilustra a figura 17. De acordo com ela, temos três prumadas ou descidas.

É óbvio que, ao projetarmos a instalação, o objetivo principal é levar a cada receptor o sinal com a mesma intensidade.

Nº da tomada	Atenuação da linha p/ tomada (em dB)	Atenuação de passagem (em dB)	Nº da tomada	Atenuação da linha p/ tomada (em dB)	Atenuação de passagem (em dB)	Nº da tomada	Atenuação da linha p/ tomada (em dB)	Atenuação de passagem (em dB)
1	11	—	11	25,2	0,7	21	30,4	0,5
2	12,9	1,9	12	25,8	0,6	22	30,8	0,4
3	14,7	1,8	13	26,4	0,6	23	31,2	0,4
4	16,4	1,7	14	26,9	0,5	24	31,6	0,4
5	18	1,6	15	27,4	0,5	25	32	0,4
6	19,5	1,5	16	27,9	0,5	26	32,4	0,4
7	20,9	1,4	17	28,4	0,5	27	32,8	0,4
8	22,2	1,3	18	28,9	0,5	28	33,2	0,4
9	23,4	1,2	19	29,4	0,5	29	33,6	0,4
10	24,5	1,1	20	29,9	0,5	30	34	0,4

OBS.: Nestas atenuações estão incluídas as atenuações dos 3 metros de cabo coaxial de andar para andar.

Tabela das atenuações numa rede de distribuição com até 30 tomadas Thevear.

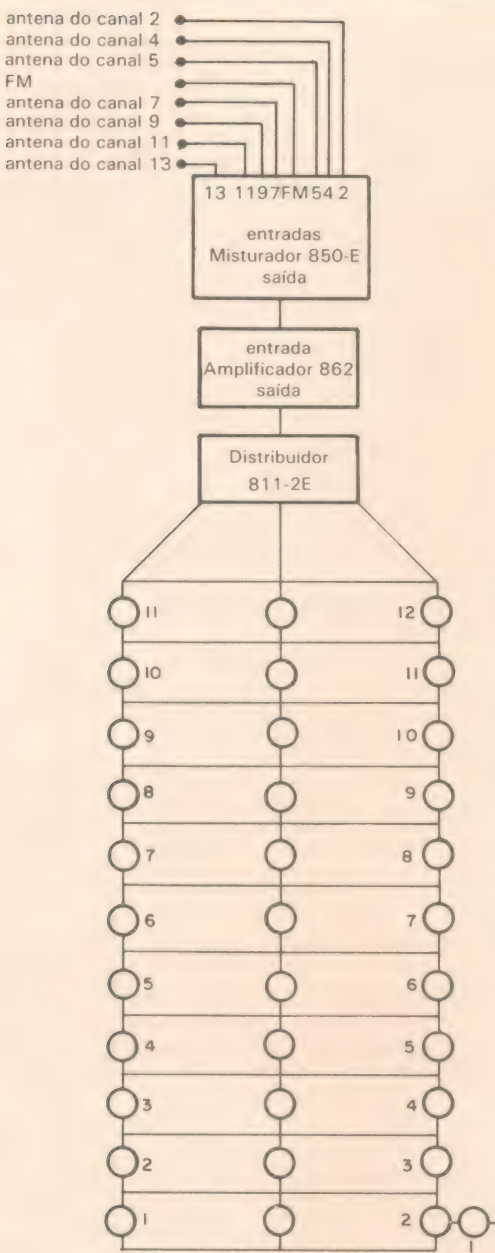


Fig 17

Esquema de instalação da antena coletiva num prédio de 11 andares, com 33 apartamentos.

sidade, quer ele esteja no primeiro ou no décimo primeiro andar. Esse será o nosso problema daqui para frente.

O primeiro obstáculo é o cabo da linha de transmissão: como analisamos anteriormente, este deve oferecer a menor atenuação e a menor perda possível, sem comprometer os custos, é claro. A atenuação num cabo varia em função da freqüência do sinal transmitido. Precisamos, então, determinar a atenuação máxima e mínima na nossa linha de transmissão. Os extremos da faixa são os canais 2 e 13.

Dentro deste quadro, o cabo ideal para uma cidade como São Paulo é o TV DROP 48. Ele atenua 6,2 dB em 100 metros, na freqüência de 50 MHz (ca-

nal 2). Na frequência de 200 MHz (canal 13), a atenuação é bem maior, cerca de 13,1 dB para os mesmos 100 metros de cabo. A figura 17 mostra como ficou a nossa rede de distribuição no prédio.

Antes de avançarmos, precisamos dar mais alguns esclarecimentos a respeito das redes de distribuição. A tubulação destinada à antena coletiva pode ser metálica ou plástica, com diâmetro de 3/4 de polegada. Nessa tubulação deve passar apenas o cabo da antena: ela não pode conter outros cabos, como de telefone, som ou luz. No caso dessa instalação usaremos tubulação de metal.

Caixas de passagem — Podemos ter

ARGOS- IPOTEL

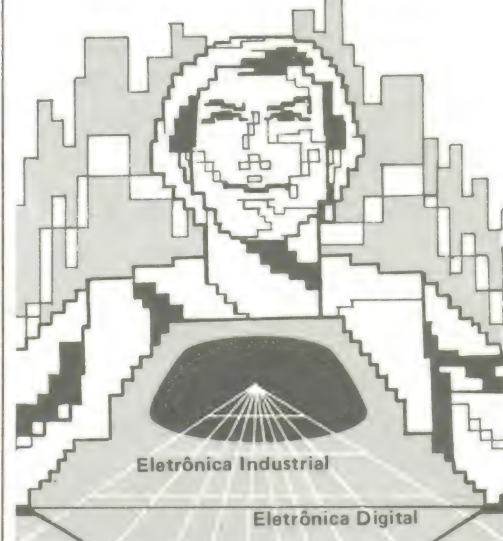
CURSOS DE ELETROÔNICA E INFORMÁTICA

ARGOS e IPDTEL unidas, levam até você os mais perfeitos cursos pelo sistema:

TREINAMENTO À DISTÂNCIA

Elaborados por uma equipe de consagrados especialistas, nossos cursos são práticos, funcionais, ricos em exemplos, ilustrações e exercícios.

E NO TÉRMINO DO CURSO, VOCÊ
PODERÁ ESTAGIAR EM NOSSOS
LABORATÓRIOS.



Práticas Digitais (com laboratório)

Microprocessadores & Minicomputadores

Projeto de Circuitos Eletrônicos

Curso Prático de Circuito Impresso (com material)

Especialização em TV a Cores

Especialização em TV Preto & Branco

Eletrodomésticos e Elétricidade Básica

Preencha e envie o cupom abaixo.

ARGOS - IPDTEI

R. Clemente Álvares, 247 - São Paulo - SP.
Caixa Postal 11.916 - CEP. 05090 - Fone 261-2305

Nome _____

Endereço _____

Cidade _____ CEP _____

As nos escrever indique o código **NE**

caixas de passagem nas seguintes dimensões: 2×4 e 4×4 polegadas. Utilizaremos as de 4×4 polegadas, porque nossas tomadas serão de duas saídas, uma para ligação do receptor de FM e outra para a televisão.

O projeto prevê a instalação de uma tomada para TV e uma para FM em cada andar. O próximo passo, então, será o cálculo da atenuação do sinal nessas tomadas.

Análise das "linhas equilibradas" — Para evitar cálculos enfadonhos e cansativos, a Thevear desenvolveu um sistema de tomadas que batizou de "linhas equilibradas". Nesse sistema, cada tomada recebe um número, que é diferente de acordo com sua instalação na linha de transmissão, porque cada uma tem uma determinada atenuação.

Para facilitar ainda mais, a tabela da figura 18 fornece as atenuações de todas as tomadas de uma rede de distribuição com até 30 tomadas. Em cada caso é dada a atenuação de passagem e a atenuação da linha para a tomada. É importante ressaltar, também, que na tabela já estão incluídas as atenuações dos três metros de cabo normalmente existente entre um andar e outro.

Na rede de distribuição da figura 17

observamos que duas linhas de transmissão vão do 11º ao 1º andar, passando por todos os apartamentos. Nestas linhas, vamos instalar duas séries de tomadas, numeradas de 1 a 11, de acordo com o andar correspondente. Faremos o mesmo na linha restante, só que nesta haverá uma defasagem de um número. A numeração das respectivas tomadas irá, portanto, de 1 a 12. Essa defasagem existe porque o projeto prevê um ponto (tomada) na portaria do prédio, para o guarda ou porteiro.

Instaladas todas as tomadas vamos verificar se a linha está de fato equilibrada. O edifício tem três prumadas, duas com 11 tomadas e uma com 12. Para efeito de cálculo, sempre consideraremos a prumada de maior atenuação, no caso a de 12 pontos.

Vamos escolher para teste duas tomadas quaisquer, por exemplo, a 11 e 12. A de número 12 tem uma atenuação linha/tomada de 25,8 dB e uma atenuação de passagem de 0,6 dB. A de número 11 tem uma atenuação linha/tomada de 25,2 dB. Portanto, a atenuação na tomada número 11 é igual a 25,2 dB mais 0,6 dB (que é a atenuação de passagem da tomada 12), logo a atenuação total em 11 é de 25,8 dB. Podemos concluir então que a linha está realmente equilibrada e que

a atenuação no edifício é de 25,8 dB.

Intensidade de sinal nas tomadas — A intensidade de sinal em cada tomada é igual à intensidade na saída do amplificador menos a atenuação da linha. Logo, teremos:

sinal do amplificador — 111,5 dB (já descontado os 6,5 dB do distribuidor);

atenuação da linha — 25,8 dB.

Em cada tomada, $111,5 - 25,8 = 85,7$ dB.

Simetrizadores — Hoje em dia as instalações tendem a ser totalmente feitas com cabo coaxial, o que é muito melhor, como já vimos, do que usar linhas paralelas de 300 ohms. Para transformar a impedância de 300 para 75 ohms, e vice-versa, recorre-se ao simetrizador ou assimetrizador. No nosso caso usaremos um deles para transformar 75 ohms da linha para 300 ohms, uma vez que muitos receptores só dispõem de entrada para cabos desse valor de impedância.

Resta, como última etapa da colocação da antena coletiva, a ligação do terra. Essa, como já foi discutido, destina-se basicamente a proteger a instalação contra descargas atmosféricas.

Litec

Livraria editora técnica Ltda.

Rua dos Timbiras, 257 — 01208 São Paulo
Cx. Postal 30.869 — Tel. 220-8983

Não esqueça:

*Somos especialistas em livros sobre
eletrônica, eletricidade, informática,
manuais de fabricante e equivalências,
manuais de esquemas e serviço.
Solicite-nos catálogos*

FAÇA-NOS UMA VISITA: DOBRAMOS A ÁREA DE NOSSA LOJA E AUMENTAMOS ASSIM OS LIVROS EXPOSTOS.

PREÇOS SUJEITOS A ALTERAÇÃO

ATENDIMENTO PELO REEMBOLSO POSTAL. Só aceitamos acima de Cr\$ 3.000,00. Pedidos inferiores devem vir acompanhados de cheque nominal ou vale postal. O porte do correio varia atualmente entre Cr\$ 300,00 e Cr\$ 500,00 por pacote (dependendo do valor e peso) e será cobrado juntamente com o valor da mercadoria ao retirá-lo no correio.

REEMBOLSO AÉREO VARIG. Só aceitamos pedidos acima de Cr\$ 10.000,00. Este serviço só é possível para as cidades servidas por esta companhia. As despesas de despacho variam entre Cr\$ 5.000,00 e Cr\$ 10.000,00, dependendo da distância, peso e valor do pacote.

A evolução das telecomunicações

Em 1847, Helmholtz afirmava que as descargas elétricas podiam ter uma forma oscilatória. Em 1861, Feddersen demonstrava experimentalmente a existência de oscilações elétricas e, quatro anos depois, foi a vez de Maxwell formular a sua teoria do eletromagnetismo. Hertz viria confirmá-la, em 1886, quando conseguiu produzir ondas eletromagnéticas em seu laboratório, com um "transmissor" que, por sinal, oscilava em ondas muito curtas. Finalmente, em 1927 — 41 anos após o feito de Hertz — era criado o Comitê Consultivo Internacional de Radiocomunicações (CCIR), em virtude do Convênio Radiotelegráfico Internacional, estabelecido neste período, em Washington.

Neste espaço de tempo — curto até, se considerarmos a quantidade e a importância das realizações ocorridas — estabeleceram-se os fundamentos científicos para o desenvolvimento das radiocomunicações.

Os resultados alcançados durante os últimos anos do século 19 conduziram a realizações de experiências de telegrafia sem fio coroadas de êxito (em particular, as do padre brasileiro Landell, as de Popov e Marconi) e ao estabelecimento das primeiras ligações entre a terra firme e as embarcações (1899). Os trabalhos de Crookes, Edison, Fleming e de Forest, que resultaram nos diodos e nas válvulas termoionicas (1904, 1907), permitindo a construção de osciladores e amplificadores com válvulas a vácuo (Meissner, em 1913, e Hartley, em 1915), constituem outros importantes elos no desenvolvimento das radiocomunicações.

Na verdade, o período decorrido desde as primeiras experiências da telegrafia sem fio até o final do século passado pode ser melhor estudado se o dividirmos por décadas. A primeira (1900-1910) podemos denominar a *década da onda amortecida*: é quando Sommerfeld desenvolve uma teoria do guia de ondas abertas; Duddell inventa o arco voltaico musical; Heaviside e Kennelly, atuando independentemen-

te, formulam suas hipóteses relativas às reflexões das ondas eletromagnéticas na ionosfera; Poulsen inventa um gerador de arco baseado no arco musical de Duddell, para produzir oscilações contínuas; Fleming produz o diodo termoionico; Wehnelt cria a válvula retificadora; Alexanderson constrói o alternador de alta freqüência; e Lee De Forest fabrica o triodo termoionico.

A segunda década (1910-1920), que inclui o período relativo à 1^a Guerra Mundial, pode ser designada como a da corrente contínua, marcada pelo uso de diodos, triodos e detectores. As invenções desta época, tais como o amplificador de vários estágios, a recepção super-heteródina, a modulação de amplitude e a banda lateral única (Carson), contribuíram para estabelecer as bases do desenvolvimento das técnicas e sua posterior aplicação nas radiocomunicações. Some-se a isso a introdução, pouco tempo depois, da antena de quadro para recepção (Braun) e o início das experiências com válvulas osciladoras de maior potência.

Na terceira década (1920-1930), com a consolidação dos circuitos elétricos e dos fenômenos neles produzidos (teoria dos dipolos, filtros, quadripolos, realimentação negativa, AM e FM e a lei de Hartley), outros refinamentos começam a se manifestar tanto no setor de transmissão como no de recepção. Novas válvulas termoionicas são inventadas, sendo que algumas delas apresentam até 4 funções simultâneas, além de melhor rendimento. Registre-se, também, o advento das válvulas transmissoras de grande potência, que proporcionam grande desenvolvimento à radiodifusão em todas as freqüências utilizáveis na época. No final da terceira década (1929), ocorre, em Haia, a primeira Assembléia Plenária do Comitê Consultivo Internacional de Radiocomunicações (CCIR).

A quarta década (1930-1940) termina com a eclosão, em 1939, da 2^a Guerra Mundial. Este conflito, a exemplo da 1^a Guerra Mundial, ocasionou, em que pese mortes e destruições, um tremendo

desenvolvimento das técnicas eletrônicas de radiocomunicações.

Função do CCIR — Uma das principais tarefas então assumidas pelo CCIR era fornecer as normas para o estabelecimento das estações transmissoras, além de definir potências e controlar a qualidade das emissões. Neste sentido, assinalamos que a evolução técnica permitia o atendimento de padrões consideráveis de qualidade. Um exemplo é o da estabilidade exigida para transmissores em 1927: melhor do que 10^{-4} .

Quanto ao desenvolvimento técnico propriamente dito, alinharam-se outros exemplos significativos. Um deles refere-se à estabilização elétrica por circuito LC (oscilador mestre) de Chirex e Franklin, que passou a ser feita por intermédio de cristal a quartzo e turmalina (Cady). Outro, é o caso dos receptores que experimentaram uma evolução simplesmente espetacular, se os compararmos com os primeiros modelos dos anos 20. Desde a "argola" de arame utilizada por Hertz, passando pelo coesor de Branly (aperfeiçoado por Lodge), e chegando ao diodo a gás de Fleming (que em si pouco ajudou, mas teve o mérito de inspirar De Forest), somaram-se várias contribuições, cujo resultado foi tornar os receptores de rádio verdadeiras obras-primas. O super-heteródino, que substituiu o regenerativo (de difícil ajuste para o uso doméstico), foi sem dúvida um dos passos essenciais deste avanço.

Ainda no que diz respeito aos receptores, lembramos de um S43, produzido pela Philips — na ocasião, a fabricante de mais de 50% dos receptores de rádios domésticos no mundo — e que apresentava uma faixa de recepção de até 9 metros e sensibilidade de 3 microvolts.

Caráter universal — Desejamos ressaltar, de modo particular, o caráter universal da União Internacional de Telecomunicações, da qual faz parte o CCIR. O Brasil, como todos os países-membros da ONU, integra a UIT. Em suas reuniões, com o objetivo de equacionar problemas das telecomunicações, os delegados brasileiros procuram obter concessões de freqüências, além de outras vantagens.

No entanto, é lamentável que até agora o Ministério das Comunicações do Brasil não tenha se compenetrado da importância da UIT para o nosso povo, facilitando a divulgação das atividades de nossos delegados naquele órgão. Isso poderia ser feito mediante envio a todas as revistas especializadas em telecomunicações (afinal, não são muitas) de um boletim informativo regular. Fica a sugestão. ●

As tecnologias dos MIPs

Com grandes vantagens de volume e peso, os Mostradores de Imagens Planos (MIPs) têm condições de substituir, em muitas aplicações, os tradicionais tubos de raios catódicos

Desde a década de 50 temos notícias sobre o desenvolvimento dos Mostradores de Imagens Planos (MIPs). Esses dispositivos, tal e qual um tubo de TV comum, gerariam imagens a partir do sinal de vídeo, tendo porém a forma e dimensões de um quadro, podendo até serem pendurados numa parede. Daí também o nome de **Painéis de Imagem Planos** (PIPs). As pesquisas realizadas em MIPs nos últimos 30 anos resultaram em cinco tecnologias principais, algumas em plena utilização e outras que em breve serão colocadas à disposição dos engenheiros projetistas de sistemas. Em termos de preço e desempenho, a tecnologia mais promissora para a construção de MIPs é a de cristais líquidos, tanto a convencional como a biestável.

Existem diversas razões para a substituição dos atuais TRCs pelos MIPs. Sem dúvida, as considerações mais óbvias são as de transportabilidade e de ergonomia, principalmente em equipamentos de processadores eletrônicos de dados. Outra característica importante é o fato de evitar o ofuscamento devido à iluminação tão comuns nos TRCs. Estes, aliás, apresentam ainda o problema de cintilação, que causa fadiga dos olhos, e da radiação, que, além de aumentar a fadiga, pode provocar sérios riscos à saúde, em determinados casos.

As várias opções — Sem dúvida, o domínio de mercado dos TRCs de alta resolução é absoluto e este domínio

deverá manter-se até o final da década. Um dia, porém, os MIPs tomarão a dianteira, tanto em termos de velocidade, como também na resposta em cores, na busca de maior nitidez. Além da tecnologia de cristais líquidos, aquela que pode ser considerada mais viável hoje é a de fluorescência no vácuo — a tecnologia mais madura em termos de elementos ativos.

Outras tecnologias, como a eletroforética e eletrocrônica, poderão oferecer resultados apenas em prazos médios a longos. A tecnologia de fluorescência no vácuo é utilizada em automóveis, em vários países, dominando as aplicações, apesar dos progressos apresentados pela tecnologia de cristais líquidos.

Os MIPs a plasma e suas derivações, tal como o TRC híbrido de plasma, estão ampliando suas aplicações em terminais gráficos, com seu peso e volume continuamente reduzidos e a informação apresentada na tela sempre crescente.

A eletroluminescência tem sido estudada há pelo menos três décadas, visando seu emprego na construção de MIPs. Hoje, finalmente, os MIPs eletroluminescentes (em particular os de filme fino) estão atingindo a produção em massa. Não descartando os demais aperfeiçoamentos, isto foi possível graças ao desenvolvimento de melhores circuitos alimentadores, construídos com DMOS monolíticos especiais para os MIPs EL.

Por outro lado, experiências preliminares com dispositivos eletrocrônicos

têm mostrado a possibilidade de sua utilização em MIPs de pequenas e grandes dimensões. Já o trabalho com mostradores eletroforéticos não tem se mostrado tão frutífero, esbarrando em problemas talvez insuperáveis; não será nenhuma surpresa a virtual suspensão das pesquisas nessa área.

Embora todas as tecnologias busquem substituir a tecnologia dos TRCs, é exatamente ela que está possibilitando a construção de melhores MIPs emissivos. Indubitavelmente, a técnica mais promissora em termos de maior resolução e melhor tempo de resposta é a varredura por incidência de elétrons e emissão por fósforo. A condução do desenvolvimento parece indicar que a combinação das tecnologias à base de plasma ou fluorescência no vácuo com as tradicionais é a melhor forma de se obter mostradores planos.

É bom que se diga, também, que os TRCs têm se tornado cada vez mais leves e menos volumosos, caminhando no sentido dos painéis planos. Isto colocará o usuário cada vez mais diante do dilema desempenho x custo. Em contrapartida, prevê-se para um futuro próximo que cada tipo de mostrador de imagem terá seu próprio mercado de aplicação. Os mostradores híbridos, por exemplo, não oferecem o contraste, a luminância e a resolução dos TRCs; entretanto, têm menor peso e volume e não emitem raios X, não sendo também influenciados pela proximidade de campos magnéticos. Permitem, também, melhor alinhamento.

O maior esforço no desenvolvimen-

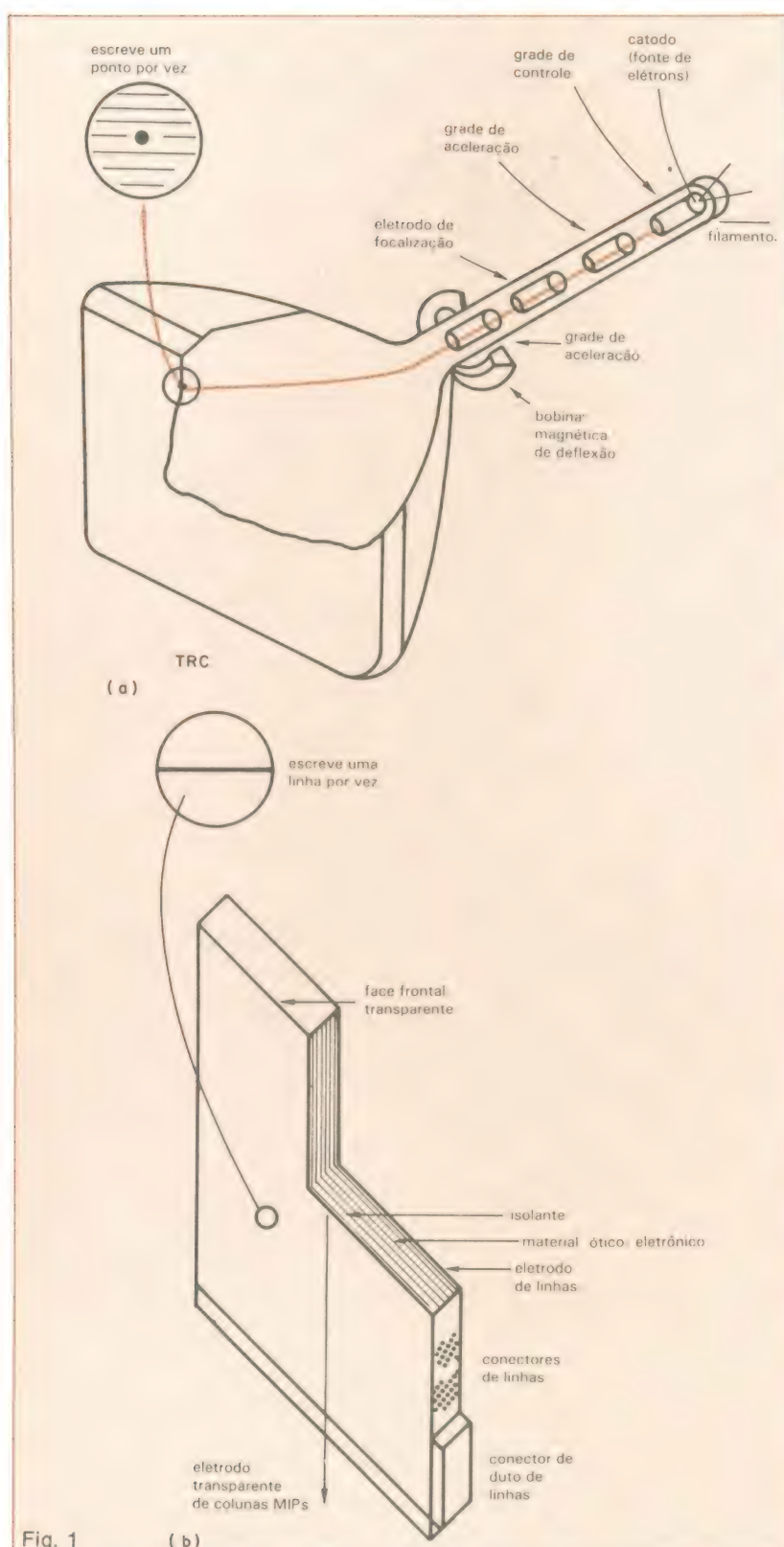


Fig. 1

(b)

Comparação de estruturas de um TRC e de um mostrador de imagem plana com tela ampla.

Consumo dos mostradores de vídeo

Tabela 1

Mercado	(consumo em milhares de unidades)			
	1983	1984	1985	1986
Micros profis.				
De mesa	1340	1900	2480	3200
Portáteis	265	410	535	680
Outros	10	100	220	360
Terminais de processamento				
Diversos	1660	1900	2300	2700
Estações gráficas	440	560	730	990
Total geral	3715	4870	6265	7930

Consumo dos mostradores planos

Tabela 2

Mercado	(consumo em milhares de unidades)			
	1983	1984	1985	1986
Micros profissionais				
De mesa	0	0	23	30
Portáteis	25	100	212	330
Outros	10	100	220	360
Terminais de processamento				
Diversos	7	12	20	25
Estações gráficas	5	19	52	110
Total dos MIPs	47	231	527	853
Porcentagem do mercado	1,2%	4,9%	8,4%	10,8%

Consumo mundial de MIPs por tecnologia

Tabela 3

Tecnologia	(consumo por milhões de dólares)			
	1983	1984	1985	1986
MIP				
TCRs planos	—	1,00	2,00	4,00
Cristais líquidos	24,10	30,13	37,66	47,07
Fluorescência a vácuo	10,00	14,00	18,90	24,57
Plasma (descarga gasosa)	30,00	37,50	45,00	51,75
Outros auto-emissores de luz	1,50	2,40	3,36	4,37
Outros MIPs passivos	—	—	0,90	1,80
Totais	65,60	85,03	107,82	133,56

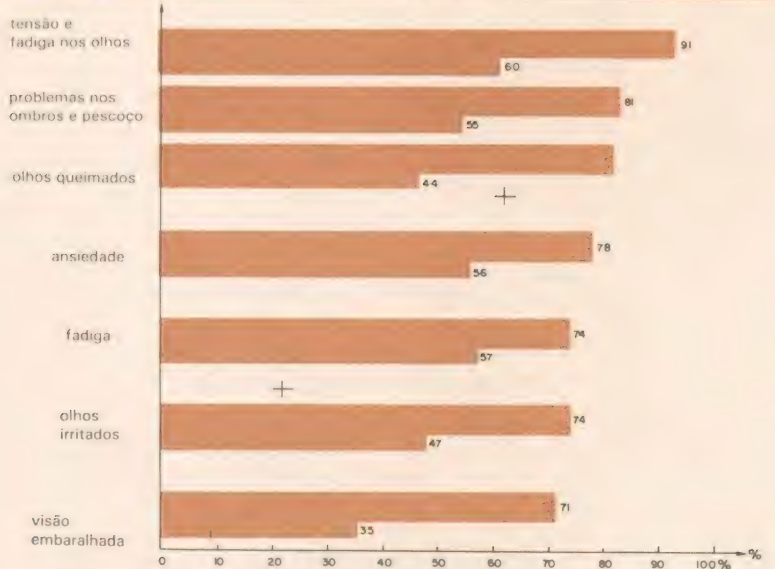


Fig 2

Comparação estatística entre problemas de saúde no trabalho com TRCs.

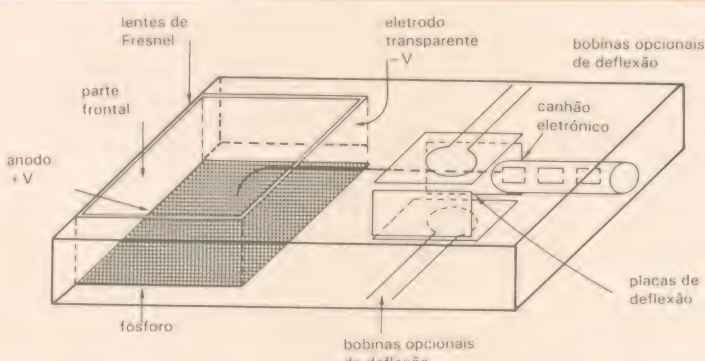


Fig 3

Estrutura básica de um TRC plano.

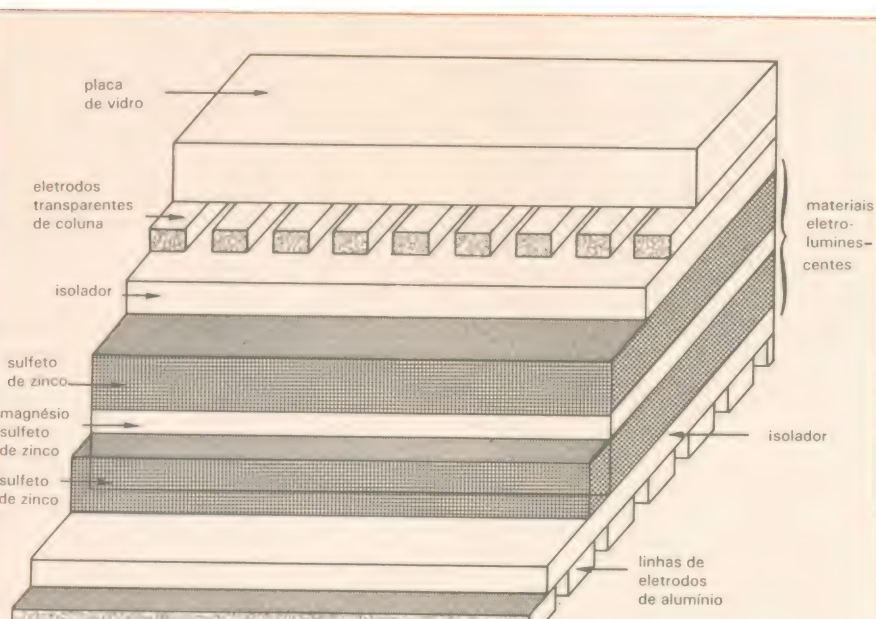


Fig 4

Estrutura básica de um mostrador plano eletroluminescente.

to dos MIPs de descarga gasosa consiste em obter maior resolução e construir painéis de maiores dimensões, reduzindo simultaneamente o número de alimentadores. Há dois anos, foi fabricado o primeiro mostrador de plasma de grandes dimensões, com um metro de diagonal e 2 000 ponteiros por cm² (pontel = ponto na tela). Até o fim deste ano deverá ser lançada uma versão em cores.

Para que se tenha idéia do mercado de mostradores, apresentamos na Tabela 1 uma projeção de consumo para o mercado dos Estados Unidos, considerando-se apenas a área profissional. A enorme expansão do consumo de mostradores de todos os tipos mostra apenas a imensa expansão que deverá continuar a ocorrer na área de processamento de dados e na utilização crescente de sistemas gráficos.

Na Tabela 2 temos uma expansão de consumo de MIPs nos EUA por área profissional e, finalmente, na Tabela 3, uma previsão mais conservadora do consumo mundial de MIPs, em milhões de dólares.

Resumindo o que foi dito, existem cinco tecnologias dominantes para a construção de mostradores de imagem planos. São elas:

- TRCs planos
- Descarga eletroluminescente em plasma gasoso
- Cristais líquidos convencionais e biestáveis
- Fluorescência no vácuo
- Mostradores eletroluminescentes

Cada uma dessas tecnologias possui suas próprias características. Todavia, apenas as de cristal líquido apresentam mudanças significativas em termos de preço e potência consumida. A tecnologia de cristal líquido biesável estende o desempenho da convencional, no sentido de possibilitar maior número de linhas e melhorar a confiabilidade e aparência geral do sistema.

MIPs x TRCs — Os TRCs têm sido a tecnologia dominante para mostradores de imagens utilizando sinais de vídeo. Podem ser facilmente lidos sob condições de fraca iluminação ambiente e sua tecnologia é capaz de permitir a construção de mostradores de alta resolução com grande variedade de tamanhos e alta qualidade, monocromáticos e em cores. Essa tecnologia, resultante de uma evolução de quase meio século, apesar de permitir preços baixos, apresenta uma série de desvantagens que nos leva a considerar a utilização de mostradores planos:

Grande volume — Duas das maiores desvantagens de um TRC são seu volume e peso excessivos. Normal-

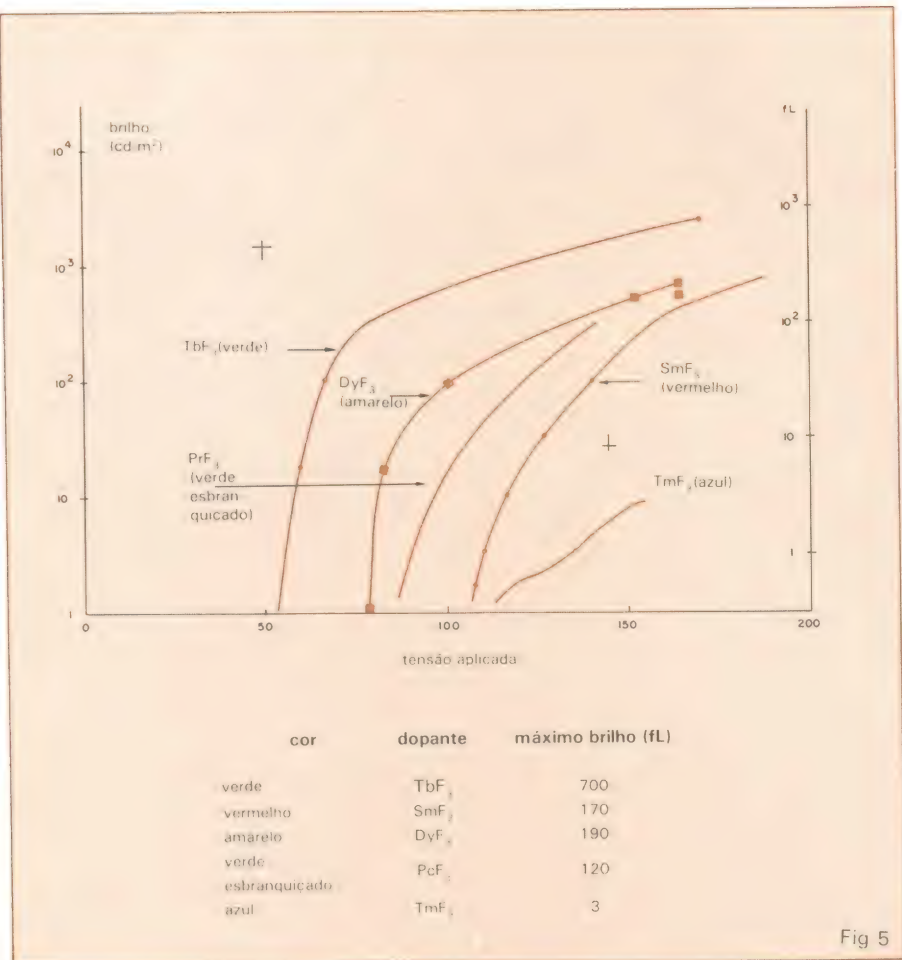


Fig 5

Método que permite obtenção de plena resposta em cor nos MIPELs.

mente um TRC requer profundidade mínima de 15 a 30 cm para manter a nitidez na periferia da tela, de acordo com a varredura feita pelo feixe eletrônico. Em contrapartida, um MIP tem uma profundidade independente da área de tela, a não ser por considerações mecânicas; assim, chega a ter 5 cm de espessura ou menos.

Na figura 1 temos, a título de ilustração, as estruturas internas típicas de um TRC e de um MIP. O TRC é normalmente mais pesado, devido à espessura e composição do vídeo. Operando com vácuo interno elevado, a envoltória de vidro deve ser resistente o suficiente para suportar a pressão atmosférica. A tela frontal também deve ser feita de vidro-chumbo de alta densidade, para absorção de radiação.

A razão de forma do TRC é elevada em relação à largura-profundidade, pois o feixe eletrônico gerado no pescoço deve ser afetado pelo sistema de deflexão e varrer a tela frontal, ativando os materiais fosforescentes e gerando um ponto de cada vez. A deflexão do feixe dever ser tal que não provoque distorção nas bordas e cantos da tela.

Os MIPs são constituídos por um

empilhamento de materiais eletroópticos colocados entre uma face frontal transparente, com eletrodos, e uma placa traseira com eletrodos ortogonais aos da placa frontal.

Uma grande diferença entre os TRC e os MIPs é a forma pela qual a imagem é formada na tela. No TRC, o feixe de elétrons varre rapidamente a face coberta de fósforo, linha após linha. A grade de controle permite atuar sobre o fluxo de corrente no feixe, controlando o ponto onde o feixe está incidindo naquele instante, tornando-o mais ou menos brilhante. O sistema de deflexão pode utilizar varreduras de linhas intercaladas ou não; ou, ainda, utilizar um sistema vetorial, onde o feixe eletrônico traça retas entre pontos definidos da tela. Em particular, o sistema de TV comum utiliza varredura intercalada de linhas, com 30 quadros/s, sendo que dois quadros formam uma figura completa, criando desse modo a sensação de continuidade e movimento.

Os MIPs realizam a escrita numa matriz de pontos discretos. Cada intersecção das trilhas de eletrodos verticais e horizontais é um pontel (= ponto na tela) da matriz imagem. O mostrador

pode ser do tipo emissor (ativo) ou do tipo que muda a luz refletida em seu fundo (passivo), quando tivermos uma tensão aplicada. Observe que cada uma das linhas e das colunas tem seu próprio circuito alimentador. Um pontel particular, para ser ativado, deve ter a linha e coluna correspondentes ativadas, sendo que os demais, nas mesmas linhas e colunas, não são ativados por receberem tensão insuficiente.

Simultaneamente, todas as linhas verticais recebem tensões correspondentes à ativação, enquanto que as linhas horizontais são ativadas uma de cada vez, uma após a outra. Deste modo, nos MIPs temos normalmente uma linha ativada de cada vez, enquanto que num TRC a ativação é feita ponto a ponto.

Operacionalidade — Outro fator de grande importância que caracteriza a diferença entre TRCs e MIPs é a fonte de alimentação. Enquanto o feixe eletrônico e seu sistema de deflexão exigem fontes com tensões elevadas, entre 10 mil e 30 mil volts, os MIPs requerem, no endereçamento de suas linhas e colunas, tensões entre alguns volts e uma centena de volts. A tensão reduzida (e, em algumas tecnologias, a potência reduzida) permite que os MIPs operem com fontes de tensão menores ou mesmo com baterias. A eliminação da alta tensão permite a operação com maior confiabilidade, eliminando também interferências eletromagnéticas e de radiofrequência, além de melhorar em termos gerais a segurança de operação.

Ergonomia — As considerações de ordem ergonômica são, sem dúvida, o terceiro fator em ordem de importância na substituição dos TRCs pelos MIPs. Em termos mundiais, estima-se que nos próximos 10 anos cerca de 50 milhões de pessoas estarão trabalhando diante de terminais alfanuméricos e gráficos. Efeitos da exposição a estes terminais, a longo e curto prazo, têm sido tema de numerosos estudos e debates, principalmente no que se refere à saúde. Operadores de terminais tiveram seu comportamento estudado, principalmente no que se refere ao seu estado de saúde temporário — analisando-se a freqüência de fenômenos como dores de cabeça, fadiga, visão deteriorada e ansiedade. Verificou-se que estes eram significativamente mais freqüentes nos operadores de TRCs, quando comparados às demais pessoas (figura 2).

Outro estudo indica que, após operar com TRCs de tela verde ou âmbar, observa-se normalmente um efeito de persistência ótica, onde as letras durante algum tempo ficam tremulando diante

dos olhos do usuário.

Com vista aos efeitos a longo prazo, o Conselho Nacional de Pesquisas americano concluiu que "não há evidência científicamente válida de que o uso ocupacional de TRCs está associado ao aumento de moléstias nos olhos ou anormalidades como cataratas". Esse estudo conclui também que a radiação do TRC está muito abaixo dos níveis admitidos nos EUA para a exposição ocupacional à radiação. Outros estudos, analisando a vinculação entre a exposição aos TRCs e anormalidades observadas em nascimentos, não chegaram a resultados conclusivos, embora sejam recomendados novos estudos.

Breve descrição das tecnologias MIPs — Ao longo deste trabalho foram citadas de passagem várias das tecnologias empregadas em Mostradores de Imagem Planos. Vamos agora examinar de forma mais sistemática essas tecnologias, estudando-as com algum detalhe.

TRCs planos — Nos TRCs planos o feixe de elétrons é inicialmente gerado e projetado paralelamente à tela, devendo ser deflexionado de 90° para que possa atingir o fósforo da tela. Na figura 3 temos esboçado a estrutura interna básica de um TRC plano. Pode-se notar um canhão eletrônico semelhante ao convencional, que gera um feixe eletrônico.

Esse feixe é deflexionado para a varredura horizontal e vertical por placas de deflexão eletrostática e pelo uso de bobinas opcionais. A seguir, este feixe sofre uma deflexão de 90°, sob o efeito de campos produzidos por eletrodos transparentes, que também servem para a localização. Uma vez deflexionado, o feixe incide sobre uma superfície coberta de fósforo que irradia luz. Um conjunto de lentes de Fresnel permite que se veja a imagem através da superfície oposta à que contém fósforo.

A Sony introduziu seu TRC plano numa TV branco e preto portátil contendo uma tela de 5 cm na diagonal e que já está sendo comercializada. A Sinclair está lançando um tubo de 10 x 5 cm para TV portáteis branco e preto. A Philips e a Sony planejam lançar, ainda em 1985, TRCs planos maiores incorporados a seus produtos.

O TRC plano tem praticamente todas as vantagens do TRC convencional. Seu uso em terminais, porém, apresenta quase todas as limitações já discutidas,

acrescidas do fato de que atualmente só é disponível em pequenas dimensões.

Mostradores eletroluminescentes — Após longo período em estado de pesquisa e serem aplicados na construção de painéis planos de grandes dimensões para fins militares, os MIPs eletroluminescentes (a que chamamos de MIPELs) começam a ser produzidos em massa. Apesar dos MIPELs terem a fama de ser dispositivos perpetuamente em pesquisa, os centros militares americanos investiram pesadamente nesses dispositivos nos últimos 10 anos, viabilizando sua aplicação comercial.

Os MIPELs podem ser considerados o equivalente em estado sólido dos MIPs de plasma, devendo ambos tornarem-se, até o final da presente década, uma excelente alternativa para os TRCs. Todavia, o preço dos MIPELs não deverá cair tão rapidamente como se tinha inicialmente previsto.

Consideremos agora a tecnologia associada aos MIPELs. O mostrador eletroluminescente é construído com a deposição de camadas de filmes sobre uma placa de vidro, que constitui a parte frontal do mostrador. A camada eletroluminescente é colocada entre duas camadas isoladoras externas, como mostra a figura 4.

Para a operação do dispositivo, deve-se aplicar uma tensão de polarização de 200 V, aproximadamente. Quando uma tensão adicional de 30 V é aplicada aos materiais eletroluminescentes, irradia-se uma luz amarelo-alaranjada. O tempo de queda e o tempo de resposta tornam possíveis imagens de excelente qualidade, numa razão próxima à de vídeo.

No estágio atual de desenvolvimento, todos os problemas associados com filmes finos eletroluminescentes CA (em inglês, ACTFEL) foram ou estão em vias de serem resolvidos. A introdução, pela Supertex, de alimentadores MOS monolíticos de linhas e colunas superou as dificuldades de criar alimentadores de alta tensão para endereçamento nos MIPELs presentes e futuros. As estruturas construídas com tecnologia DMOS operam inherentemente com várias centenas de volts, tensão mais do que suficiente para os MIPELs; além disso, os circuitos DMOS permitem graduar melhor todas as escalas de cinza. Como exemplo de produto comercial, podemos citar o MIPEL da

Sharp Corporation, que é usado no computador Grid Compass, com produção em pequeno volume. Tal mostrador tem 24 linhas de 53 caracteres, sendo fornecido ao produtor por 700 dólares.

Na área de pesquisa e desenvolvimento, existem ainda esforços significativos para ampliar a eficácia dos fósforos existentes, pela adição de coativadores e utilização de melhores dielétricos e refletores. Existem também muitos trabalhos em andamento, para a obtenção de resposta políchromática e cores completas, através da utilização de mostradores sintonizados em tensão. Deste modo, os MIPELs que fornecem cor, brilho e contraste com menor tensão de alimentação — cerca da metade dos valores atuais — em breve estarão na ordem do dia, talvez dispondo até de alimentadores com transistores em filmes finos. Na figura 5 temos o rendimento de cada dopante. Os fósforos são inicialmente formados pela escolha dos dopantes de um material baseado em sulfeto de zinco, gerando a cor desejada. As células transparentes de sulfeto de zinco são empilhadas e alimentadas com um sinal de 5 kHz, de modo a se obter mistura de cores sem filtros.

Algumas variações das famílias MIPEL, tais como filme fino CC e mostradores CC e CA com pó aglomerado, poderão estar abandonadas no próximo ano. A vida muito curta dos MIPELs CA e sua resolução muito pobre, associada à operação não matriciada, limita sua aplicação à iluminação ambiente onde existe uma grande faixa de alternativas viáveis, incluindo as lâmpadas incandescentes. Os filmes finos CC mostram em termos de pesquisa uma pequena reativação, com a possibilidade de implementação de eficientes mostradores alfanuméricos de baixa tensão. Existem, ainda, porém, muitas dificuldades para a fabricação de MIPEL com filmes finos CC.

Destacamos, por fim, que existem ainda muitos problemas para a construção de MIPELs CA de grande área (1 m^2) e isto poderá afetar sua aplicação na própria área militar, onde são mais aplicados. Todavia, com a soma de esforços que vem sendo realizados, podemos esperar para breve a superação dessas dificuldades.

(No próximo número: os mostradores de plasma gasoso, fluorescentes a vácuo, de cristal líquido e eletroorgânicos.)

Análise e projeto de filtros

É importante (e interessante) conhecer os processos e circuitos de seleção de freqüências. Esta série lhe dará toda a informação básica, de forma acessível

Asíntese de filtros em eletrônica, sejam eles construídos a partir de redes passivas (componentes resistivos, indutivos e capacitivos), ativas (utilizando amplificadores operacionais) ou ainda digitais (a filtragem passa a se tornar um processo numérico), é considerada uma das áreas de maior importância na Engenharia de Telecomunicações. Neste conjunto de artigos, vamos apresentar os princípios essenciais para projetos de filtros passivos e ativos, além de expor alguns tópicos relativos aos filtros digitais.

Diretrizes do trabalho — Passa-baixas, passa-altas, passa-faixa, elimina-banda, Butterworth, Chebyshev, Bessel, filtros de 1.^a e de 2.^a ordem. Estes e outros termos serão de uso comum nos textos desta série. O projeto de filtros, de uma forma geral, é dificultado principalmente devido à utilização de um ferramental matemático de razoável complexidade. Com o objetivo de contornar esse problema, procuraremos, sempre que possível, substituir os cálculos por tabelas e gráficos, suavizando as barreiras inerentes a esta ramificação da eletrônica.

Os filtros são divididos em quatro

grandes categorias: 1) passa-baixas (FPB), 2) passa-altas (FPA), 3) passa-faixa (FPF) e 4) elimina-banda (FEB). Sabemos que um sinal periódico genérico pode ser decomposto em uma série de componentes senoidais, sendo cada um deles com uma amplitude e uma freqüência definida. Um filtro é uma rede (fig. 1), cuja função reside em permitir ou não a passagem de componentes a dadas freqüências, por meio de uma significativa atenuação das parcelas indesejáveis; com isto, ele altera as características do sinal entrante original, de acordo com as necessidades.

Quanto às freqüências abrangidas (espectro), os filtros são agrupados em três famílias: a) filtros operantes na faixa de áudio; b) na faixa de radiofreqüências; c) filtros de microondas. Quanto à topologia da rede filtrante, ela é classificada em circuitos "T", circuitos "π" ou, ainda, em redes com formato de treliça. Outras formas de caracterização, também utilizadas, fundamentam-se nos tipos de componentes empregados: filtros LC (contendo indutores e capacitores) e filtros piezelétricos (portanto cristais). Se a rede for constituída por componentes ativos (dispositivos que dependem de uma fonte de tensão externa para operar), ela será denomina-

da de "filtro ativo". Em contrapartida, os filtros passivos englobam as redes puramente dissipativas, como já citamos ao inicio do texto.

A figura 2 ilustra a diferenciação das três topologias de rede: T, π e treliça. Fixemo-nos, no momento, na identificação dos filtros segundo os tipos de componentes contidos em suas redes. Desta forma, podemos elaborar uma árvore, de acordo com a representação descrita pela Tabela 1.

Funções de transferência dos filtros

— Cada aplicação requer um tipo particular de filtro. Quando desejarmos atenuar apenas as componentes de alta freqüência de um sinal, a solução mais indicada é um filtro passa-baixas (fig. 3a). Mas se, ao contrário, as freqüências baixas devem ser inibidas, recorremos a um passa-altas (fig. 3b). Nos casos em que se exige apenas componentes agrupadas dentro de certos limites de freqüências, a realização de tal tarefa fica a cargo de um filtro passa-faixa (fig. 3c). E, finalmente, quando se trata da rejeição de parcelas contidas no interior de uma região delimitada de freqüências, a função é do filtro elimina-banda (fig. 3d).

Observe em todos os gráficos desta

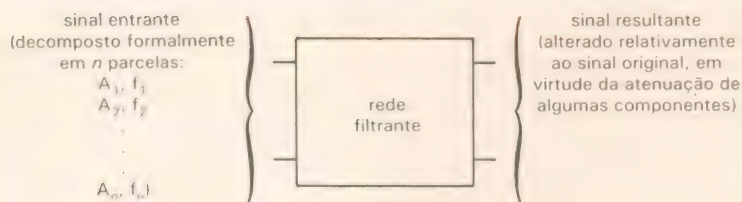
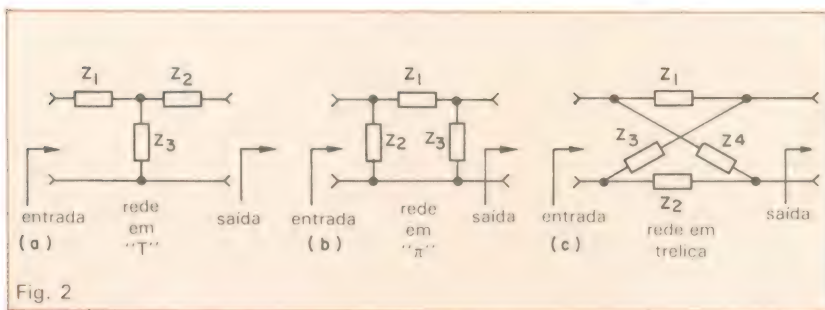


Fig. 1

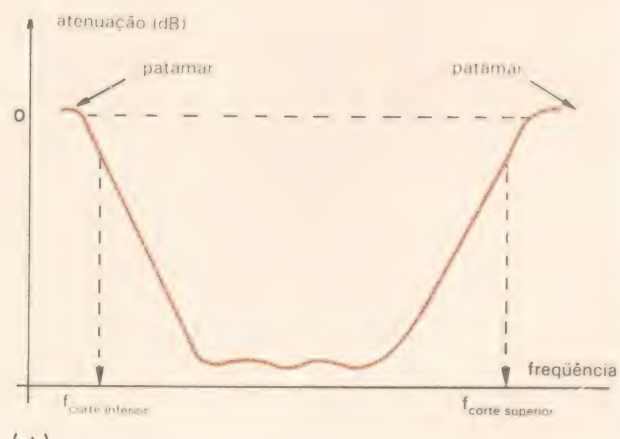
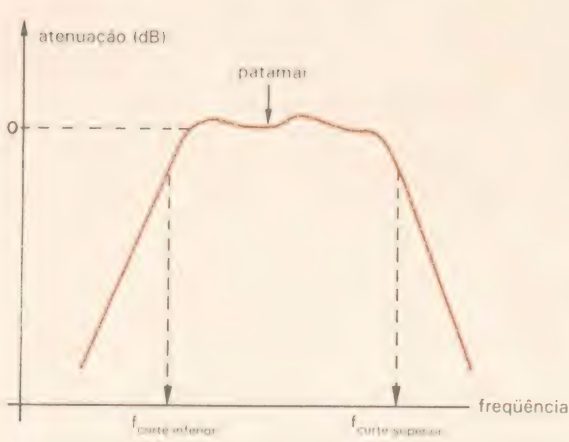
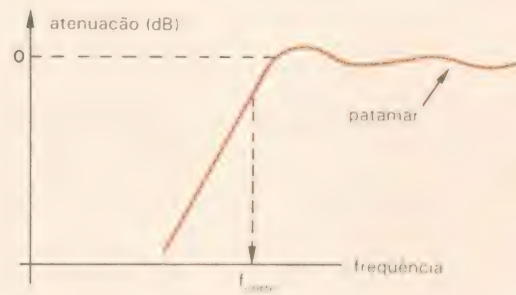
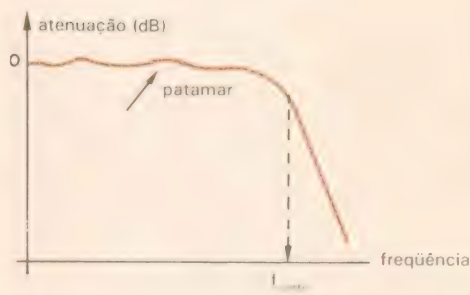
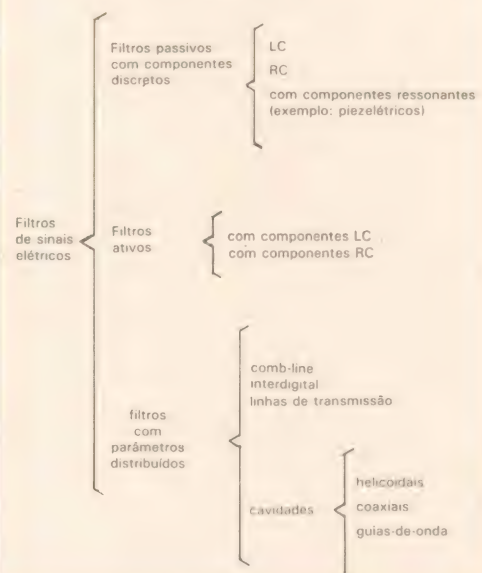
Função básica de um filtro.



Classificação de filtros segundo suas topologias.

Classificação dos filtros segundo os tipos de componentes empregados

Tabela 1



Alguns tipos de filtros: o FPB, FPA, FPF e FEB.

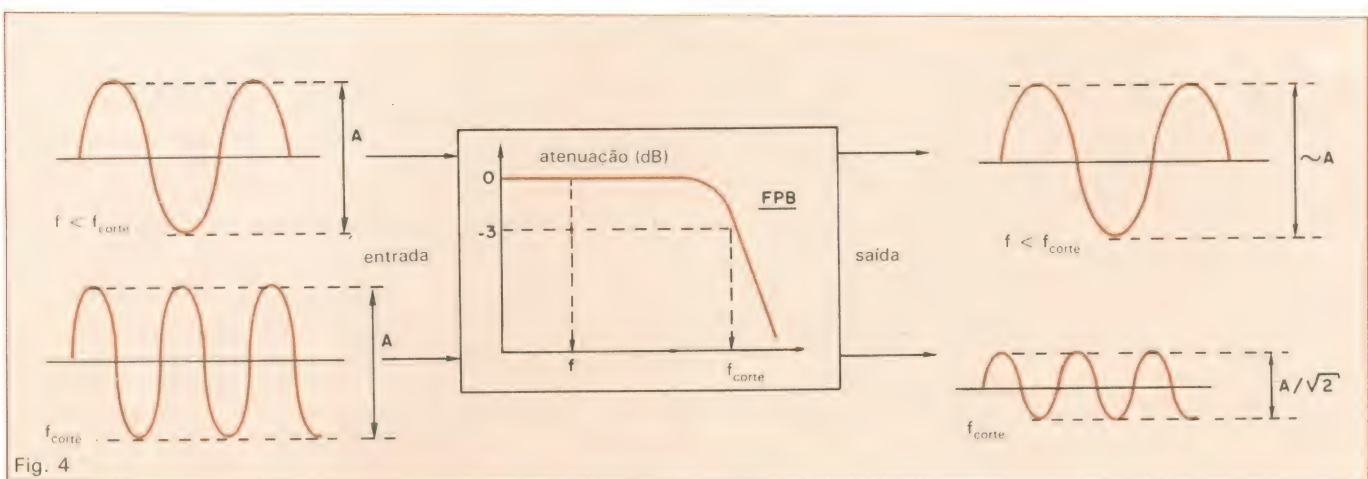


Fig. 4

Seleção das componentes de um sinal através de um FPB.

figura, a existência de uma ou mais freqüências, que são características de qualquer filtro: as freqüências de corte (f_{corte}). Esses valores são definidos como freqüências em relação às quais o ganho determinado pelo filtro decresce de 3 dB relativamente ao patamar. Isto equivale, fisicamente, à presença de uma componente senoidal à entrada do filtro, com amplitude A e freqüência f_{corte} , que é reproduzida à saída, com um nível atenuado ($A/\sqrt{2}$), devido às peculiaridades da função de transferência. Este processo está ilustrado na figura 4, através de um exemplo com um filtro passa-baixas.

Observe pelo diagrama que, em se tratando de um filtro passa-baixas, as componentes com freqüências inferiores a f_{corte} (mas não exatamente nas vizinhanças) praticamente não sofrem atenuações; enquanto isso as de freqüência superior são drasticamente bloqueadas.

Os filtros e a análise laplaciana — Na figura 5, observamos um gráfico representativo de um filtro passa-baixas, juntamente com a equação laplaciana caracterizadora deste comportamento. O pólo a da equação corresponde a ω_{corte} (onde $\omega_{corte} = 2\pi f_{corte}$). Para freqüências abaixo de f_{corte} , o ganho proporcionado pelo filtro em análise é dado por $-20 \log a$, enquanto que a declividade da função para $f > f_{corte}$ é de 20 dB/década — isso significa que a atenuação aumenta de 20 dB para uma freqüência dez vezes maior que a de referência.

Um filtro cujo comportamento gráfico é a imagem especular do caso que citamos acima está ilustrado na figu-

ra 6. Nele, a equação laplaciana contém um pólo acrescido de um zero, o que caracteriza um filtro passa-altas.

Quanto mais pólos são adicionados às funções de transferência, maior é a declividade da reta atenuadora. Pelo exame da figura 8, constatamos a existência de dois trechos distintos para um FPB: o primeiro, com uma atenuação de 20 dB/década e o segundo, com uma queda de 40 dB/década. Este é um fato típico que ocorre quando temos uma equação do segundo grau em s , no denominador da função de transferência do filtro. Analisemos a situação abaixo:

$$\text{Ganho (s)} = \frac{1}{s^2 + a_1 s + a_0}$$

A função representa — como deta-

lharemos logo mais — um filtro passa-baixas portando dois pólos, que podem ser reais ou imaginários. Na hipótese de haver pólos reais, eles são ainda classificados como distintos ou superpostos (coincidentes). A figura 7 ilustra o mapeamento dos pólos para os três casos mencionados.

Verifiquemos os gráficos resultantes de cada uma das três possibilidades referidas acima (figura 8a, b e c). Quando o denominador $s^2 + a_1 s + a_0$ gerar duas raízes reais distintas, a queda de 20 dB/década vai se iniciar no pólo (raiz) de menor valor, progredindo até o ponto onde a reta alcança o segundo pólo, quando então acarreta duplicação dessa declividade.

Note a simplificação efetuada no gráfico da figura 8a, e que vamos adotar daqui para frente em nossos estu-

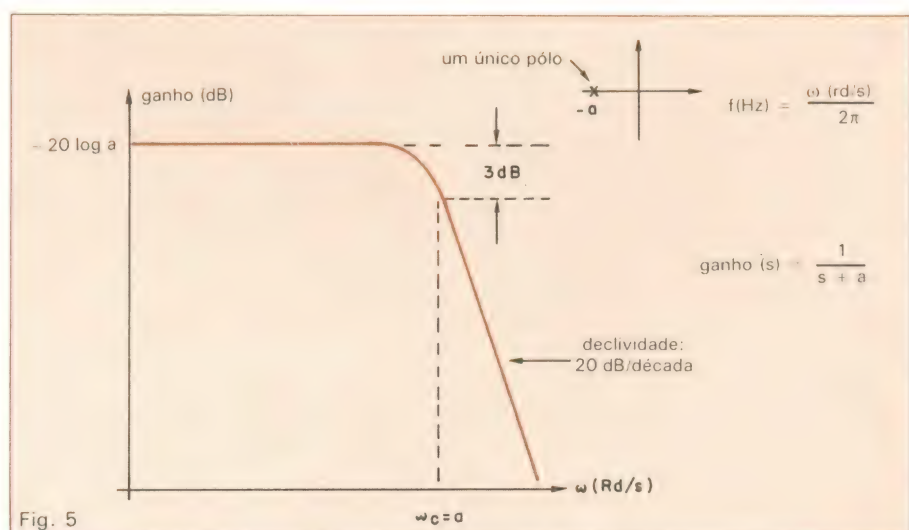


Fig. 5

Representação gráfica e função de transferência de um FPB.

dos, eliminando (para efeitos de facilidade de interpretação) a curvatura entre o patamar e a reta atenuadora.

O discriminador do denominador, na função de transferência, pode se tornar nulo, o que implicaria a duplicitade de uma mesma raiz. A declividade existente sob esta conjuntura será constante e igual a 40 dB/década, a partir de $\omega_{corte} = p_1 = p_2$.

A terceira alternativa pressupõe o surgimento de pólos complexos, devido à presença de um discriminador negativo. Para ω próximo de zero, o ganho desse filtro é determinado por $20 \log(1/b)$. Para freqüências elevadas, temos uma declividade de 40 dB/década, enquanto que nos valores intermediários a função assume formas peculiares, conforme demonstra a figura 8c.

Determinamos a freqüência do polo a partir de \sqrt{b} (ou $\omega_p = \sqrt{b}$). Por sua

vez, o parâmetro \sqrt{b}/a define a sobre-elevação da curva (o "Q" do filtro em estudo). Com isto, a equação de transferência do bloco filtrante (FPB com pólos complexos) pode ser representada, sob um outro prisma, por:

$$\text{Ganho}(s) = \frac{1}{s^2 + \frac{\omega_p}{Q}s + \omega_p^2}$$

Esta expressão equivale à que foi exposta anteriormente. Note que a sobre-elevação do gráfico para filtros com pólos complexos modifica-se segundo o aumento de "Q", como sugerem as funções traçadas na figura 9, para alguns de seus valores.

Correspondência para um filtro passa-altas — O comportamento de um FPA é extremamente similar ao caso

base já examinado. Todavia, um filtro passa-altas de segunda ordem possui dois zeros adicionais, gerados a partir do termo s^2 no numerador da seguinte função de transferência:

$$\text{Ganho}(s) = \frac{s^2}{s^2 + a_1 s + a_0}$$

As representações dos pólos e zeros dessa função, utilizando o plano complexo s (fig. 10), abrangem os três casos possíveis: pólos reais, distintos ou coincidentes, e complexos. Perceba

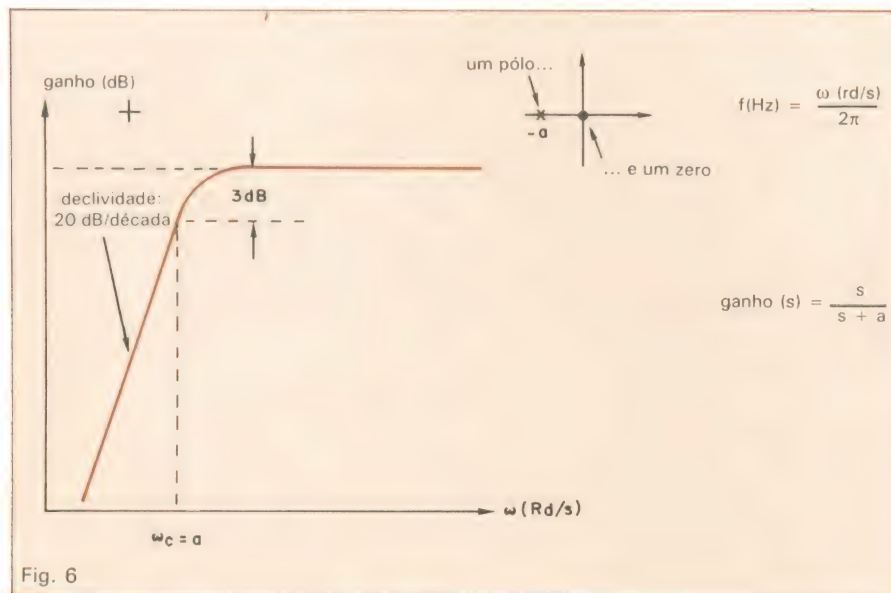
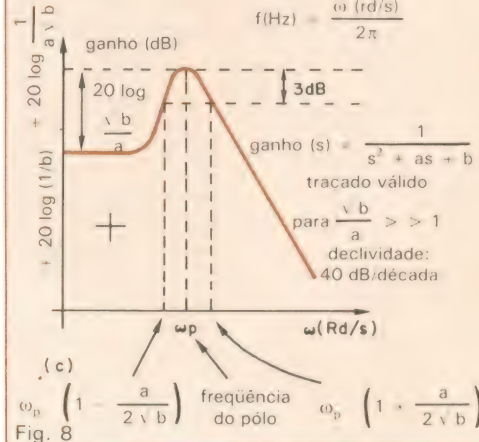
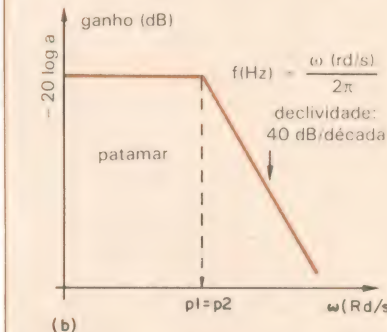
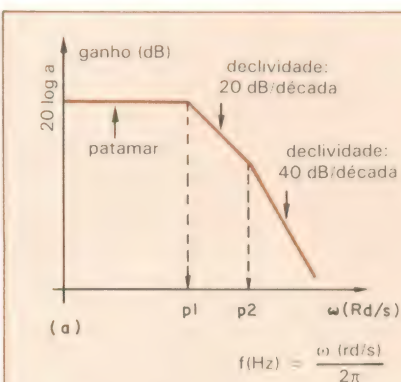


Fig. 6

Representação gráfica e função de transferência de um FPA.

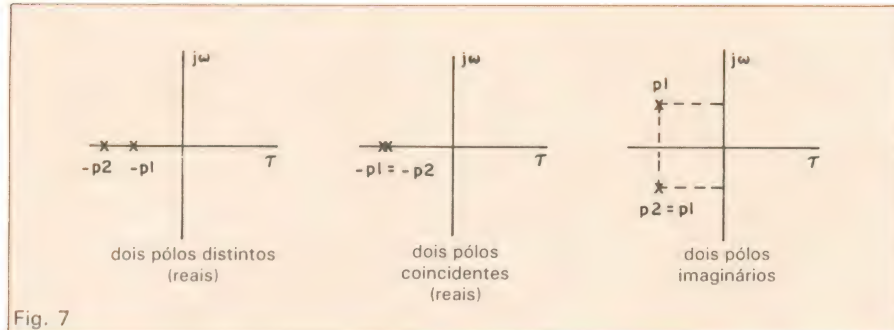


Fig. 7

Pólos mapeados no plano complexo s .

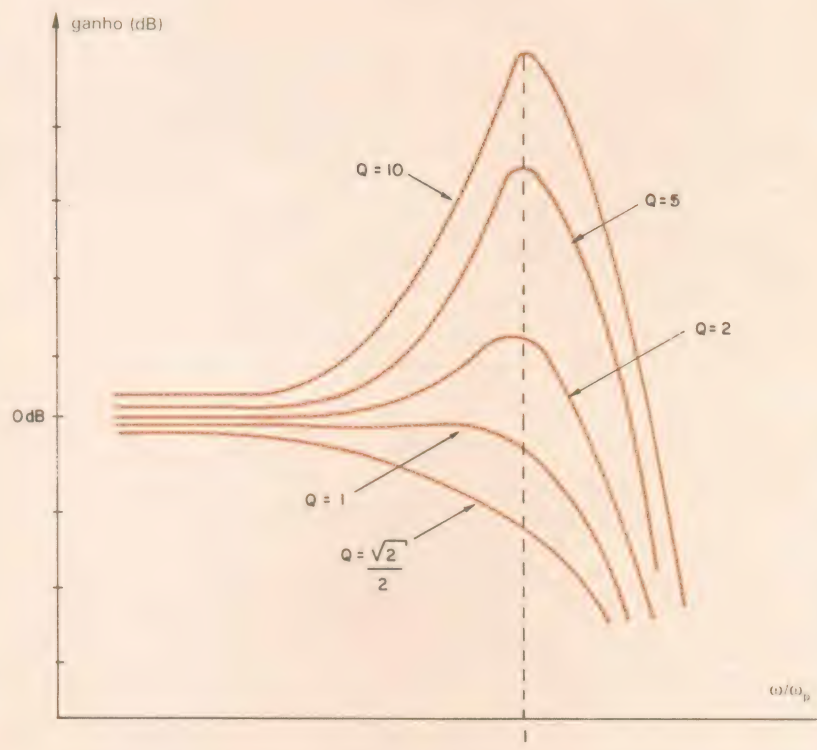
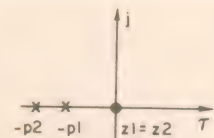
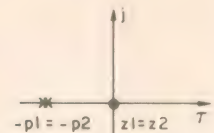


Fig. 9

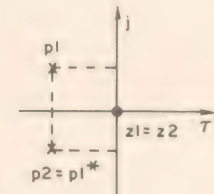
Sobrelevação relativa ao valor de "Q"



dois pólos distintos e
dois zeros coincidentes (reais)



dois pólos e dois
zeros coincidentes (reais)



dois pólos imaginários e
dois zeros reais coincidentes

Fig. 10

Pólos e zeros no plano complexo s.



COMPUTAÇÃO ELETRÔNICA !

NÃO PERCA TEMPO! SOLICITE INFORMAÇÕES AINDA HOJE!

GRÁTIS

NO MAIS COMPLETO CURSO DE ELETRÔNICA DIGITAL E MICRO-PROCESSADORES VOCÊ VAI APRENDER A MONTAR, PROGRAMAR E OPERAR UM COMPUTADOR.

MAIS DE 160 APOSTILAS LHE ENSINARÃO COMO FUNCIONAM OS REVOLUCIONÁRIOS CHIPS 8080, 8085, Z80, AS COMPACTAS "MEMÓRIAS" E COMO SÃO PROGRAMADOS OS MODERNOS COMPUTADORES.

VOCÊ RECEBERÁ KITS QUE LHE PERMITIRÃO MONTAR DIVERSOS APARELHOS CULMINANDO COM UM MODERNO MICRO-COMPUTADOR.

CURSO POR CORRESPONDÊNCIA

CEMI – CENTRO DE ESTUDOS DE MICROELETROÔNICA E INFORMÁTICA
Av. Paes de Barros, 411, cj. 26 – Fone (011) 93-0619
Caixa Postal 13.219 – CEP 01000 – São Paulo – SP

Nome

Endereço

Bairro

CEP Cidade Estado

NE-93

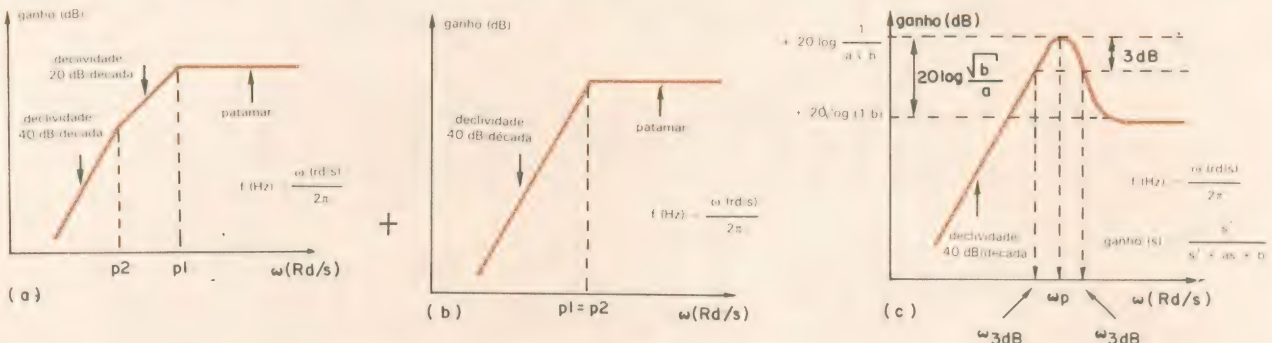
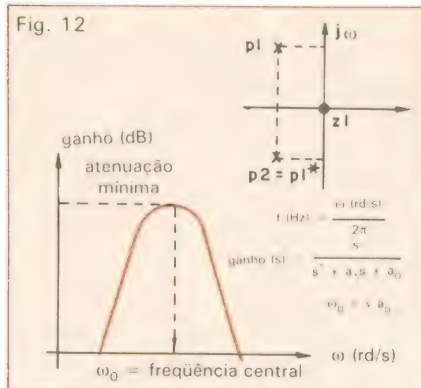


Fig. 11

Comportamento de um FPA com dois pólos reais distintos (a), dois pólos reais coincidentes (b) e dois pólos complexos (c).



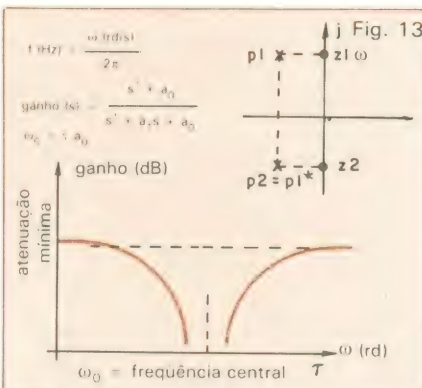
Esboço de um filtro passa-faixa (com dois pólos complexos).

que a ocorrência de um polo idêntico a um zero (para raízes reais) pode acarretar a anulação desse par, levando-nos a regredir para a situação já analisada (filtro passa-altas de primeiro grau). As figuras 11a, b e c exibem, respectivamente, as funções de transferência para filtros passa-altas com pólos reais e distintos, pólos reais coincidentes e, finalmente, para filtros com pólos complexos. Observemos, pelos diagramas, a correspondência em termos conceituais entre os parâmetros dos FPA e FPB.

Pela análise da figura 11a, vemos que no caso de um FPA é o polo de maior valor que determina a queda de 20 dB/década, até o trecho onde surge a segunda raiz ($p_2 < p_1$); é neste ponto que a declividade imposta torna-se mais acentuada.

Filtros passa-faixa e elimina-banda

Os FPB e FEB nada mais são do que simples composições dos casos já



Apresentação de um FEB (dois pólos complexos).

abordados. Um filtro passa-faixa de segunda ordem está esboçado na figura 12. Neste exemplo, verificamos a presença de dois pólos (complexos conjugados) e um único zero.

Uma rede elimina-banda é o caso dual do FPB, como indica a figura 13. Quanto ao número de pólos e zeros, a configuração do exemplo (FEB de 2ª ordem) contém um zero adicional relativamente ao FPB.

Ressalte-se aqui o fato de o par de zeros presente no FEB ser formado por valores conjugados, a saber: $j\omega_0$ e $-j\omega_0$, onde a freqüência central do filtro (ω_0) relaciona-se com o parâmetro a_0 através de $\omega_0 = \sqrt{a_0}$.

O filtro “passa-tudo” — Uma configuração muito especial, que não se enquadra rigorosamente no conceito de filtro como elemento selecionador de componentes a dadas freqüências (um filtro ideal é aquele que permite a passagem, sem atenuação, de sinais com

freqüências dentro de certas faixas, impondo uma atenuação infinita para todas as demais), é encontrada no filtro “passa-tudo” (FPT). Esta rede permite a passagem de todas as componentes, qualquer que seja a freqüência. Há, porém, uma ressalva: o dispositivo introduz desvios de fase predeterminados para certas parcelas. O FPT, em resumo, conserva o ganho e altera a fase das componentes do sinal injetado. Algumas aplicações do FPT incluem a correção de fases de sinais e o atraso das informações entrantes, sem provocar distorções de freqüência (como uma linha de retardo), entre outras.

Um contato introdutório com as principais categorias de filtros é o que acabamos de realizar em nosso primeiro texto. Na seqüência, descreveremos as etapas a serem cumpridas em um projeto de filtro, para então adentrarmos nos cálculos de redes propriamente ditos. Até breve!

Bibliografia

- Electronic Filter Design Handbook — Arthur B. Williams — McGraw-Hill — EUA.
- Handbook of Filter Synthesis — Anatol I. Zverev — John Wiley & Sons — EUA.
- Filter Theory and Design: Active and Passive — SEDRA/BRACKETT — Matrix Publishers, INC. — EUA.
- Modern Filter Theory and Design — TEMES/MITRA — John Wiley & Sons — EUA.

Um carregador automático de baterias

Engº Nelio Ormond Braga Eletrosul, SC

O projeto foi desenvolvido utilizando materiais disponíveis, de sucata, e já opera há algum tempo, satisfatoriamente. Pode ser, também, facilmente modificado, se necessário. O carregador aqui proposto tem diversas aplicações, dependendo apenas da criatividade de seu usuário. No meu caso, ele alimenta um conjunto de quatro baterias chumbo-ácidas de 12 V, usadas em um alarme residencial. Além disso, pelo fato de possuir uma saída suplementar, alimenta eventualmente a bateria de um automóvel.

Basicamente, duas partes compõem o carregador automático de baterias. Uma delas é o carregador propriamente dito e a outra, que considero o "cérebro" do circuito, é o elemento responsável pela conexão ou desconexão entre a bateria e o carregador — o detector de nível.

Circuito do carregador — Do transformador de alimentação com derivação central obtemos uma tensão retificada e filtrada, para ser aplicada a um circuito estabilizador formado por três transistores, que fornece uma corrente prefixada, independentemente da tensão de saída. Desse modo, a fonte estabilizada de corrente elimina o in-

Aproveitando apenas componentes de fácil obtenção, este carregador de corrente constante liga e desliga automaticamente a bateria, além de fornecer indicação visual dessas operações

conveniente de entregar à bateria carregada uma corrente superior à necessária — e evita-se, assim, o risco de reduzir a durabilidade da bateria.

Essa configuração apresenta ainda a vantagem de proteger o carregador contra curto-circuitos na saída, pois a fonte continuará fornecendo apenas a corrente para a qual foi ajustada. Esse ajuste é efetuado mediante a escolha do resistor de saída (no caso, de 0,5 Ω).

Sempre que a tensão nos terminais desse resistor alcançar 0,6 ou 0,7 volts, o segundo transistor 2N1711 passa a conduzir, reduzindo a tensão na base do primeiro 2N1711. Este, por sua vez, altera a polarização da base do transmissor 2N3055 e, consequentemente, a tensão e a corrente de saída.

A corrente estabilizada é aplicada à bateria através de um diodo de saída — cuja função é impedir o reto-

no da corrente da bateria para o carregador. O LED verde tem o objetivo de indicar a condição de boa carga, sendo alimentado por um contato NF do relé C, como indicado.

Detector de nível — Este circuito tem por finalidade controlar o estado de carga da bateria, evitando excesso de corrente e fornecendo-a quando for necessário. Temos aqui três estágios básicos, essenciais ao desempenho do circuito de controle: o regulador série, o detector de tensão superior e o detector de tensão inferior. Vejamos um por vez.

O circuito regulador série consiste de um diodo zener, para a tensão de referência, e um transistor 2N3055 (montado como seguidor de emissor) para reduzir a resistência de saída do regulador, além de aumentar a corrente — pois, como se sabe, esse tipo de configuração apresenta uma baixa impedância de saída e alto ganho em corrente, dois fatores necessários às redes A, B e C do circuito.

No regulador série, o transistor é um amplificador de corrente e o zener, um diodo de referência. Desse modo, as variações de tensão que porventura surgiem na saída do carregador não irão

prejudicar o desempenho dos detectores de nível.

O detector de tensão superior tem a finalidade de "perceber" o nível superior de tensão, que indica a bateria totalmente carregada. Consiste de um operacional ligado como amplificador não inversor e com a malha de realimentação aberta. O potenciômetro de 4,7 kΩ dá o ajuste fino da tensão V_A , como veremos adiante. V_A é a tensão de referência superior, ponto estipulado para ativar o operacional, caso a tensão V_R , obtida nos terminais de saída do regulador, atinja esse valor.

Quando esse ponto é atingido, o operacional aciona o transistor ligado à sua saída, iniciando o processo de desconexão da bateria. O relé A é então energizado, abrindo seu contato NF, desenergizando o relé C e apagando o LED vermelho (consideramos o relé C inicialmente ativado e o B, permanecendo desenergizado).

No instante em que o LED vermelho se apaga, o LED verde acende, pelo retorno de seu contato NF à posição original. Ele permanece aceso até que o nível de carga atinja o valor mínimo e acione o estágio detector de nível inferior.

Esse terceiro estágio do detector de nível opera de modo semelhante ao anterior, através de um operacional e um transmissor. Suas entradas são ligadas aos mesmos pontos já vistos, através de potenciômetros de 4,7 kΩ. Neste caso, a entrada não inversora recebe a referência V_B de tensão inferior, para ser comparada com o nível V_R . O operacional será ativado quando V_R for igual ou inferior a V_B .

Sempre que isso ocorre, o relé B é energizado, fechando seu contato NA e acionando o relé C. Dessa forma, a bateria voltará a ser ligada ao carregador e haverá uma nova comutação dos LEDs, como se pode observar pelo diagrama. O relé A permanece desativado e o LED vermelho fica aceso até que seja acionado o detector de tensão superior.

Ajuste — Uma vez montado o carregador, é preciso seguir este roteiro para ajustá-lo:

- conectar uma fonte fixa de 12 Vcc entre o emissor do

2N3055 do detector de nível e a massa;

— nos terminais do carregador, ligar uma fonte variável de 0 a 15 Vcc;

— com a fonte variável ajustada em 12 V, calibrar o potenciômetro inferior de 4,7 kΩ para obter uma V_B de 6 V ou pouco menos;

— com a fonte variável agora ajustada em 14 V, calibrar o potenciômetro superior de 4,7 kΩ para obter uma V_B de 7 V;

— aplicar a fonte fixa de 12 Vcc aos terminais do terceiro potenciômetro de 4,7 kΩ e ajustar V_R para 6 V.

Caso não haja disponibilidade de uma fonte variável, basta conectar uma bateria aos terminais do carregador, com este ligado à rede. Aplicando um voltímetro à bateria, verifica-se, então, quando sua tensão chega a 14 V; em seguida, mede-se a tensão V_R e ajustase o potenciômetro para 7 V.

Numa segunda etapa, descarrega-se a bateria por meio de uma lâmpada, até que sua tensão chegue a 12 V ou pouco menos. Mede-se então a tensão V_B e ajusta-se o potenciômetro em 6 V ou pouco menos. Por fim, com a bateria indicando exatamente 12 V, ajusta-se

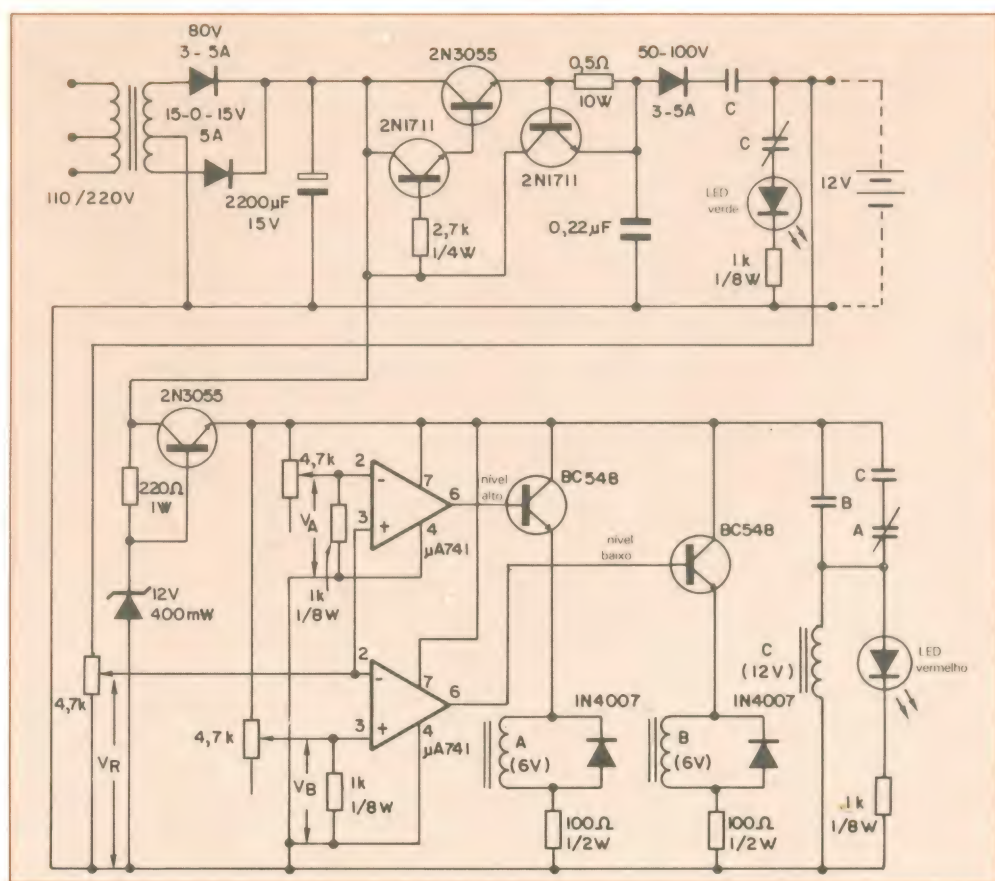
o último potenciômetro para uma tensão V_R de 6 V. Tudo isso deve ser feito com a bateria ligada ao carregador.

Para o ajuste da corrente de carga da bateria, o resistor de saída pode ser dimensionado pela fórmula:

$$R = 0,6/I$$

onde I é a corrente desejada de carga. No caso do circuito apresentado, essa corrente é de 1,2 A.

Atenção: Toda idéia publicada nessa seção dá direito a uma assinatura, por um ano, da Nova Eletrônica. Se você já for assinante, a publicação vai lhe garantir a renovação por mais um ano. Envie seu circuito acompanhado por um texto de duas páginas, no máximo; em cada edição divulgaremos uma entre as várias idéias que recebermos.



Como fazer medições em canais de PCM

Uma análise sobre a medição dos sinais e dos ruídos num sistema de transmissão com 30 canais de voz, multiplexados em PCM

A transmissão de diversos canais de voz num sistema de modulação codificada em pulso (PCM) é feita por multiplexação, isto é, enviando amostras de cada sinal alternadamente, numa frequência alta, a ponto de parecer que as informações são mandadas simultaneamente. Esse processo gera distorções e sofre interferências, de modo que é necessário realizar medições para se verificar as características de qualidade da transmissão.

Na nossa análise, vamos usar um equipamento de PCM do tipo "primeira geração", com capacidade para transmitir 30 canais de voz e dois canais de sincronismo. A figura 1 contém o diagrama de blocos desse sistema.

O uso do processo de multiplexação PCM permite enviar os 30 canais de voz e dois de sincronismo através de um mesmo meio de transmissão — rádio e/ou linha física —, sem interferência entre os canais. Neste processo, cada canal de voz tem acesso ao meio de transmissão, ou seja, é amostrado, durante um pequeno intervalo de tempo.

O processo de amostragem no sistema PCM pode ser comparado à ação de uma chave rotativa, com uma posição para cada canal, girando em alta velocidade, 8 000 vezes por segundo,

ou seja, com freqüência equivalente a 8 kHz*. Isso torna possível amostrar todos os 30 canais de voz.

No terminal de recepção, localizado na estação B, o equipamento de PCM também conta com uma chave rotativa, similar, que gira na mesma velocidade (sincronizada) e obedece à mesma direção de movimento da chave da estação A. Com esse movimento, a chave varre todos os 30 canais, indo do 1 ao 30 e voltando novamente ao canal 1, ou seja, faz um giro completo e sincronizado com a chave da estação A.

Os canais de voz, antes de serem injetados no equipamento terminal de PCM, na estação A, são aplicados inicialmente a um conversor, que transforma os dois fios que vêm do telefone do assinante A em 4 fios. Dois deles ligam a saída do conversor à entrada do sistema de transmissão, ponto XA da figura 2, e os outros dois fios ligam a saída do sistema de recepção à entrada do conversor, ponto YA.

Durante as medições realizadas no canal de voz, como veremos mais adiante, o sinal de teste aplicado na estação A é injetado no ponto XA. Na estação B, o sinal injetado é retirado no ponto YB, de um segundo conversor localizado nesta estação. Os sinais de voz, ou sinais analógicos, aplicados na

entrada da estação A, são codificados inicialmente em amplitude (PAM) e, a seguir, codificados no tempo (PCM).

Os sinais de voz, depois de devidamente multiplexados no tempo, são transmitidos de A para B via linha física e/ou rádio, como mostra a figura 1. Na estação B, do lado da recepção, os sinais de voz recebidos, multiplexados em PCM, são decodificados e transformados em PAM para, a seguir, serem convertidos em sinais analógicos (voz). Após terem sido amostrados adequadamente, são distribuídos aos respectivos canais e destes aos assinantes do lado B. O processo de transmissão de B para A é o mesmo, só que, neste caso, há necessidade de outro sistema operando no sentido inverso.

As medidas de nível em canal de voz, como veremos, são realizadas nos equipamentos PCM de uma maneira geral, principalmente nas fases de teste na produção, teste de aceitação em campo, instalação e manutenção. Todos os testes baseiam-se no conjunto do medidor de nível de voz W & G PCM-1, formado por um gerador de nível PCMG-1 (fig. 3) e por um medidor de nível de voz PCME-1 (fig. 4). Mas, por outro lado, pode-se usar qualquer conjunto gerador/medidor similar a este, mesmo que seja de outro fabricante, como indica a bibliografia no final deste artigo.

Funcionamento do gerador de nível PCMG-1 — O gerador de nível usado nos testes de canal de voz baseia-se no gerador da Wandel & Goltermann (W & G), modelo PMG-1, cujo diagrama de blocos é mostrado na figura 3. Ele gera dois tipos de sinais de fontes diferentes: senoidal e ruído pseudo-aleatório**.

O sinal senoidal é constituído por 14 freqüências fixas, cada uma delas com um valor diferente, posicionadas den-

* É por essa razão que, nas medições feitas nos canais de voz, não é usada freqüência submúltipla de 8 kHz. Nessas medições evita-se o uso da freqüência de 800 Hz; no lugar desta, utiliza-se 840 Hz. O objetivo é evitar ruído na freqüência de amostragem que aparece dentro do canal de voz em teste.

** Não devemos confundir o ruído pseudo-aleatório, com faixa limitada de 350 a 550 Hz, com ruído branco. O ruído branco, por definição, é capaz de ocupar um espectro contínuo infinito de freqüência, o que não ocorre com o ruído visto na saída do filtro (2) da figura 3.

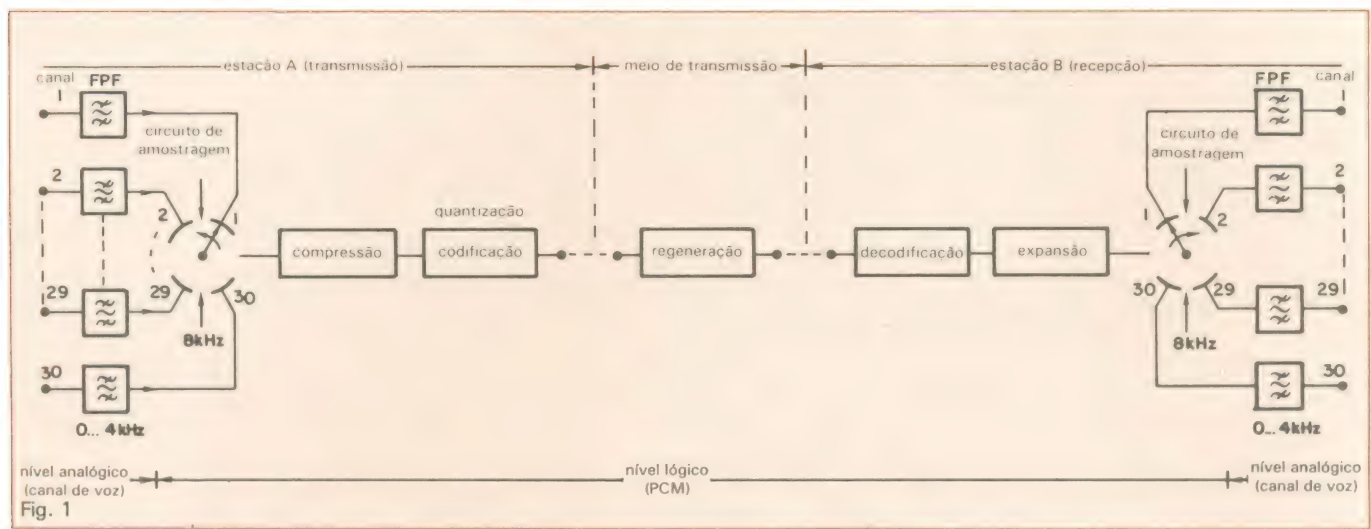


Diagrama de blocos do sistema PCM para 30 canais.

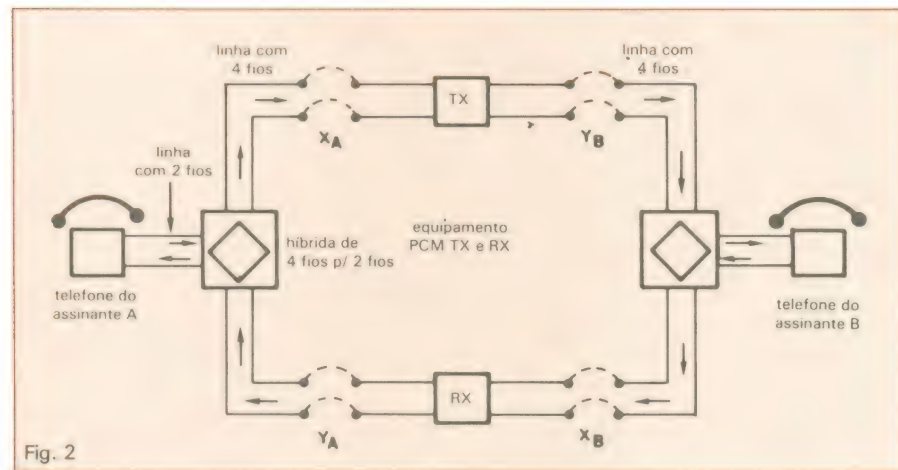


Fig. 2

Híbrida conversora de dois para quatro fios e pontos de medição.

tro da falha do canal de voz de 300 Hz a 3 400 Hz. O ruído pseudo-aleatório, ou ruído padrão, é do tipo de faixa limitada, de 350 a 550 Hz. O oscilador (1) gera um ruído contínuo, cobrindo toda a faixa do canal de voz; mas na saída do FPF (3), temos a faixa reduzida entre 350 Hz a 550 Hz. O ruído contido abaixo de 350 Hz e acima de 550 Hz é totalmente eliminado pelo filtro.

Através da chave CH1, podemos selecionar o tipo de sinal a ser aplicado no canal em teste: ruído ou onda senoidal. O sinal selecionado é amplificado inicialmente pelo AMP (4), sendo que o nível na saída do gerador pode ser ajustado variando-se a posição dos atenuadores (6) e (7). Este permite uma variação de nível de +6, 1 dBm a -56, 7 dBm, em passos de 2 dB. O sinal na saída do gerador é retirado no secun-

dário do transformador (9), com uma impedância de 600 Ω balanceada, de onde é aplicado na entrada do canal em teste como indica a figura 5.

Quando apertamos a chave de pressão CH2 GER. OFF, cortamos o sinal na saída do gerador. Este procedimento é aplicado no teste de ruído no canal vago, que analisaremos mais adiante.

Funcionamento do medidor de nível PCME — O medidor de nível usado nos testes de canal de voz tem base no W & G MODELO PCME-1. Com esse equipamento, é possível fazer todas as medições previstas na Tabela 1. O medidor PCME-1 é formado por diversos filtros, como ilustra a figura 4.

Os filtros (2) e (11) são do tipo passa-baixa, com banda passante de 0 a 4

kHz. São usados em diversas medições em banda larga. O filtro (4) é do tipo passa-faixa, ressonante em 840 Hz, e o filtro (8) tem banda passante de 700 Hz a 3 100 Hz. O filtro (12) é um passa-alta (FPA), com freqüência de corte de 550 Hz. A chave CH2, paralela ao filtro (12), está normalmente fechada, pondo o filtro em curto. Quando a chave CH1 (A e B) é colocada na posição 1, CH2 se abre e o filtro (12) entra em ação, rejeitando a faixa abaixo de 550 Hz. O filtro (3) é do tipo psofométrico, obedece às recomendações P-53 da CCITT (Comissão Consultiva Internacional de Telefonia e Telecomunicações) sendo usado nas medições do ruído total ponderado no canal vago.

Os atenuadores (6) e (7), com uma faixa dinâmica de +7 dBm a +9 dBm e de +4 dBm a -56 dBm, respectivamente, atenuam o nível do sinal de entrada para o valor desejado. O atenuador (10), por sua vez, tem uma faixa de atenuação de 0 dB a -40 dB, sendo usado na medição da relação sinal/ruído de quantização. O sinal na saída do canal de voz em teste (figs. 5, 10 e 15) é aplicado aos pinos A e B da entrada (1), com uma impedância de 600Ω, balanceada.

Teste de nível de canal — O ganho ou atenuação que o sinal de teste sofre entre a entrada e a saída do canal depende principalmente dos circuitos que estão colocados nas etapas de voz, como se vê nas figuras 1 e 5. Para medir a atenuação, ligamos à entrada do canal, na estação A, o gerador de nível PCMG-1; ajustamos a freqüência des-

te para 840 Hz e seu nível de saída para o valor nominal do canal, que normalmente é de 0 dBm. Na saída do canal em teste, ligamos o medidor de nível PCME-1. O valor medido deve ser o nível nominal do canal \pm 0,3 dB. Para medição do nível de canal, a chave CH1 (A e B) do PCME-1 deve ser ajustada na posição 5-MEAS. POINT LEVEL. A medida de nível deve ser executada em todos os 30 canais de voz do sistema.

Resposta em freqüência — A resposta em freqüência, também conhecida como distorção por atenuação, é definida como sendo a variação do nível na saída do canal, em relação a uma referência, em função da freqüência dentro do canal de voz. Essa variação depende, em parte, da banda passante plana e da ondulação dos filtros passa-faixa (FPF), localizados na entrada e na saída do canal de voz, como indica a figura 1.

Para levantar a resposta em freqüência no canal em teste, procede-se da seguinte maneira:

- Liga-se à entrada do canal em teste, na estação A, o gerador de nível PCMG-1, como na figura 5.
- Posiciona-se a chave CH1 do gerador em SENÓIDE e a chave CH3 em 840 Hz.
- Liga-se o medidor de nível PCME-1 à saída do canal, na estação B. Ajusta-se o nível de saída do gerador para uma leitura de 0 dBm, na escala do medidor M1 (fig. 6), e toma-se o nível de 0 dBm/840 Hz como referência.
- Através da mudança na posição da chave CH3, varia-se a freqüência do oscilador para os seguintes valores de teste: 300, 420, 600, 2 400, 2 940 e 3 400 Hz.

A máxima variação do nível na saída do canal em teste, para cada freqüência, é lida diretamente na escala do medidor M2, em dB. A variação deve ser de no máximo \pm 0,5 dB, em relação ao nível de referência de 0 dB a 840 Hz. Na figura 7 temos uma curva de tolerância, recomendada pelo CCITT, para a resposta em freqüência; nela estão especificados os limites máximos de variação, para as freqüências do canal de voz.

Linearidade (ganho \times nível) — A medida da linearidade no sistema PCM nos dá uma idéia de como o sistema responde a uma grande variação no nível de entrada, para manter o nível na saída do canal constante, em torno de um valor prefixado. A capacidade que o sistema tem de responder a grandes variações pode ser comparada à função exercida pelo CAG (Controle Automático de Ganho), presente nos receptores de AM, principalmente em

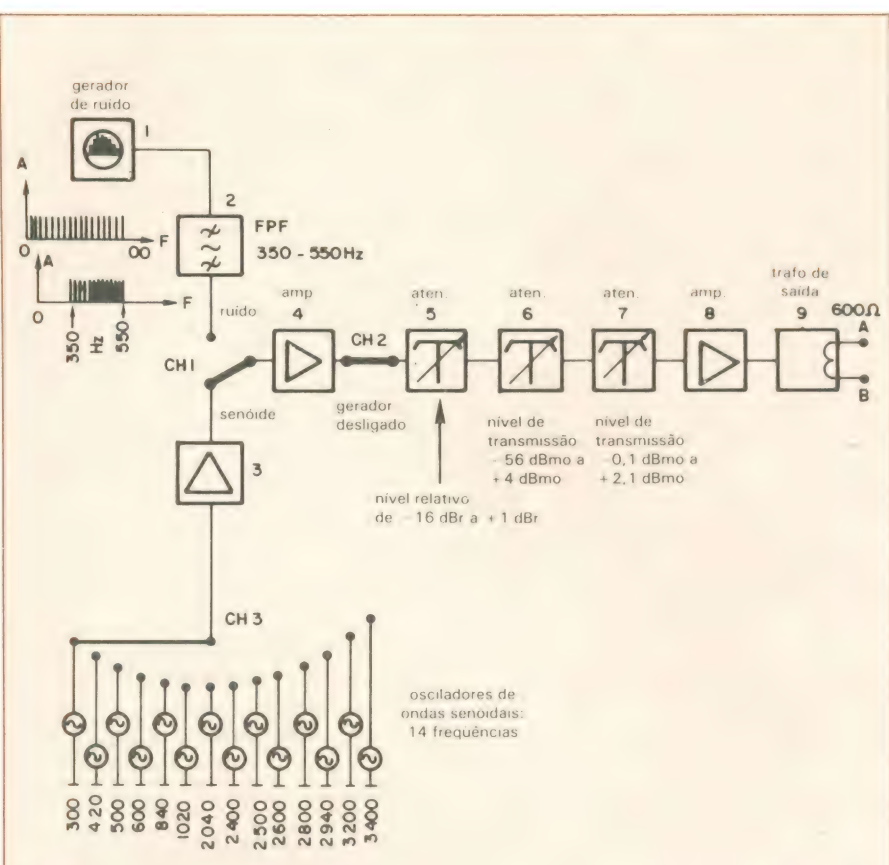


Fig. 3

Diagrama de blocos do gerador de sinais PCMG-1.

ondas médias. Devido ao processo de quantização e codificação utilizado no PCM, o sistema age de maneira a manter o nível na saída constante. Quando a amplitude do sinal aplicado à entrada varia de 3 dBm a -55 dBm, o nível na saída deve manter-se inalterado. A variação máxima na saída do canal deve encaixar-se dentro da região limitada pelas linhas fortes do gráfico da figura 8. Para medir a linearidade do canal de voz, procede-se da seguinte maneira:

- Liga-se à entrada do canal o gerador de nível PCMG-1, como na figura 5.
- Posiciona-se a chave CH1 do gerador em SENÓIDE e a chave CH3 em 840 Hz.
- Liga-se o medidor de nível PCME-1 à saída do canal, estação B, e seleciona-se a chave de função CH1 (A e B) para a posição 3. GAIN \times LEVEL.
- Ajusta-se o nível de saída do gerador para -10 dBm; nesta condição, o nível medido na saída do canal será de -10 dBm \pm 0,5 dB, o qual deve ser tomado como referência.
- Através dos atenuadores (6) e (7) do gerador, atenua-se o nível do sinal de entrada e simultaneamente aumenta-se a sensibilidade do

medidor, para os seguintes valores: +3, 0, -20, -30, -40, -50 e -55 dBm.

Para toda essa gama de variação do sinal de entrada, o nível lido na saída deve manter-se dentro da região limitada pelas curvas da figura 8.

Ruído no canal vago — O ruído que aparece no canal vago, no final do sistema, ocorre principalmente devido à decisão falsa entre os dois primeiros níveis de quantização, como ilustra a figura 9. E grande parte dele é gerada pela instabilidade do nível zero da curva de transferência do codificador/decodificador.

O ruído medido no canal vago não deve ser confundido com o ruído térmico, muito comum em outros meios de transmissão. Aqui, trata-se de flutuações do decodificador e, em parte, de ruídos espúrios da freqüência de amostragem de 8 kHz, mas de baixa amplitude. Quando colocamos a chave CH1 (A e B) na posição 6, a seção 1A da chave seleciona o filtro (3). Este apresenta uma curva ponderada psofométrica para ruído, de acordo com a recomendação CCITT-P53. No caso, o ruído medido é expresso em valor absoluto ponderado psofometricamente com relação à origem, sendo, portanto, expresso em dBmop.

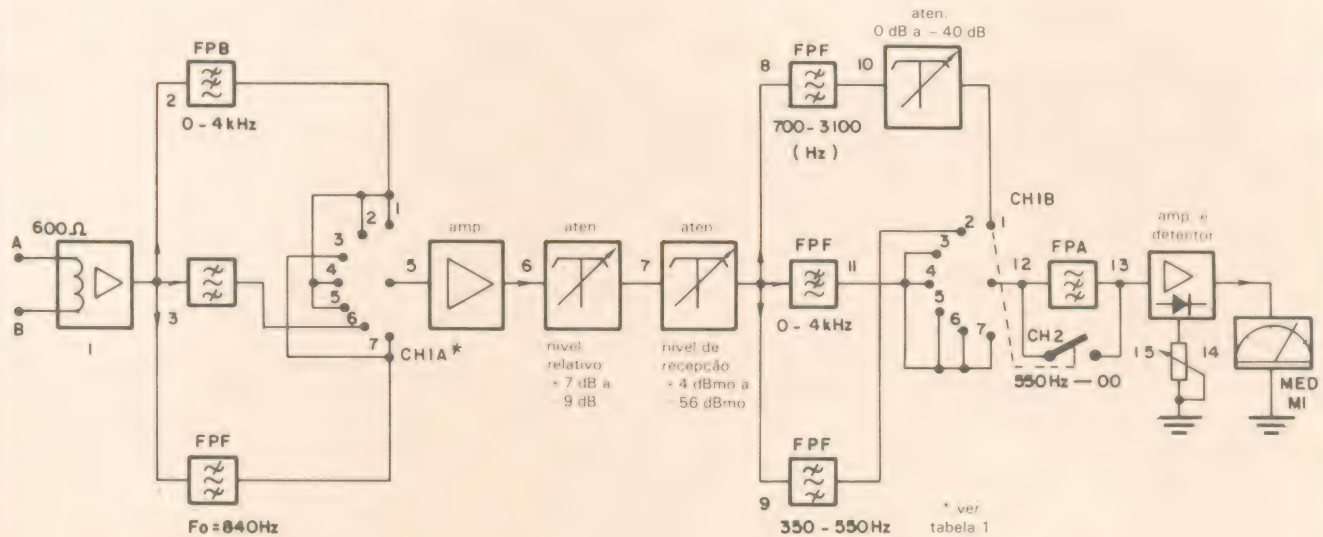


Fig. 4

Diagrama de blocos do medidor de nível PCME-1.

Resumo das características técnicas do medidor de nível PCME-1 (visto na fig. 4)

Tabela 1

Posição da chave CH1 (A e B)	Legenda da chave CH1 (A e B)		Limite máximo do valor medido (faixa dinâmica)	Faixa nominal de freqüência de operação e tom de teste
	Inglês	Português		
1 e 2	QUANT. DISTORTION	Ruído de quantização e relação sinal/ruído	0 dB a -40 dB	700 a 3 100 Hz Δ350 a 550 Hz
3	GAIN x LEVEL	Linearidade (ganho x nível)	-58,6 a +6 dBmo	840 Hz
4	ATTEN. DISTORTION	Resposta em freqüência	-58,6 a +6 dBmo	300 a 4 000 Hz
5	MEAS. POINT LEVEL	Teste de nível de canal	-58,6 a +6 dBmo	840 Hz
6	IDLECHANNEL NOISE	Ruído no canal vago	-88,6 a -24 dBmop	Filtro psofométrico P-53
7	INTER CHANNEL CROSS-TALK	Diafonia entre canais	-88,6 a -24 dBm	Ruído na faixa de 350 a 550 Hz/sinal de teste = 420 Hz

Aqui está o selo nº 2
do curso de
videocassete.



Recorte e cole este
selo no local indicado
da cartela fornecida
juntamente com o 1º
fascículo.

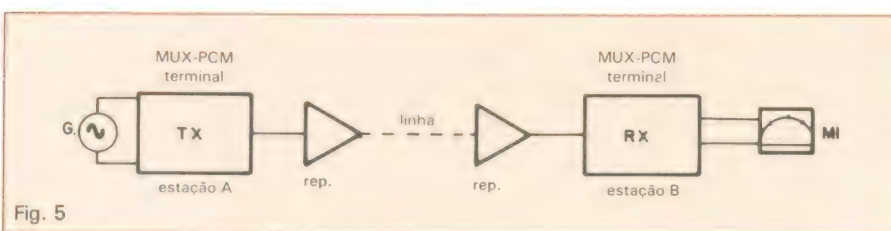
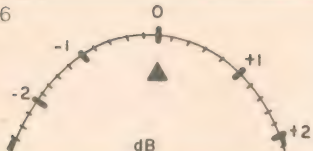


Fig. 5

Configuração básica para medições em um canal.

Fig 6



Escala expandida do medidor M1 do PCME-1.

Para medir o ruído presente no canal vago, segue-se o seguinte procedimento:

- Carrega-se a entrada do canal em teste, na estação A, com uma carga de 600Ω , como na figura 10.
- Liga-se o medidor de nível PCME-1 à saída do mesmo canal, na estação B.

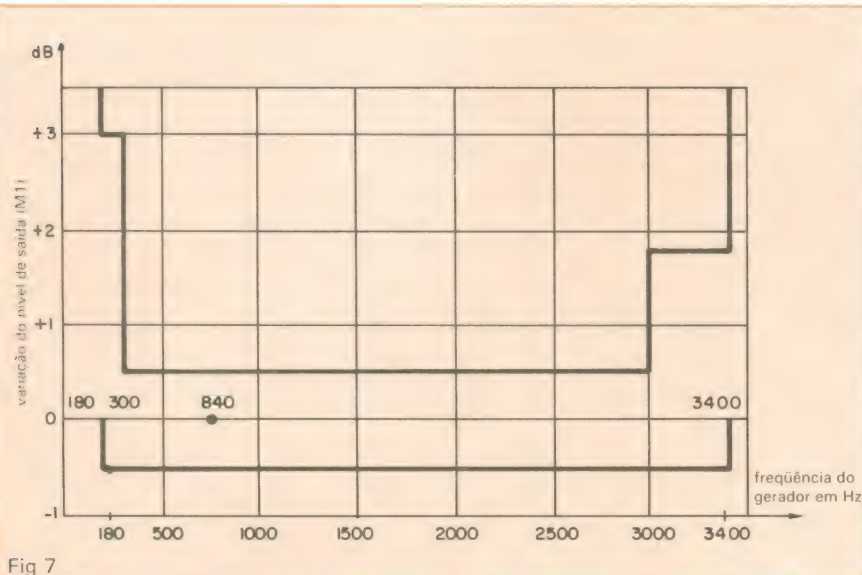


Fig 7

Curva de tolerância do canal de voz.

c) Posiciona-se a chave CH1 (A e B) do medidor de nível em 6-IDLE CHANNEL NOISE. Nesta posição, a sensibilidade do PCME-1 é aumentada internamente em -30 dB e sua faixa dinâmica passa a ser de $-88,6$ dBmop a -26 dBmop.

d) Reduz-se a atuação do atenuador (7) do PCME-1, de maneira a aumentar a sensibilidade do medidor. Com isso, poderá ler um valor dentro da área útil do mostrador de M1.

e) O valor do ruído medido no canal vago é uma soma algébrica do que é lido no atenuador (7), do valor apresentado por M1 e dos -30 dB da sensibilidade interna do medidor PCME-1.

O valor do ruído medido em qualquer canal deve ser ≤ -65 dBmop.

Relação sinal/ruído de quantização

— A distorção provocada pelo chamado ruído de quantização faz parte do próprio sistema PCM. Isto acontece em virtude da transformação dos sinais analógicos (voz) em sinais digitais (PCM). O ruído de quantização é provocado pela aproximação ou arredondamento feito durante a transformação dos sinais da forma analógica para ní-

Garanta todos os fascículos do curso de videocassete e receba-os diretamente em sua casa.

Assine Nova Eletrônica.

Utilize para isso o cupom encartado nesta edição.

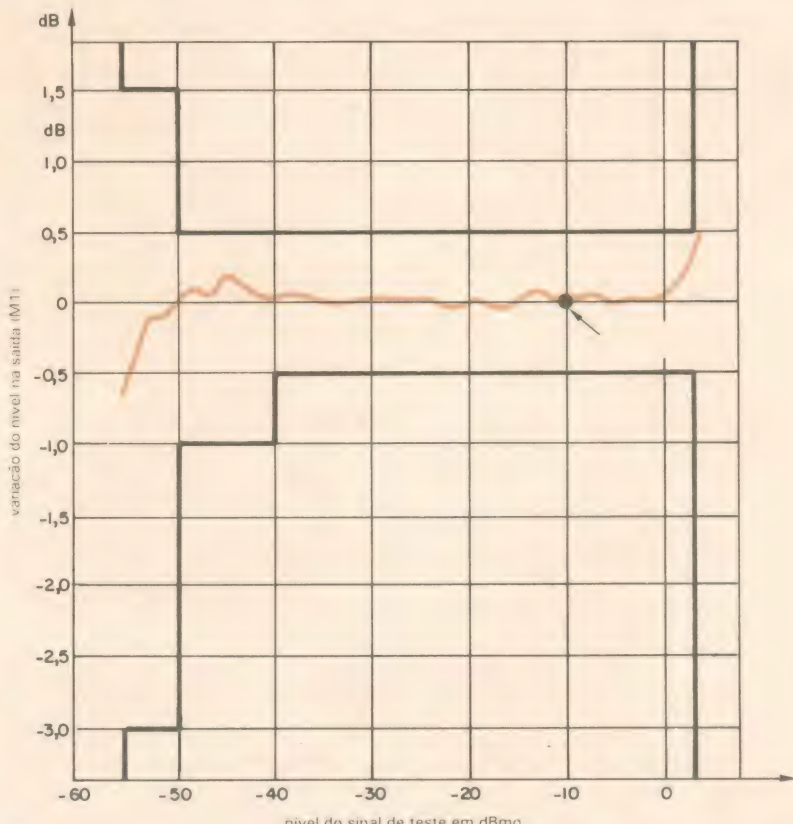


Fig 8

Curva de variação do ganho X nível.

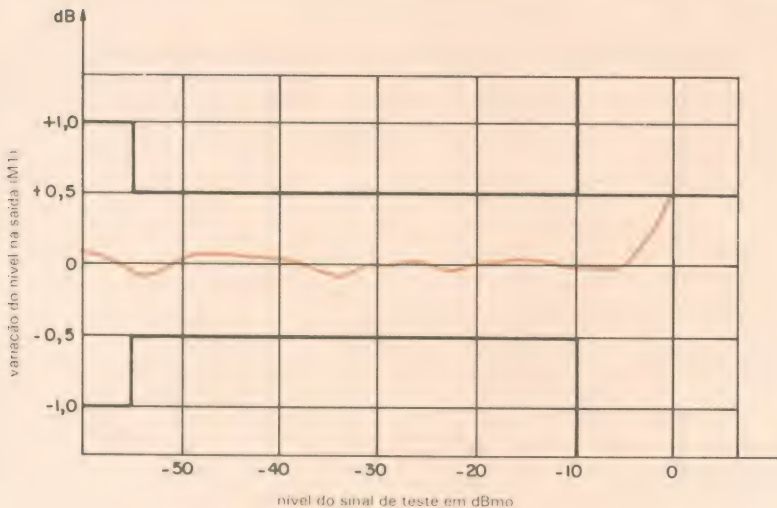


Fig 9

Curva de variação do ganho X nível, com ruído.

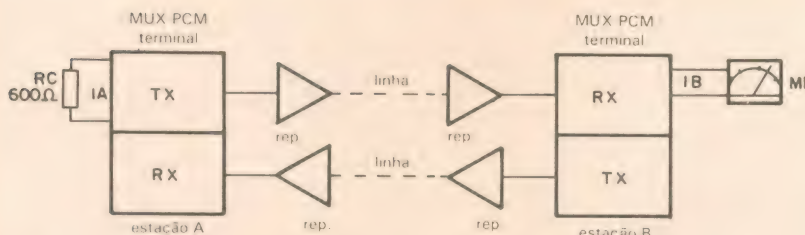


Fig 10

Configuração básica para medição do ruído no canal vago.

veis lógicos ou digitais, com valores discretos.

Por sua vez, a quantização é o processo através do qual os valores dos sinais de entrada são aproximados de níveis predeterminados. Para isso, o sinal analógico, aplicado à entrada do sistema PCM (fig. 11A), é amostrado a uma velocidade de 8 000 vezes por segundo. Tal procedimento é necessário porque seria impossível codificar um sinal senoidal em níveis digitais do tipo PAM-PCM em infinitos níveis.

Suponha, por exemplo, o sinal senoidal da figura 11-A, que é amostrado 20 vezes por segundo, com amplitude variando no tempo de + 3 V, passando por zero e indo a - 3 V. Os níveis amostrados são fixados em 7 degraus discretos, ou seja: - 3, - 2, - 1, 0, 1, 2 e 3. Na figura 11-A, como se pode ver, as amostras 3 e 7, por exemplo, que tinham um nível inicial de + 2,48 V, após terem sido arredondadas, foram fixadas em um degrau de + 2 V. O arredondamento dessas amostras provocou o surgimento de uma diferença de nível de - 0,48 V, como mostra a figura 11-A. Por sua vez, as amostras 13 e 14, também sofreram, devido ao arredonda-

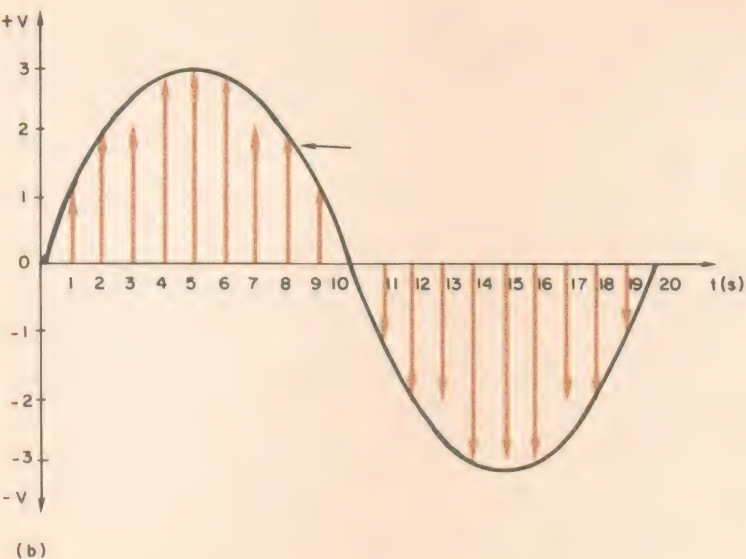
mento, uma diferença de nível de + 0,48 V. O mesmo aconteceu com as amostras 4, 6, 14 e 16, só que nestes casos o erro foi de menor amplitude.

As variações de níveis resultaram em uma forma de onda aleatória, semelhante a um ruído, representada na figura 11-B. A diferença entre o sinal antes da quantização e depois da quantização é chamada de erro ou ruído de quantização. Não devemos esquecer que o ruído de quantização só existe na presença de sinal aplicado à entrada do canal. O ruído de quantização assemelha-se mais à distorção por não-linearidade do que a um ruído térmico. Das medições abordadas neste artigo, esta é a mais importante de todas, pois a qualidade do sistema depende em grande parte do valor da relação sinal/ruído de quantização.

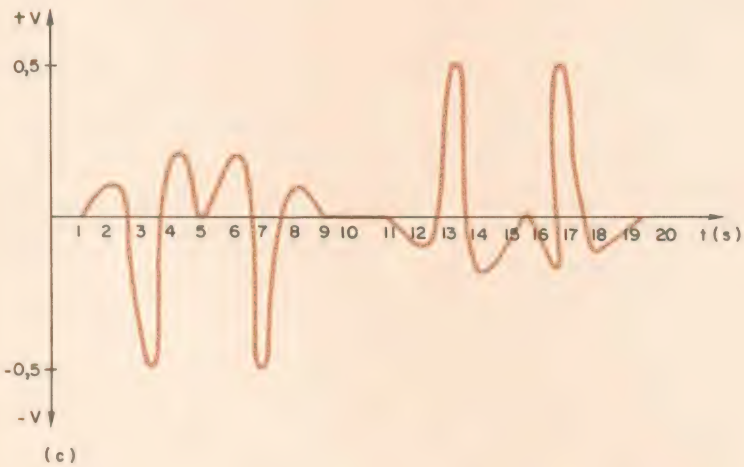
O método básico usado para medir-se o ruído de quantização e, em consequência, a relação sinal/ruído (S/Q) consiste em, primeiro, carregar-se a entrada do canal em teste com um sinal senoidal de baixa freqüência — normalmente um tom de 420 Hz ou uma fonte de ruído, do tipo pseudo-aleatório, com faixa limitada de 350 a 550 Hz.

A seguir, faz-se a referência com o sinal injetado, sinal S. Através de um filtro passa-alta rejeitamos o ruído e medimos o ruído de quantização, ruído Q na saída do canal, no restante da faixa. Para isso, procede-se da seguinte maneira:

- Liga-se à entrada do canal em teste, na estação A, o gerador de nível PCMG-1, como na figura 5.
- Para medir a relação sinal/ruído de quantização, usando como carga ruído pseudo-aleatório, ajusta-se a chave CH1 na posição ruído. Nesta condição, é injetado na entrada do canal em teste um ruído com faixa limitada, de 350 a 550 Hz, com a forma indicada na figura 12.
- Agindo sobre os atenuadores (6) e (7) do gerador, ajusta-se o nível de saída para o valor nominal aplicado à entrada do canal, que normalmente é de - 6 dBm.
- Liga-se à saída do canal em teste, na estação B, o medidor de nível PCME-1 e posiciona-se a chave CH1 (A e B) do aparelho, inicialmente, na posição 2 - Δ (delta). Nesta posição, é selecionado o FPF-9, com banda passante de 350 a 550 Hz, que é a faixa do ruído. Posiciona-se o atenuador (10) na posição de 0 dB e, através do atenuador (7) e do potenciômetro (18) Δ, ajusta-se o nível do sinal recebido para a referência, isto é, para a marca Δ, no centro da escala de M1. Com isso, o nível do sinal S está ajustado para a referência, o ponto A da figura 12.
- A seguir, comuta-se a chave CH1 da posição 2 para a posição 1 - QUANT. DISTORTION. Assim é selecionado o FPF-8, com banda passante de 700 a 3 100 Hz, rejeitando-se o ruído de teste presente na saída do sistema. A chave CH1 (A e B) na posição 1 faz a chave CH2 se abrir, pondo em operação o FPA-12, com freqüência de corte acima de 550 Hz ($F_c \geq 550$ Hz). Devido à ação dos filtros (8) e (12) o ruído de teste na faixa de 350 a 550 Hz é atenuado em 60 dB ou mais, como ilustra a figura 13. Neste caso, o nível medido corresponde ao ruído de quantização Q na faixa de 700 a 3 100 Hz, ou seja, só o ruído presente no resto da faixa, na saída do canal de voz.
- Após a chave CH1 ser comutada da posição 2 para 1, o ponteiro do medidor M1 cai para o extremo esquerdo da escala. Para fazer com que o ponteiro volte à referência Δ, reduz-se a ação do atenuador (10) até que o ponteiro volte novamente sobre a marca Δ ou bem próximo desta.



(b)



(c)

Fig 11

Curvas relativas à relação sinal/ruído de quantização:

- (a) sinal senoidal, analógico, antes da quantização
 (b) sinal analógico após a quantização
 (c) diferença de níveis (a e b) = ruído de quantização

g) O valor da relação sinal/ruído será a soma algébrica dos valores lidos no atenuador (10) e no medidor M1. Ao valor medido deve-se somar ainda 1,1 dB, devido à redução da faixa de 300 a 3 400 Hz para 700 a 3 100 Hz.

h) Varia-se o nível do sinal de entrada para os seguintes valores: -3, -6, -27, -34, -40, -50 e -55 dBm. Para cada nível ajustado, repete-se os itens "a" a "f". A relação sinal/ruído, para uma variação de nível de entrada entre -27 dBm e -6 dBm, deve ser igual ou maior que 33,9 dB, ou seja, $S/R \geq 33,9$ dB. Para qualquer valor de nível entre -55 dBm e -3 dBm, a relação sinal/ruído deve cair fora da área limitada pela curva da figura 14.

i) Posiciona-se a chave CH1 do gerador PCMG-1 em SENÓIDE e CH3 em 420 Hz e repete-se os itens "a" a "g", para um sinal de teste se-
noidal com freqüência de 420 Hz.

Diáfonia entre canais — Quando diversos canais de voz são multiplexados através de um meio de transmissão, há acoplamento, tanto indutivo como capacitivo, entre os canais que estão sendo transmitidos na mesma direção e na direção oposta. Devido a esse acoplamento, a tendência é de haver "vazamento" da mensagem transmitida de um canal para o outro. A interferência entre as mensagens transmitidas em canais diferentes pode ocorrer tanto na estação A como na estação B, mas sempre com maior incidência em nível de canal de voz. Dependendo do grau de acoplamento entre os canais, o nível de sinal induzido de um canal no outro pode ser tão alto ao ponto de prejudicar a qualidade do sistema em operação, além da quebra de sigilo. Para determinar o nível induzido de um canal nos demais canais adjacentes são usados dois procedimentos:

Diáfonia inteligível (paradiáfonia)

a) Liga-se à entrada do canal em teste, na estação A, um gerador de nível PCMG-1, como indica a figura 15. Ajusta-se a freqüência do gerador para 840 Hz e o nível de saída para o valor nominal aplicada à entrada do canal, 0 dBm. O canal em teste pode ser qualquer canal N; no nosso exemplo, alimentamos o canal 1, portanto N = 1, também conhecido como canal perturbador.

b) Carrega-se, na estação B, a saída do canal alimentado. No exemplo, o canal 1 é carregado com uma carga resistiva de 600Ω. Também na estação B, carrega-se o canal 2 com uma carga de 600Ω. O ca-

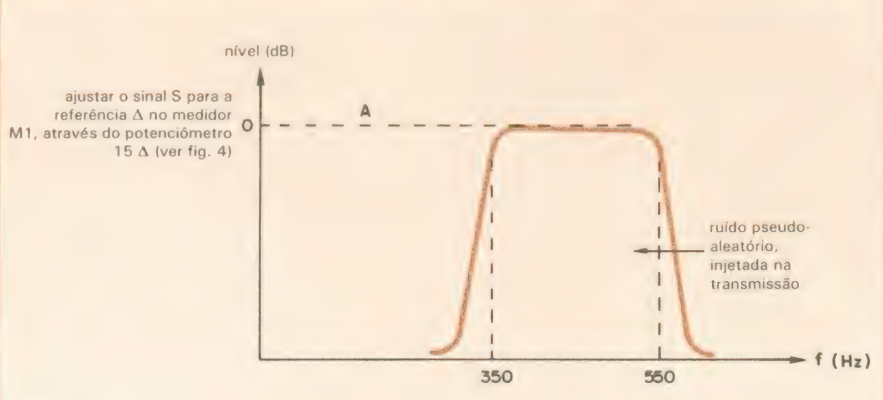


Fig 12

Curva do ruído com faixa limitada, injetado para teste.

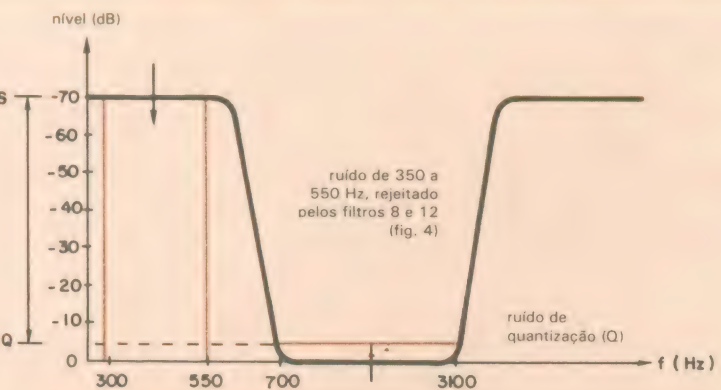


Fig 13

Com o ruído de 350 a 550 Hz atenuado em 60 dB, o nível medido corresponde ao ruído de quantização.

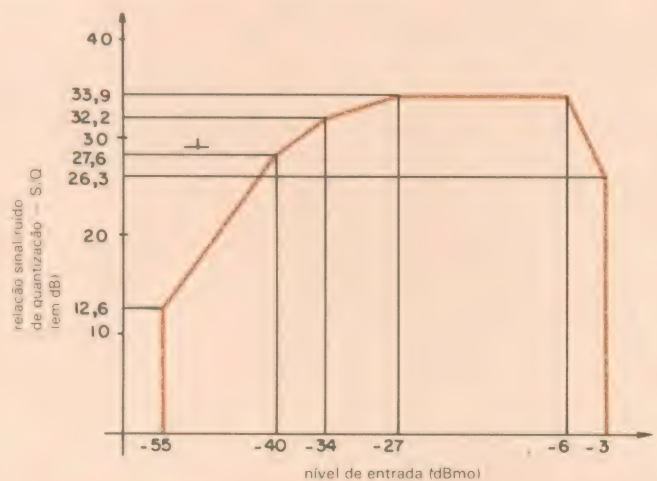


Fig 14

Curva da distorção de quantização em relação ao nível de entrada.

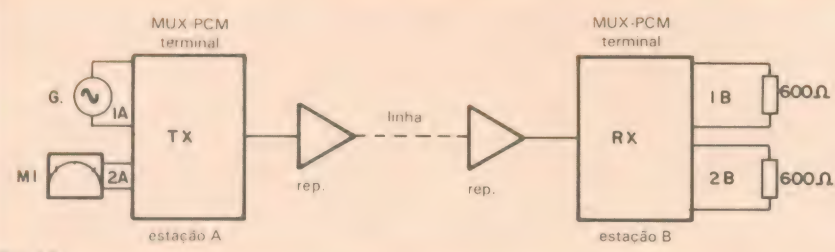
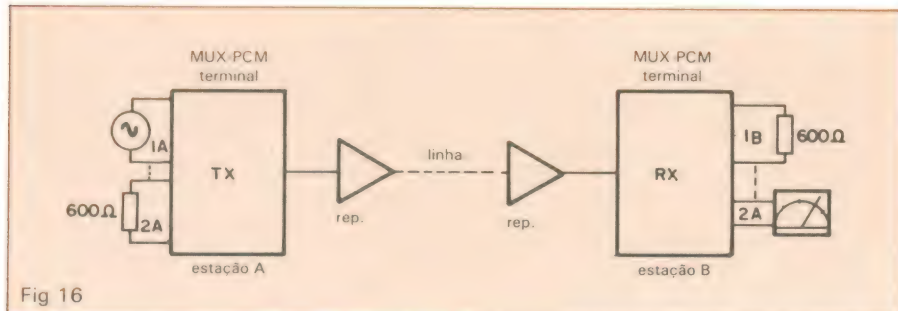


Fig 15

Configuração para medir-se a paradiafonia.



Configuração para medir-se a telediafonia.

nal 2, adjacente ao canal alimentado ($N + 1$), também é conhecido como canal perturbado.

c) Liga-se à entrada do canal 2, na estação A, um medidor de nível PCME-1 (fig. 15). Coloca-se a chave de função CH1 (A e B) do medidor na posição 7-INTERCHANNEL CROSSTALK. Desse modo, é selecionado o FPF-4, ressonante em 840 Hz. Portanto, o nível de diafonia é medido seletivamente na frequência de 840 Hz. Não devemos esquecer que nesta posição a sensibilidade do medidor é aumentada em -30 dB, passando sua faixa dinâmica para -24 dBm0 a -88,6 dBm0.

d) Reduz-se o nível dos atenuadores (6) e (7) do medidor de nível, ligado à entrada do canal 2, até conseguir-se uma leitura dentro da área útil do mostrador M1. O nível de diafonia medido é expresso em valor absoluto (dBm0), sendo uma soma algébrica do que é lido nos atenuadores (6) e (7) e do valor apresentado no medidor M1, além dos -30 dB da sensibilidade, como vimos há pouco. O sinal interferente, medido no mesmo terminal da estação A, em qualquer outro canal adjacente deve estar 65 dBm0 abaixo em relação ao nível injetado na entrada do canal alimentado.

Diafonia inteligível (telediafonia)

a) Mantendo-se a alimentação do canal 1, carregamos o canal 2, na estação A, com 600Ω e medimos o sinal interferente neste canal, na estação B, como ilustra a figura 16. Para isso, deve-se repetir os itens "a" e "d" da seqüência anterior.

Bibliografia

Manual de Operação do Conjunto PCM1 (PCMG-1 + PCME-1) W & G. Procedimento de Teste de Manutenção de Equipamentos PCM-Telesp. Prática Telebrás, sobre Aceitação de Sistema PCM.

Roteiro de Aulas Práticas — Centro de Treinamento S/A Philips do Brasil — Div. Inbelsa.

Teoria Geral de PCM — S/A Philips do Brasil — Div. Inbelsa (diversos autores).

Nota de Aplicação de Instrumentos de Medição para Sistema PCM-ANRITSU.

Aplicação do Sistema de Transmissão PCM-NEC.

Introdução do Sistema de Transmissão PCM-NEC.

Manual de Operação do Medidor de PCM, P2010B e P2020 — Siemens.

Gaúchos debatem filiação à Labre

Filiação compulsória é um dos temas polêmicos discutidos nesta entrevista por Osmar Rosa Ferreira, diretor da Labre/RS

NE: O presidente da Labre declarou à NE (edição de setembro) que cabe às diretorias seccionais da entidade a prestação de serviços aos associados. Quais os serviços prestados por essa DS?

DS/RS: Tráfego de cartões QSL; assistência jurídica; cursos regulares de preparação para promoção e ingresso; resolução de problemas de radiointerferência; palestras sobre TVI; intermediação junto ao Dentel; plantão de serviços, via PY3AA, duas vezes por semana; processamento de dados (listagens por computador); boletim informativo mensal QTC MINUANO; QTCs falados, duas vezes por semana; biblioteca técnica; participação nos encontros de radioamadores e realização de um jantar mensal; orientação e apoio à realização anual do Rancho do Radioamador Gaúcho; realização anual do Concurso Farroupilha, promovido há 29 anos; apoio ao Morse Clube Gaúcho; acompanhamento de exames de radioamadores no interior do Estado; participação nas reuniões da Coordenadoria da Defesa Civil; promoção de encontros e seminários; apoio ao grupo VHF/UHF; participação regular nas comemorações da Semana das Comunicações e outros eventos; e contestações, através da im-

presa, de acusações contra radioamadores, inclusive no interior do Estado.

Entre nossas próximas metas, alinharam-se as seguintes: instituição do Centro de Estudos de Propagação ionosférica do Rio Grande do Sul — CEPI/RS (já em andamento); aperfeiçoamento das 60 subdiretorias; dinamização da Biblioteca; instituição do Serviço de Emergência (em conjunto com o Sistema de Defesa Civil); instituição do serviço "Pergunte à Labre", via PY3AA, para orientação dos associados, na banda dos 80 metros; elaboração de anteprojeto para a chamada "lei da antena" (já em estudos em nossa Assessoria Jurídica).

NE: Como é feita a cassação de um radioamador e como é feita a escolha de quem será cassado ou não?

DS/RS: Como se sabe, a Labre não cassa. A competência para punir radioamadores é da União que concede a permissão, regulamenta e fiscaliza o serviço, através do Minicom e do Dentel. A aplicação da pena de cassação está prevista no Artigo 52 do Decreto 74.810/74. Todo radioamador deve estar familiarizado com essa legislação que, a propósito, é matéria obrigatória nos exames de habilitação (N.R.: Veja NE n.º 92, outubro/84).

Caso a pergunta se refira à eventual cassação de um radioamador em virtude de seu desligamento da Labre, cumple esclarecer que, pelo estatuto da entidade, o presidente da liga deve comunicar o fato ao Minicom, se tratar de radioamador. Contudo, não cabe à entidade fazer julgamentos sobre as eventuais providências que serão tomadas por aquele órgão.

A propósito, na história recente da DS/RS, temos a registrar que houve poucos desligamentos de associados, na maioria dos casos a pedido dos mesmos. Em várias oportunidades os radioamadores desligados solicitaram, por iniciativa própria, o reingresso no quadro social da entidade. A readmissão dos mesmos foi aprovada, sem alarme, numa demonstração recíproca de colegismo e bom senso. No que se refere ao desligamento por falta de pagamento, a DS/RS está ultimando, pela primeira vez, a demissão de algumas centenas de associados que se encontram em atraso, há mais de 2 (dois) anos, no pagamento das mensalidades. Essa providência, porém, somente será tomada após várias tentativas de acordo individual e esgotados todos os recursos.

NE: Segundo declarações do presidente da Labre à seção Posto de Escu-

ta, da NE "s o o as seccionalis que usam os dispositivos do Artigo 67 dos estatutos sociais da entidade bem como o direito conquistado atr s do Decreto 74.810". Você, como dirigente, considera uma conquista da Labre a instituição da "filia o compuls ria"?

DS/RS: N o.

NE: Em rela o  a filia o compuls ria, o presidente da Labre manifestou uma opini o estritamente pessoal, considerando "que ela poderia at  ser dispensada". Você concorda que durante 41 anos a Labre n o necessitou de tais artif cios para manter-se, e que somente de 1975 para c a ela est  se utilizando desse "direito conquistado"? Isso seria realmente necess rio?

DS/RS: A filia o compuls ria   uma imposi o legal e n o da entidade. A pos c o da Labre/RS sobre o assunto tem sido muito clara (vide QTC MINUANO de novembro de 1983, na p gina 3) e j  foi manifestada em diversas ocasi es. Pa-

ra a DS/RS, tal obrigatoriedade traz mais preju os que benef cios. Al m do desagrado causado aos radioamadores pela imposi o da filia o, nossa entidade quer readquirir o direito (que nos compete pelo estatuto) de selecionar os seus associados, como acontece, ali s, em qualquer sociedade ou agremia o, e n o ser for cada a aceitar no seu quadro social todo e qualquer radioamador, apenas por haver sido ele aprovado pelo Dentel, em testes de conhecimento.

Por outro lado, n o acreditamos que a suspens o dessa obriga o afastaria muitos associados. Em recente pesquisa, 86,4% dos radioamadores ga chos consultados responderam que continuariam associados   Labre, caso a filia o n o fosse obrigator a. Na mesma pesquisa, a prop sito, 87,8% dos entrevistados consideraram boa a atua o da DS/RS. Assim, essa quest o somente nos preocupa no que se refere   obri gatoriedade que n o deveria existir.

NE: Qual a sua opini o sobre a proposta de transferir a Administra o

Central da Labre para uma das grandes seccionalis do sul do pa s, permanecendo em Brasilia apenas uma representa o? E em segundo lugar, o que voc  acha da id ia de se abolir a contribui o das seccionalis   Labre Central, exceto aquela destinada   IARU?

DS/RS: Expurgados eventuais interesses pessoais dos autores, a id ia apresenta fundamentos v lidos que poderiam ser estudados, sem perder de vista todas as suas implica es. No entanto, a DS/RS prefere n o tecer maiores considera es sobre essa proposi o, por dois motivos: 1) o assunto foge   nossa compet ncia, sendo nossa miss o apenas gerir uma das seccionalis da entidade; 2) estamos atualmente engajados na resolu o de outras quest es, em nossa \'rea, que julgamos priorit rias. Na conclus o dessa entrevista, queremos deixar claro que at  o momento n o temos conhecimento formal das declara es do presidente da Labre que foram citadas pelo entrevistador.

N o deixe de visitar-nos, receber "aquele atendimento" especial e comprar pelos melhores pre os: Cl's, transistores, diodos kits, instrumentos e materiais em geral.



A **Sele-Tronix** tem tamb m computadores pessoais que ajudam e divertem toda a fam lia.

- Você mesmo programa
- Pre o igual ao de um televisor

Comece hoje a falar a linguagem do amanh 

A partir de agora os computadores fazem parte de sua fam lia

Representantes da **FILCRES** no Rio

Sele-Tronix Ltda.

Rua Rep blica do L bano, 25-A — Centro
Fones: 252-2640 e 252-5334 — Rio de Janeiro

Radioamadorismo: prefixos para você se comunicar com o mundo

Com o objetivo de prestar um serviço aos seus leitores interessados em radioamadorismo, a NE publica nesta edição a lista de prefixos de países e localidades, divulgada este ano pela *American Radio Relay League — ARRL*

PREFIXOS

A2
A3
A4X
A5
A6X
A7X
A9X
AA (veja K)
AP
BV
BY
C2
C3
C5
C6
C9
CE
CE9, FB8Y, KC4, LA, LU-Z, OR4,
UA1, UK1, VK0, VP8, ZL5, ZS1, 3Y,
4K, 8J
CEOA
CEOX
CEOZ
CM, CO
CN
CP
CR9
CT
CT2
CT3
CX
D2, 3
D4
D6
DA, DF, DJ, DK, DL
DM, DT, Y2-9
DU
EA
EA6
EA8
EA9
EI
EL
EP
ET
F
FB8W

PAÍSES

Botsuana
República de Tonga
Omã
Butão
Emirados Árabes
Qatar
Barein

Paquistão
Formosa
China
República de Nauru
Andorra
Gâmbia
Bahamas
Moçambique
Chile

Antártida
Ilhas Easter
San Félix
Juan Fernandes
Cuba
Marrocos
Bolívia
Macau
Portugal
Açores
Ilha da Madeira
Uruguai
Angola
República de Cabo Verde
Comoros
República Federal Alemã
República Democrática Alemã
República das Filipinas
Espanha
Ilhas Baleares
Ilhas Canárias
Ceuta e Melilla
República da Irlanda
Libéria
Irã
Etiópia
França
Crozet

PREFIXOS

FB8X
FB8Y (veja CE9)
FB8Z
FC
FG
FS
FH
FK
FM
FO
FP
FR

FW
FY
G
GD
GI
GJ, GC
GM
GU, GC
GW
H4, VR4
HA
HB
HB0
HC
HC8
HH
HI
HK
HK0

HL, HM
HP
HR
HS
HV
HZ, 7Z
I, IT
IS
J2, FL8
J3, VP2G

PAÍSES

Ilha de Kerguelen
Amsterdã e Ilha St. Paul
Córsega
Guadalupe
Saint Martin
Mayotte
Nova Caledônia
Martinica
Ilha Clipperton
Polinésia Francesa
Saint Pierre e Miquelon
Ilha Glorioso
Juan de Nova Europa
Ilha Reunião
Tromelin
Wallis e Ilha Futuna
Guiana Francesa
Inglaterra
Ilha de Man
Irlanda do Norte
Jersey
Escócia
Guernsey
País de Gales
Ilha de Salomão
Hungria
Suíça
Liechtenstein
Equador
Ilhas Galápagos
Haiti
República Dominicana
Colômbia
Bajo Nuevo
Ilha Malpelo
San Andres e Providencia
Coréia
Panamá
Honduras
Tailândia
Vaticano
Arábia Saudita
Itália
Sardenha
Djibut
Granada

PREFIXOS

J5, CR3
J6, VP2L
J7, VP2D
JA-JN, KA
JD, KA18

JT
JW
JX
JY
K, W, N, A
KB, KH1
KC4 (veja CE9)
KC4, KP1
KC6
KG4
KG6, KH2
KG6R, S, T, KH0
KH6
KH7
KJ, KH3
KL7
KM, KH4
KP4

KP6, KH5K

KS4, KP3, HK0

KS6, KH8
KV, KP2
KW, KH9
KX
LA, LB, LF, LG, LJ
LU
LX
LZ
OA
OD
OE
OH
OH0
OJ0
OK
ON
OR4 (veja CE9)
OX, XP
OY
OZ
P2
PA, PD, PE, PI
PJ

PY
PY0

PY0
PZ
S2
S7
S9, CR5
SK, SL, SM
SP
ST
ST0
SU
SV
T2, VR8
T3, VR1

T3, VR3
TA
TF
TG

PAÍSES

Guiné Bissau
Santa Lúcia
Dominica
Japão
Minami Torishima
Ogasawara
Mongólia
Svalbard
Jan Mayen
Jordânia
Estados Unidos
Baker Howland

Ilha Navassa
Ilha Carolina Ocidental
Baía de Guantânamo
Guam
Ilhas Marianas
Ilhas do Havaí
Ilha Kure
Ilha Johnston
Alaska
Ilha Midway
Porto Rico
Ilha Desecheo
Kingman Reef
Palmyra, Ilha Jarvis
Serrana Bank e
Roncador Cay
Samoa Americana
Ilhas Virgens
Ilha Wake
Ilhas Marshall
Noruega
Argentina
Luxemburgo
Bulgária
Peru
Libano
Áustria
Finlândia
Ilhas Aland
Market
Tchecoslováquia
Bélgica

Groenlândia
Ilhas Faroë
Dinamarca
Papua Nova Guiné
Holanda
Antilhas holandesas
St. Maarten, Saba
e Saint Eustatius
Brasil
Ilha de Fernando de Noronha
e Rochedos São Pedro
e São Paulo
Ilhas Trindade e Martin Vaz
Suriname
Bangladesh
Seychelles
São Tomé e Príncipe
Suécia
Polônia
Sudão
Sudão Meridional
Egito
Grécia
Tuvalu
Cent. Kiribati, Gilbert
e Ilhas Oceânicas
Kiribati Oriental
Turquia
Islândia
Guatemala

PREFIXOS

TI
TI9
TJ
TL
TN
TR
TT
TU
TY
TZ
UA; UK1, 3, 4, 6; UV; UW1-6; UN1
UA1; UK1
UA2, UK2F
UA, UK, UV, UW9-0
UB, UK, UT, UY5
UC2, UK2A/C/I/L/O/S/W
UD6, UK6C/D/K
UF6, UK6F/O/Q/V
UG6, UK6G
UH8, UK8H
UI8, UK8
UJ8, UK8J
UL7, UK7
UM8, UK8M/N
UO5, UK50
UP2, UK2B/P
UQ2, UK2G/Q
UR2, UK2R/T
VE, VO, VY1
VE1
VK
VK9

VK0
VP1
VP2A
VP2E
VP2K
VP2M
VP2S
VP2V
VP5
VP8
VP8, LU-Z

VP8, LU-Z, CE9, HF0, 4K
VP9
VQ9
VR6
VS5
VS6
VS9K
VU
VU7

W (veja K)
XE
XF4
XP (veja OX)
XT
XU
XV
XW
XZ
YA
YB, YC
YI
YJ
YK
YN, HT
YO
YS
YU

Costa Rica
Ilhas Cocos
Camarões
África Central
Congo
Gabão
Chad
Costa do Marfim
Benin
Mali
Rússia Européia
Terra de Franz Josef
Kaliningradsk
Rússia Asiática
Ucrânia
Rússia Branca
Azerbaijão
Geórgia
Armênia
Turcomênia
Uzbequistão
Tadizquistão
Casaquistão
Kizisquistão
Moldávia
Lituânia
Letônia
Estônia
Canadá
Ilhas de Saint Paul e Sable
Austrália
Ilha Lorde Howe
Ilhas de Willis e Christmas
Ilha Norfolk
Ilhas Cocos Keeling
Ilhas de Heard e Macquarie
Belize
Antigua e Barbuda
Anguilla
Saint Kitts e Nevis
Montserrat
Saint Vicent
Ilhas Virgens Britânicas
Ilhas Turks e Caicos
Ilhas Malvinas (ou Falkland)
Ilhas Geórgia do Sul
Ilhas Orkney do Sul
Ilha Sandwich do Sul
Ilhas Shetland
Bermuda
Chagos
Ilha Pitcairn
Brunei
Hong Kong
Ilha Camarão
Índia
Ilhas Andaman e Nicobar
Ilhas de Laccadive

México
Revilla Gigedo

Alto Volta
Camboja
Vietnã
Laos
Birmânia
Afeganistão
Indonésia
Iraque
Novas Hébridas
Síria
Nicarágua
Romênia
El Salvador
Iugoslávia

PREFIXOS

YV
 YV0
 ZA
 ZB
 ZD7
 ZD8
 ZD9
 ZE
 ZF
 ZK1
 ZK2
 ZL
 ZL5 (veja CE9)
 ZM7
 ZP
 ZS1, 2, 4, 5, 6
 ZS2
 ZS3
 1S
 3A
 3B6, 7
 3B8
 3B9
 3C
 3C0
 3D2
 3D6
 3V
 3X
 3Y
 4K (veja CE9)
 4S
 4U
 4W
 4X, 4Z
 5A

PAÍSES

Venezuela
 Ilha Aves
 Albânia
 Gibraltar
 Santa Helena
 Ilha Ascenção
 Ilhas de Tristão da Cunha e Gough
 Zimbabwe
 Ilhas Cayman
 Ilha Cook
 Niue
 Nova Zelândia
 Tokelaus
 Paraguai
 África do Sul
 Ilhas do Príncipe
 Edward e Marion
 Namíbia
 Ilhas Spratly
 Mônaco
 Agalega e Saint Brandon
 Mauricius
 Ilhas Rodrigues
 Guiné Equatorial
 Annobon
 Ilhas Fiji
 Suazilândia
 Tunísia
 Repúblida da Guiné
 Bouvet
 Sri Lanka
 Genebra (I.T.U)
 Nações Unidas
 Iêmen
 Israel
 Líbia

PREFIXOS

5B, ZC
 5H
 5N
 5R
 5T
 5U
 5V
 5W
 5X
 5Z
 6O
 6W
 6Y
 7O
 7P
 7Q
 7X
 7Z (veja HZ)
 8J (veja CE9)
 8P
 8Q, VS9
 8R
 8Z4
 9A
 9G
 9H
 9J
 9K
 9L
 9M2
 9N
 9Q
 9U
 V
 9X
 9Y

PAÍSES

Chipre
 Tanzânia
 Nigéria
 República Malgaxe (Madagascar)
 Mauritânia
 Níger
 Togo
 Samoa Ocidental
 Uganda
 Quênia
 Somália
 Senegal
 Jamaica
 República Democrática do Iêmen
 Lesot
 Malavi
 Argélia
 Barbados
 Ilhas Maldivas
 República da Guiana
 Arábia Saudita, Iraque
 San Marino
 Ghana
 Malta
 Zâmbia
 Kuwait
 Serra Leoa
 Malásia Oriental
 Nepal
 Zaire
 Burundi
 Singapura
 Ruanda
 Trinidad e Tobago
 Abu ail, Jabal e Tair

EDITELE

REVENDA DE PUBLICAÇÕES

Informamos as livrarias, magazines, soft houses, interessados em revender as nossas publicações (livros e revistas) a entrar em contato com:

EDITELE EDIT. TÉC. ELETR. LTDA.
 R. Casa do Ator, 1060 - SÃO PAULO - SP
 CEP: 04546 - Depto. COMERCIAL
 fone: 542-0602

PREÇOS ESPECIAIS PARA INSTITUIÇÕES EDUCACIONAIS

As vantagens do falante eletrostático

Neste artigo, as características de construção, funcionamento e desempenho do alto-falante eletrostático

Há três tipos básicos de alto-falantes disponíveis no mercado: bobina móvel, piezelétrico e eletrostático. Essa situação vem se mantendo há pelo menos 60 anos; vez por outra surge um transdutor com um princípio de funcionamento um pouco diferente, mas por um motivo qualquer acaba não se firmando e desaparece.

Os alto-falantes de bobina móvel funcionam a partir dos efeitos causados por uma corrente elétrica que atravessa uma bobina imersa num campo magnético. Em sua passagem, a corrente gera um campo magnético em volta dessa bobina. Este campo vai se manifestar no interior de outro que resulta da presença de um ímã permanente. Conforme a sua polaridade, estes campos tendem à atração ou à repulsão de acordo com o sinal da corrente que atravessa a bobina. Essa polaridade é alterada constantemente, de tal maneira que não há repouso para a bobina móvel. Os deslocamentos da bobina determinam movimentos de um

diafragma a ela acoplado, que são responsáveis pela formação das ondas sonoras.

Por sua vez, os transdutores piezelétricos aproveitam certas características de sais com formações cristalinas, que se deformam quando submetidos à tensão elétrica. Submetidos a tensões positivas e negativas, estes cristais vão se contrair e expandir de uma certa maneira, e são estes movimentos que, associados a um diafragma apropriado, produzem os sons. O emprego econômico desses falantes só é aconselhável em caso de freqüências altas e médias, pois consomem uma quantidade considerável de energia, além de envolver o uso de correntes para um perfeito acoplamento com o meio.

Trataremos de modo particular, neste artigo, do falante eletrostático, que apresenta características muito interessantes.

A construção — Na figura 1, temos uma visão da placa responsável pela

produção dos sons no falante eletrostático. Trata-se, basicamente, de um "sanduíche" constituído por um filme de poliéster — em geral Mylar — recoberto por uma camada semicondutora de pó metálico, ouro ou alumínio, e por uma placa metálica delgada e flexível, recoberta por furos, denominada **eletrodo inferior**. Em caso de técnicas mais modernas, essa placa é substituída por uma outra camada de pó metálico, semelhante à primeira. O "sanduíche", por sua vez, é colocado entre duas placas metálicas, guardando entre elas uma distância determinada. Essas placas equivalem às armaduras de um capacitor, e o filme metálico, localizado entre ambas, ao dielétrico (o elemento dielétrico, por sinal, é o mesmo). As armaduras possuem uma série de furos para que apresentem uma certa "transparência" acústica. Em modelos mais antigos, tais armaduras não existiam; por essa razão a placa metálica era eletrizada de uma maneira, e a camada semicondutora sobre o dielétrico, de outra, ocasionando a vibração de todo o conjunto. A placa de metal, neste caso, deveria ter a maior complânciça possível.

A espessura do dielétrico (Mylar) é o que vai determinar, na prática, a eficiência do alto-falante. Geralmente, a espessura desta camada situa-se na faixa de 13 a 8 micra, enquanto a tensão necessária à operação do falante vai de 2 mil a mil volts. Este valor é determinado pela rigidez elétrica do elemento que funciona como dielétrico — no caso do Mylar esta constante é da ordem de 4 000 V/mil.

Funcionamento — Na figura 2, apresentamos o esquema de um alto-falante eletrostático completo. Uma fonte com alta capacidade fornece a tensão necessária para a geração de cargas em quantidade suficiente sobre as armaduras. Com o surgimento dessas cargas, constitui-se um campo elétrico entre as armaduras, cuja intensidade é proporcional à tensão do sinal de áudio. Pelo fato de os campos elétricos tenderem a se neutralizar mutuamente, haverá um esforço do diafragma para equilibrar as cargas — e isto só será possível caso haja diminuição da distância entre a placa e o diafragma, ou seja, no caso de existir movimento do dielétrico para frente ou para trás. Desse modo, o ar é deslocado a uma certa velocidade e, como consequência, temos a propagação de ondas sonoras.

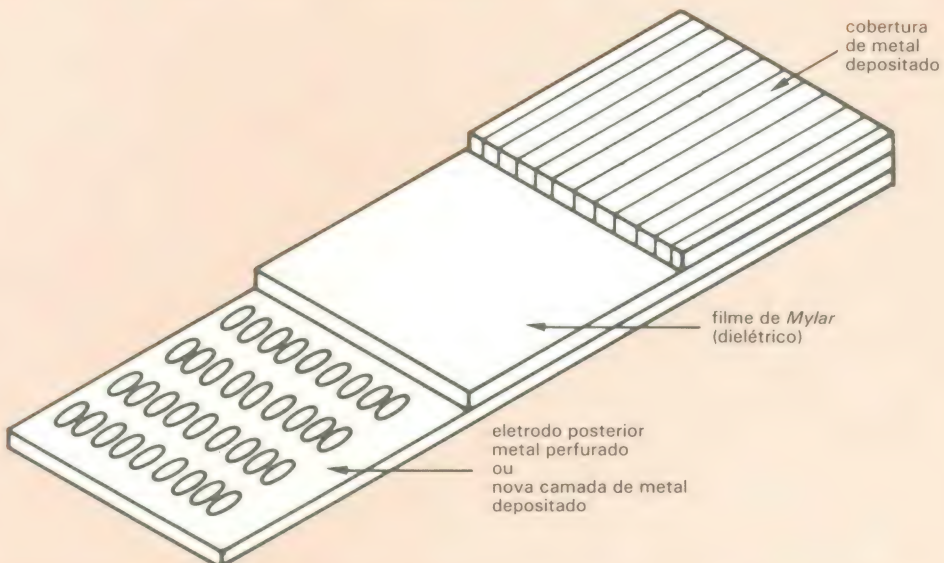


Fig 1

Placa responsável pela produção dos sons no falante eletrostático.

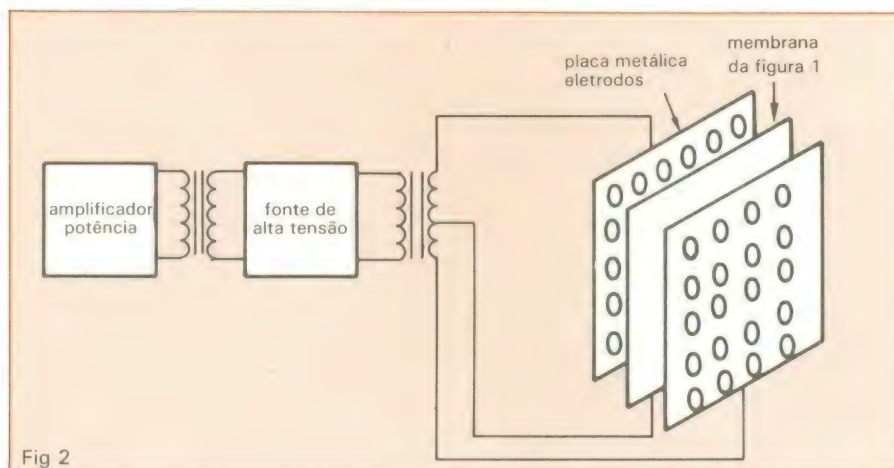


Fig 2

Esquema completo de um falante eletrostático.

Desempenho — Quando estudamos a teoria de funcionamento de um falante eletrostático somos levados à conclusão de que ele tem um comportamento não linear, devido à complexidade de suas raízes. Na prática, contudo, o seu funcionamento pode ser considerado muito mais linear do que o dos falantes convencionais; vejamos a causa disto.

A figura 3 mostra o esquema de um alto-falante convencional e a sua resposta a uma determinada oscilação. A força que determina o movimento do diafragma está concentrada nas proximidades do eixo de simetria e no vérti-

ce do cone. A transmissão e a propagação das forças impulsoras ocorrem de maneira não homogênea, através do cone; movimentam, inicialmente, a fração de massa mais próxima do vértice e, por último, a região situada nas proximidades da suspensão do falante. É possível que a primeira vibração na borda do cone não tenha ainda cessado no instante em que estiver acontecendo a segunda. Este fato pode acarretar uma interferência positiva ou negativa, que provocará uma alteração de parte do sinal original. Além disso, considerando que o material do diafragma pode não ser totalmente homo-

gêneo, há a possibilidade de que surjam outros modos de vibração, com fase e amplitude diferentes das originais. Disso resultará uma alteração da resposta a transientes do falante.

Na figura 4, temos a resposta e o esquema simplificado de um falante eletrostático. Como primeiro aspecto a ser destacado neste caso, cite-se que toda energia pode ser imediatamente transformada em deslocamento do diafragma. A resposta por parte deste também é imediata, já que sua massa muito reduzida evita perdas resultantes do trabalho de retirada do sistema móvel de seu movimento anterior (baixa inércia e alta complacência). Outro ponto a ser mencionado é que as forças necessárias ao deslocamento do diafragma são distribuídas homogeneamente em toda a superfície do falante. Vale também registrar que a massa reduzida do sistema móvel dos falantes eletrostáticos proporciona seu acoplamento com o meio que o cerca, uma vez que implica em baixa impedância mecânica do sistema para qualquer freqüência, garantindo um desempenho equilibrado em todo o espectro de áudio.

Se observarmos atentamente todas as teorias que regem o comportamento dos alto-falantes eletrostáticos, vamos notar que a potência acústica de saída independe da freqüência, quando o circuito for alimentado por

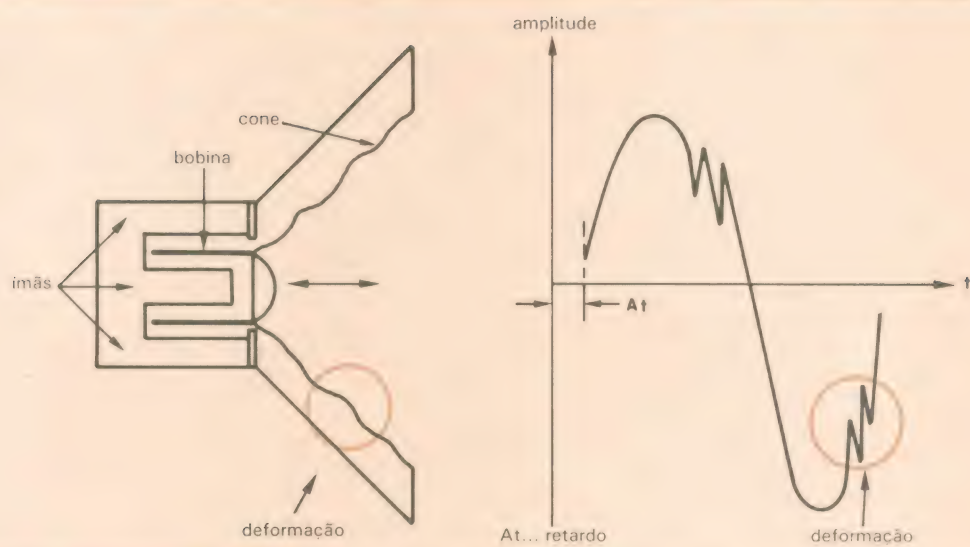


Fig. 3

Esquema de um falante convencional e a sua resposta a uma determinada oscilação.

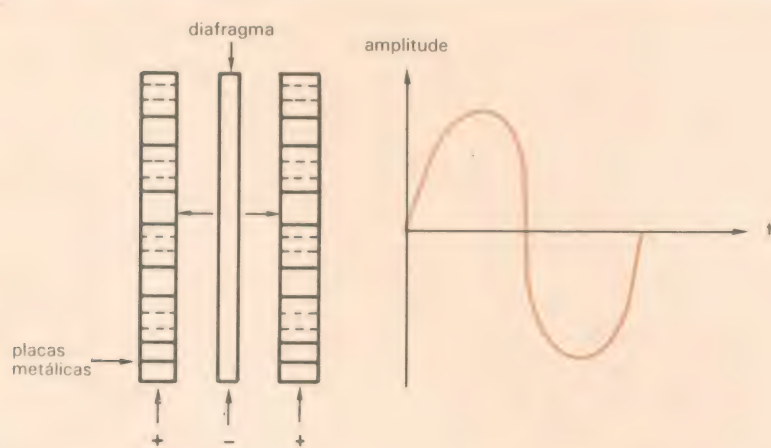


Fig. 4

Esquema simplificado de um falante eletrostático.

fonte de tensão e corrente constantes. Daí podemos chegar à seguinte relação:

$$2^{\text{a}} \text{ harmônica} = 50 \times (E_1/E_2)$$

Através desta fórmula, obtemos a taxa de distorção para as segundas harmônicas, em função da tensão de pico do sinal de áudio (E_1), e também a tensão de polarização E_2 das placas (corrente contínua). Por exemplo, se desejarmos que o falante apresente uma taxa de distorção de 5% para a segunda harmônica, necessitamos ter uma relação entre E_1/E_2 igual a 0,1 — ou seja: $E_2 = 500 \text{ V}$ e $E_1 = 50 \text{ V}$. Se a frequência mínima de operação do falante for de 4 kHz, seu harmônico de or-

dem 2 será igual a 8 kHz. Supondo que a freqüência fundamental apresente uma intensidade de 40 fons e uma pressão sonora de $1 \times 10^{-3} \text{ N/m}^2$, será preciso dispor de uma pressão sonora de $11 \times 10^{-3} \text{ N/m}^2$ para que o harmônico tenha a mesma intensidade (40 fons), o que se traduz em uma diferença de mais de 15 dB. Quanto mais alta for a freqüência de operação do falante, menos perceptível será a distorção harmônica, pois o ouvido humano tem menor sensibilidade nos extremos do espectro de áudio, e maior nas freqüências médias.

Mas este argumento pode-se tornar uma faca de dois gumes, caso seja co-

locado o problema da operação em baixas freqüências. Certos fabricantes conseguiram solucioná-lo reduzindo a eficiência do sistema, elevando a tensão de polarização e mantendo no nível mínimo indispensável a tensão do sinal de áudio.

Podemos observar, a seguir, alguns gráficos relativos ao desempenho dos alto-falantes aqui discutidos. O gráfico n.º 1 mostra a distribuição percentual da pressão sonora horizontal, ao ar livre, de um falante de 3 x 5 polegadas, destinado às freqüências de 5, 7 e 10 kHz. Por sua vez, o gráfico 2 apresenta uma curva que relaciona a pressão sonora e a tensão de pico do sinal de entrada. Observe o decréscimo da pressão sonora após 300 Vrms, em virtude de uma sobrecarga do dielétrico, que pode ser entendida como saturação do mesmo. O gráfico 3 corresponde à plotagem de valores de pressão sonora, sobre o eixo de simetria do falante, em função da freqüência. A freqüência de corte da unidade é alcançada quando a reatância do sistema diafragma/carga de ar aproxima-se da rigidez do sistema móvel.

Finalmente, a figura 5 apresenta um dispositivo desenvolvido na década de 70 e representa uma unidade de médias e altas freqüências.

A segunda placa existente no desenho da figura 2 (a superior) é utilizada com o intuito de reduzir a distorção harmônica causada pelo desequilíbrio de forças entre o dielétrico e a armadura. Sua adoção proporcionou uma maior

ângulo de dispersão

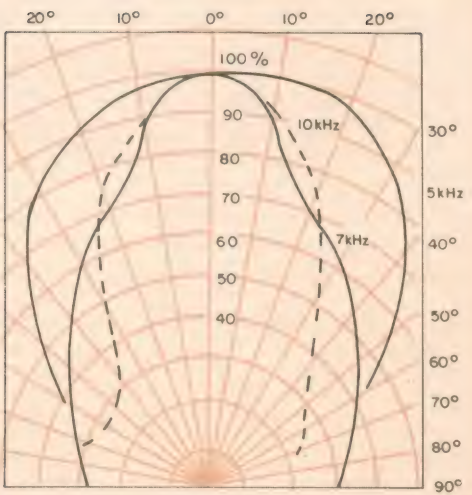


Gráfico 1

Distribuição percentual da pressão sonora horizontal ao ar livre de um falante com 3 x 5 polegadas.

dB SPL

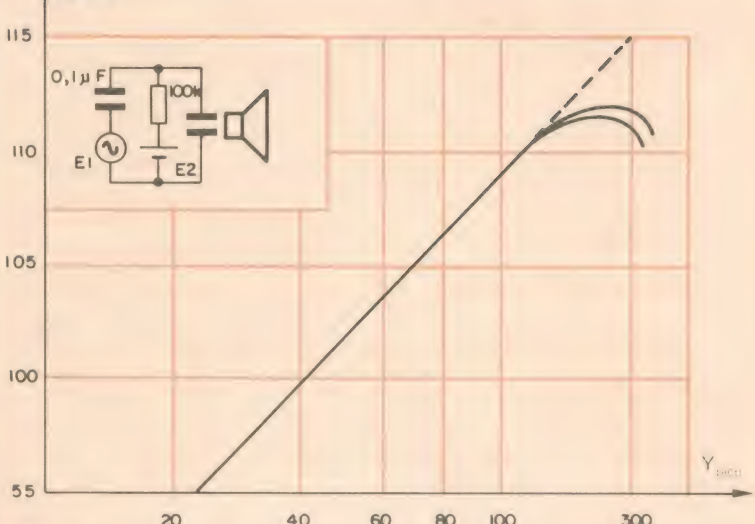


Gráfico 2

Curva relacionando pressão sonora com a tensão de pico do sinal de entrada.

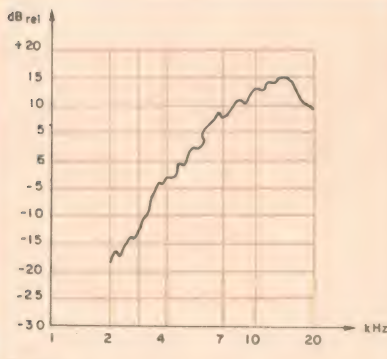


Gráfico 3

Plotagem de valores de pressão sonora, sobre o eixo de simetria do falante, em função da freqüência.

simetria na distribuição de forças eletrostáticas. A distorção, porém, não foi totalmente eliminada, embora se manifeste em menor escala do que nos falantes piezelétricos ou bobina móvel. Contudo, seu desempenho neste campo é inferior aos dos alto-falantes iônicos, nos quais uma parte significativa da distorção está relacionada com os circuitos de excitação do falante.

Vantagens — Os falantes eletrostáticos têm qualidades que merecem destaque, tais como: resposta de freqüência bastante plana, com poucos picos e vales; boa distribuição polar, alta eficiência e baixa distorção por transientes. Em contrapartida, são muito

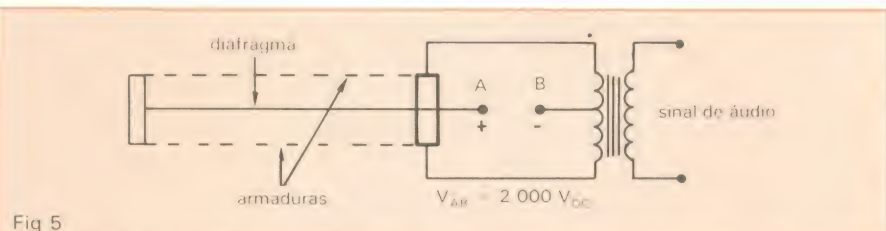


Fig 5

Dispositivo representando uma unidade de médias e altas freqüências.

sensíveis em relação ao pó e à umidade, necessitando de proteção eficaz contra ambos. Registre-se, ainda, a dificuldade para obtenção de materiais não ressonantes e, ao mesmo tempo, acusticamente transparentes, para a confecção de seus eletrodos frontal e traseiro. Finalmente o seu diafragma deve ser subdividido em seções para faixas de freqüências diferentes, e estas necessitam ser alimentadas por divisores de freqüência, de maneira que a resposta polar possa ser mantida constante.

Quanto aos preços, os falantes eletrostáticos situam-se na faixa dos equipamentos considerados em desenvolvimento tecnológico. A empresa norte-americana Acoustat, por exemplo, oferece 5 modelos, com preços que variam entre 1 195 (modelos Two + Two) até 4 750 dólares (modelo Eight). De maneira geral, os modelos da Acoustat apresentam as seguintes características: resposta em freqüência de 25 Hz a 20 mil Hz dentro de ± 3 dB, a eficiência en-

tre 100 e 115 dB SPL.

Já a firma inglesa Quad oferece dois modelos ao mercado: o ESL-63, com eficiência de 86 dB SPL, potências entre 100 e 190 W e resposta de freqüência entre 30 Hz e 20 mil Hz, sendo comercializado a 3 300 dólares o par; e o Modelo Quad-ELS, vendido a 890 dólares, apresentando eficiência de 93 dB SPL a 2 m e uma resposta de freqüência entre 45 Hz e 18 mil Hz.

Os alto-falantes eletrostáticos parecem representar um "radiador" ideal para baixas freqüências. Pode-se afirmar, também, que ele é o melhor dispositivo para evitar os efeitos nocivos, entre as várias freqüências, do amortecimento causado pela massa de ar.

Para não fugir à regra aqui vai um pouco de especulação: caso seja possível reduzir os custos do falante eletrostático, e uma vez solucionado o problema de sua alta sensibilidade ao pó e à umidade, podemos acreditar que ele seja o último dos falantes analógicos a acompanhar o som digital. ■

Exemplos práticos e programa de circuitos de casamento

Dando seqüência à parte teórica e ao programa “S” da edição anterior, são dados agora dois exemplos de aplicação, considerando um caso de amplificador estável e outro de instabilidade

Os cálculos apresentados aqui esclarecem a utilização do programa para dois casos distintos. Além disso, o apêndice dá maiores informações sobre os circuitos de casamento de impedâncias.

Amplificador incondicionalmente estável ($K > 1$) — Considere o cálculo de um amplificador em 100 MHz, que forneça ganho maior que 10 dB e impedância de entrada e saída iguais a 75Ω . O transistor a ser utilizado possui os seguintes parâmetros em 100 MHz:

$$\begin{aligned} S_{11} &= 0.80 \quad [-89^\circ] \\ S_{12} &= 0.015 \quad [56^\circ] \\ S_{21} &= 2.2 \quad [98^\circ] \\ S_{22} &= 0.75 \quad [-40^\circ] \end{aligned}$$

Todos os resultados a seguir foram obtidos diretamente pelo programa “S”. O valor de K para testar a estabilidade do circuito é:

$$K = \frac{1 + |\Delta|^2 - |S_{11}|^2 - |S_{22}|^2}{2 |S_{12}| |S_{21}|} = 2.26$$

As outras condições de estabilidade definidas também são satisfeitas, isto é:

- a) $|S_{11}| < 1$; $|S_{22}| < 1$
- b) $|S_{12}| |S_{21}| = 0.033 < 1$ — $|S_{11}|^2 = 0.36$
- c) $|S_{12}| |S_{21}| = 0.033 < 1$ — $|S_{22}|^2 = 0.43$

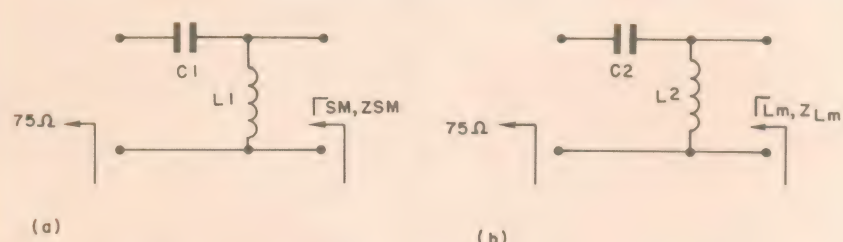


Fig 10

Círculo de casamento de entrada (a) e de saída (b).

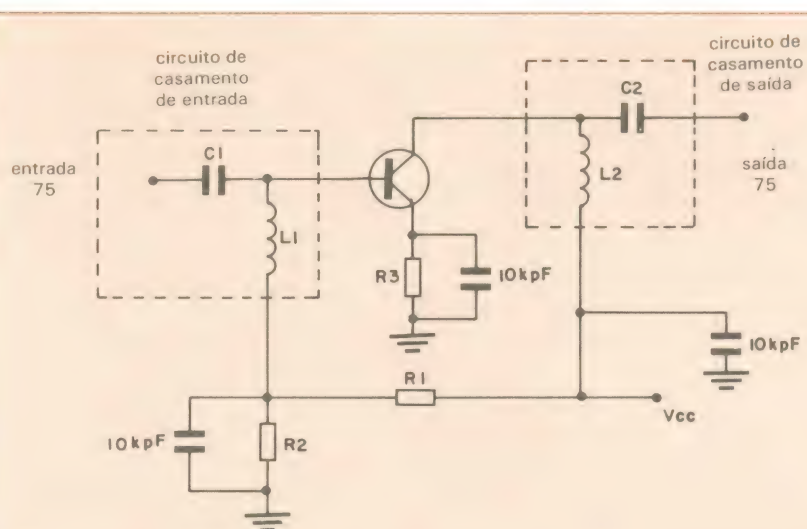


Fig 11

Esquema completo do amplificador calculado.

O ganho máximo pode ser obtido quando as impedâncias de carga e fonte forem dadas pelas equações (46) e (47), de onde se obtém:

$$\Gamma_{Sm} = 0,830 \angle 92,7^\circ \Rightarrow Z_{Sm} = (8,8 + j47)\Omega \text{ (obtido da equação (39))}$$

$$\Gamma_{Lm} = 0,786 \angle 45,3^\circ \Rightarrow Z_{Lm} = (37,3 + j109)\Omega \text{ (obtido da equação (36))}$$

Com esses valores, pode-se calcular o ganho transdutivo máximo através da expressão (53):

$$G_{\max} = \frac{|S_{21}|}{|S_{12}|} (K - \sqrt{K^2 - 1})$$

que fornece $G_{\max} = 15,3 \text{ dB}$

Utilizando-se o programa "CASA-MENTO" (ver Apêndice 1), obtém-se o circuito da figura 10a com $C_1 = 13,5 \text{ pF}$ e $L_1 = 60 \text{ nH}$, para casamento de entrada do circuito.

O circuito de casamento da saída terá a mesma configuração do de entrada, resultando de acordo com a figura 10b em $C_2 = 11 \text{ pF}$ e $L_2 = 117 \text{ nH}$.

A figura 11 apresenta o esquema completo do amplificador. Os capacitores de $10 \text{ k}\mu\text{F}$ fornecem os pontos de terra para RF. As configurações de circuitos de casamento do tipo bobina paralela, como é mostrado na figura 11, permitem introduzir a polarização no transistor, sem a necessidade de usar choques de RF.

Transistor instável ($K < 1$) — Seja um transistor com os seguintes parâmetros:

$$\begin{aligned} S_{11} &= 0,82 \angle -32^\circ & S_{21} &= 3,40 \angle 137^\circ \\ S_{12} &= 0,05 \angle 60^\circ & S_{22} &= 0,90 \angle -32^\circ \end{aligned}$$

O programa "S" fornece o resultado $K = 0,38$. No circuito de entrada, o círculo de estabilidade é dado por (equações (64) e (65)):

$$\begin{aligned} R_{s1} &= 2,85 \text{ (raio)} \\ r_{s1} &= 3,36 \angle 81^\circ \text{ (centro)} \end{aligned}$$

No circuito de saída, o círculo de estabilidade é dado por (equações (56) e (57)):

$$\begin{aligned} R_{s2} &= 0,86 \text{ (raio)} \\ r_{s2} &= 1,55 \angle 58,8^\circ \text{ (centro)} \end{aligned}$$

A Carta de Smith (fig. 12) mostra o

círculo de estabilidade da entrada e da saída do quadripolo. Fazendo-se $\Gamma_L = 0$, nota-se que o centro da carta está fora dos círculos de estabilidade. Portanto, a região interior, hachurada, é a região instável.

Desejando-se obter um ganho de potência de 15 dB, calcula-se o círculo $G_p = 15 \text{ dB}$. O centro e o raio do círculo são dados pelas expressões (62) e (63). O programa fornece:
raio de círculo de potência = 0,60
centro do círculo = 0,54 $\angle 58,8^\circ$

O círculo de ganho constante é, en-

tão, plotado na Carta de Smith, determinando as impedâncias de carga que fornecem esse ganho. Escolhendo-se $\Gamma_L = 0,1 \angle 180^\circ$, o valor de Γ_{IN} será dado pela expressão (35). O valor obtido pelo programa "S" é:

$$\Gamma_{IN} = 0,82 \angle -32^\circ$$

Para obter a máxima transferência de potência, deve-se alimentar o quadripolo com $\Gamma_S = \Gamma_{IN} = 0,82 \angle 32^\circ$. Este valor está fora da região de instabilidade da entrada e, portanto, pode

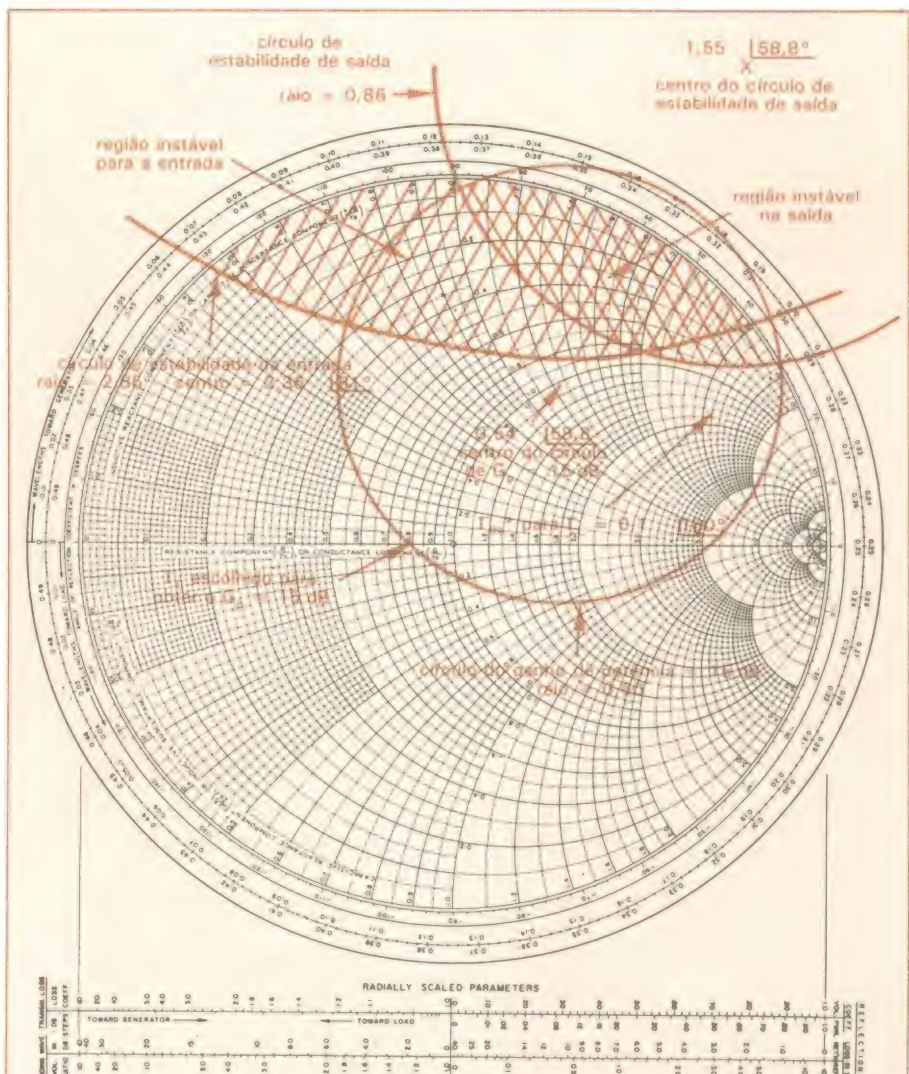


Fig. 12

Círculo de estabilidade e ganho de potência.

ser sintetizado. Se Γ_S caísse dentro da região de instabilidade da entrada, deveríamos escolher outro valor de Γ_L e refazer os cálculos. O programa "S" faz automaticamente esse teste e avisa o usuário no caso de valores de impedância de carga mal escolhidos. Conhecendo-se Γ_L e Γ_S , sintetiza-se os circuitos de casamento, como mostrado nas seções anteriores.

Observações finais — É bom sempre lembrar que os parâmetros caracterizam o quadripolo em uma determinada freqüência e para um ponto de polarização especificado. O comportamento dos circuitos em freqüências diferentes daquela analisada no projeto deve ser verificado utilizando-se os parâmetros do quadripolo nessas freqüências. Esse estudo permite ao projetista conhecer em que faixas de freqüência um amplificador poderá eventualmente oscilar. Projetos de amplificadores faixa larga incluem esse tipo de pesquisa, usando o computador para a determinação adequada dos circuitos de casamento e manutenção das condições de estabilidade.

Para finalizar, seria bom salientar que certas simplificações das expressões ocorrem quando se pode considerar $S_{12} = 0$. Nessa condição, o transistor é incondicionalmente estável e as expressões (46) e (47) se reduzem a:

$$G_{Sm} = S_{11}^*$$
 (66)

$$\Gamma_{Lm} = S_{22}^*$$
 (67)

fornecendo um ganho transdutivo máximo dado por:

$$G_{Tmáx} = \frac{1}{1 - |S_{11}|^2} \cdot |S_{21}|^2 \cdot \frac{1}{1 - |S_{22}|^2}$$
 (68)

As expressões (66) e (68) permitem uma avaliação rápida do desempenho esperado do amplificador.

Os parâmetros "S" representam, portanto, um instrumento confiável para a análise de circuitos. Comparados com os outros parâmetros ("Z", "Y" etc.), não apresentam os inconvenientes de medida que necessitam de curto e abertos nos terminais do quadripolo, como já citado no início deste artigo. A condição de medida dos parâmetros "S" é determinação do quadripolo com impedâncias reais ($Z_0 = 50\Omega$ para a padronização usual), como descrito no artigo e que são de fácil realização, mesmo na faixa de microondas.

Sintetização dos circuitos de casamento

Para concluir o projeto de amplificadores em altas freqüências, um programa de casamento de impedâncias

Existem várias técnicas para calcular os circuitos de casamento. O processo que permite maior flexibilidade é o da Carta de Smith, mas exige prática do projetista e é de difícil implementação em computador. Mostraremos aqui uma maneira rápida, porém particular, de fazer esses cálculos algebricamente, e forneceremos as expressões para o uso em computador. Os circuitos de casamento serão sintetizados com elementos discretos. O caso mais geral, utilizando linhas de transmissão tipo *microstrip*, será objeto de um outro artigo.

Seja a transformação de uma impedância real R_0 em uma impedância qualquer Z_L (fig. 13). A transformação pode ser feita de dois modos: colocando-se uma reatância paralela seguida de uma reatância em série, ou vice-versa. Veja-se o primeiro caso (fig. 14), que se aplica sempre que $a \leq R_0$.

A reatância X_1 deverá transformar R_0 em uma impedância Z que possua parte real igual a a . A reatância X_2 irá compensar a parte imaginária de Z para se obter b ; portanto:

$$\text{Real}(Z) = \frac{G_0}{(G_0)^2 + (B_1)^2} = a \quad (\text{A-1})$$

onde:

$$G_0 = 1/R_0 \quad B_1 = 1/X_1$$

o valor de B_1 , será, então:

$$B_1 = \pm \sqrt{\frac{G_0 - a(G_0)^2}{a}} \quad (\text{A-2})$$

desde que $a \leq R_0$.

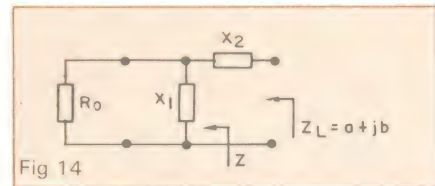
O sinal da raiz quadrada permite que se use uma bobina ou um capacitor em paralelo para B_1 . Se B_1 é positivo, tem-se um capacitor paralelo, cujo valor é dado por:

$$\omega C_1 = B_1 \Rightarrow C_1 = \left(\frac{\omega}{B_1} \right)^{-1} \quad (\text{A-3})$$

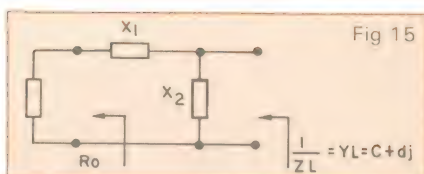
onde $\omega = 2\pi F$
 F = freqüência



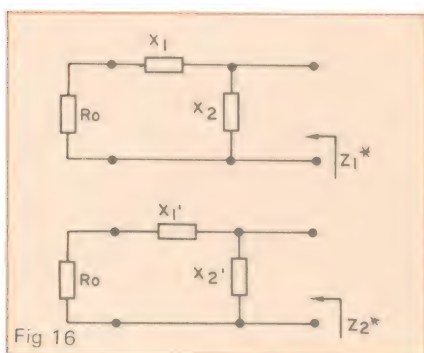
Princípio da transformação de impedância.



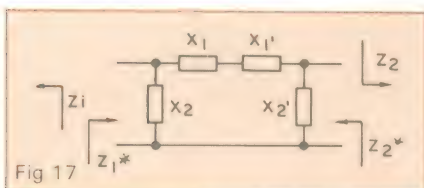
Transformação de impedância com reatâncias em paralelo e em série.



A mesma transformação, mas com reatâncias em série e em paralelo.



Circuitos para conversão de Z , em Z_1^*



Transformação de Z , em Z_2^* .

Se B_1 é negativo, tem-se uma bobina paralela, cujo valor é:

$$\frac{1}{\omega L} = B_1 \Rightarrow L = \frac{1}{\omega B_1} \quad (\text{A-4})$$

A parte imaginária de Z é dada por:

$$I_m(Z) = - \frac{B_1}{(G_0)^2 + (B_1)^2} \quad (\text{A-5})$$

A reatância X_2 somada com a parte imaginária de Z deve fornecer o valor do imaginário de Z_L , ou seja, b ; portanto:

$$X_2 - \frac{B_1}{(G_0)^2 + (B_1)^2} = b \Rightarrow$$

$$X_2 = b + \frac{B_1}{(G_0)^2 + (B_1)^2} \quad (\text{A-6})$$

O valor de X_2 também pode ser positivo ou negativo, o qual fornecerá uma bobina ou um capacitor.

Aplicando-se o mesmo raciocínio

Listagem do programa

“Casamento”

```

POSSÍVEL PARA ESSE CASO É =""
100 DISP "R0, REATÂNCIA PARALELA,
REATÂNCIA SÉRIE"
110 C1=2*PI*F/B1*1000000 @ C1=1/C1
@ L1=1/(2*PI*F*B1)*1000
120 DISP @ DISP "VALORES POSSÍVEIS
PARA A REATÂNCIA PARALELA ="
130 DISP @ DISP "CAPACITOR
PARALELO(PF) ="; C1
140 DISP "BOBINA PARALELA = (NH)"; L1 @
DISP "ESCOLHA A CONFIGURAÇÃO
(CP/BP)" @ INPUT A $
145 IF A$ = "BP" THEN LET B1 = - B1
150 X1=B+B1/(GO*2+B1*2) @ IF X1 < 0
THEN GOTO 220
160 L2=X1/(2*PI*F)*1000
170 DISP @ DISP "CONFIGURAÇÃO R0,
CAPACITOR PARALELO, BOBINA SÉRIE"
180 DISP "R0(OHMS) ="; R0
190 DISP "CAPACITOR PARALELO (PF) =";
C1
200 DISP "BOBINA SÉRIE(NH) ="; L2
205 DISP "Z(OHMS) ="; A; " +J"; B
210 GOTO 490
220 C2=-(2*PI*F*X1/1000000) @
C2=1/C2
230 DISP @ DISP "CONFIGURAÇÃO R0,
BOBINA PARALELA, CAPACITOR SÉRIE"
240 DISP "R0(OHMS) ="; R0
250 DISP "BOBINA PARALELA(NH) ="; L1
260 DISP "CAPACITOR SÉRIE(PF) ="; C2
265 DISP "Z(OHMS) ="; A; "+J"; B
267 GOTO 490
300 M=A*2+B*2 @ C=A/M @ D = - (B/M)
@ IF C*R0 > 1 THEN GOTO 80
485 DISP "Z(OHMS) ="; A; "+J"; B
490 END

```

para o circuito com reatância em série e reatância paralela (fig. 15), serão obtidas as expressões A-7 e A-8, sempre que $cR_0 \leq 1$:

$$X_1 = \pm \sqrt{\frac{R_0 - c(R_0)^2}{c}} \quad (\text{A-7})$$

$$\frac{1}{X_2} = B_2 = d + \frac{X_1}{(R_0)^2 + (X_1)^2} \quad (\text{A-8})$$

Os circuitos de casamento podem ser calculados de várias formas

Caso se queira obter um circuito que transforme uma impedância qualquer em 50Ω , denomina-se essa impedância Z_L^* e usa-se o conjunto apropriado de fórmulas, se $a \leq 50$ ou $50 c \leq 1$ para sintetizar Z_L^* .

Sempre se pode obter a transformação de uma impedância qualquer em outra, juntando-se dois circuitos de transformação do tipo mostrado anteriormente. Seja, por exemplo, casar Z_1 com Z_2 . Sintetizam-se os circuitos para fornecer Z_1^* e Z_2^* , como mostra a figura 16. Juntando-se os dois circuitos (fig. 17), obtém-se o resultado desejado.

As equações aqui mostradas estão compiladas no programa “CASAMENTO”, cujo manuseio é auto-explicativo (ver listagem). O programa foi feito para o microcomputador HP-85 e utiliza memória de 4 kB.

Referências

- 1) Carson, R.S., High Frequency Amplifiers, New York, John Wiley, 1975.
- 2) Chipman, A.R., Linhas de Transmissão, São Paulo, Editora McGraw-Hill do Brasil, 1972.
- 3) Hewlett Packard (HP), S Parameter S — Circuit Analysis and Design — (AN 95).

O microcomputador no estudo das antenas — IV

Mais um artigo e um programa para o cálculo de dipolos lineares. Fornecendo apenas o comprimento do dipolo, pode-se obter o valor da diretividade e dois valores de resistência

Este quarto programa da série dedicada ao estudo das antenas em linguagem Basic permite que se faça uma análise da variação da diretividade, da resistência de irradiação e da resistência de entrada de uma antena dipolo linear de comprimento qualquer, como aquela mostrada na figura, em função do comprimento. A diretividade D de uma antena é definida por:

$$D = \frac{\Phi_{\max}}{W/4\pi}$$

onde Φ_{\max} é o valor máximo de intensidade de irradiação $\Phi(\theta_1, \varphi)$, e W, é a potência total irradiada.

A intensidade de irradiação, que no presente caso não varia com φ , é dada em região de campo distante por:

$$\Phi(\theta) = \frac{r^2 |E(\theta)|^2}{\eta},$$

sendo r a distância da origem do sistema de coordenadas ao ponto onde se mede o campo e η , a impedância intrínseca do espaço livre, aproximadamente igual a 377Ω .

Conhecendo-se o campo elétrico distante da antena dipolo localizada sobre o eixo z,

$$|E_\theta(\theta)| = \left| \frac{\eta l}{2\pi r} \right| x$$

$$x \left| \frac{\cos(\beta h \cos \theta) - \cos(\beta h)}{\sin \theta} \right|,$$

pode-se obter a potência total irradiada da seguinte maneira:

$$W_r = \int_0^{\pi} \int_0^{2\pi} \frac{l^2 \eta}{(2\pi r)^2} x$$

$$x \left| \frac{\cos(\beta h \cos \theta) - \cos(\beta h)}{\sin \theta} \right|^2 r^2 \sin \theta d\theta d\varphi$$

Programa de cálculo da diretividade e resistência do dipolo

```

10 PRINT
120 INPUT "QUAL É O COMPRIMENTO DO
DIPOLO EM COMP. DE ONDA"; L
130 PI = 3.14159
140 E = 120*PI
150 THETA=PI/180
160 UMAX=0
170 PRAD=0
180 A=L*PI
190 FOR I=1 TO 180
200 XI=I*PI/180
210 IF XI=PI THEN 240
220 U = ((COS(A)*COS(XI)) - COS(A))/
SIN(XI);2*(E/4*PI/2)
230 IF U>UMAX THEN UMAX=U
240 UA=U*SIN(XI)*THETA*2*PI
250 PRAD=PRAD+UA
260 NEXT I
270 D = (4*PI*UMAX)/PRAD
280 DBB = 10^(LOG(D)/LOG(10))
290 RR=PRAD
300 IF SIN(A)=0 THEN 320
310 RIN=RR/SIN(A)/2
320 LPRINT TAB(30) STRING$(61, " ")
330 LPRINT TAB(30) " " TAB(90) " "
340 LPRINT TAB(30) " " O COMPRIMENTO
DO DIPOLO = "L" COMPRIMENTOS DE
ONDA" TAB(90) " "
350 LPRINT TAB(30) " " TAB(90) " "
360 LPRINT TAB(30) " " A DIRETIVIDADE =
"D TAB(90) " "
370 LPRINT TAB(30) " " TAB(90) " "
380 LPRINT TAB(30) " " A DIRETIVIDADE
EM DB = "DBB TAB(90) " "
390 LPRINT TAB(30) " " TAB(90) " "
400 LPRINT TAB(30) " " A RESISTÊNCIA DE
RADIÇÃO = "RR TAB(90) " "
410 LPRINT TAB(30) " " TAB(90) " "
420 IF SIN(A)=0 THEN LPRINT TAB(30) " "
A RESISTÊNCIA DE ENTRADA É INFINITA"
TAB(90) " ", GOTO 440
430 LPRINT TAB(30) " " A RESISTÊNCIA DE
ENTRADA = "RIN TAB(90) " "
440 LPRINT TAB(30) " " TAB(90) " "
450 LPRINT TAB(30) STRING$(61, " ")
460 END

```

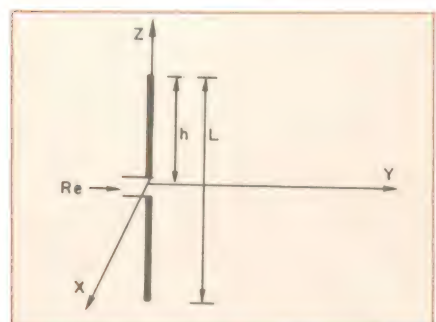
onde I é o valor eficaz da corrente na antena e $\beta = 2\pi/\lambda$, sendo λ o comprimento de onda. A integração em φ , na equação anterior, pode ser realizada facilmente, resultando:

$$W_r = 2\pi \int_0^{\pi} \frac{I^2 \eta}{(2\pi)^2} x$$

$$x \left| \frac{\cos(\beta h \cos \theta) - \cos(\beta h)}{\sin \theta} \right|^2 \sin \theta d\theta$$

O programa de computador apresentado calcula a potência W , efetuando a integração anterior através de incrementos na variável θ de um grau.

A resistência de irradiação pode ser calculada usando-se a expressão



Dipolo de comprimento L e o sistema de coordenadas utilizado.

$$R_r = \frac{W_r}{I^2}$$

e a resistência de entrada da antena, supondo-a alimentada no centro, através da equação

$$R_{in} = \frac{R_r}{\sin^2(\beta h)}$$

O usuário do programa deve fornecer ao computador, quando solicitado, o comprimento total L do dipolo em comprimento de onda.

O computador fornece ao usuário:

- a) O dado de entrada
- b) A diretividade
- c) A diretividade em dB
- d) A resistência de irradiação
- e) A resistência de entrada

Exemplo

O COMPRIMENTO DO DIPOLO = 1.3 COMPRIMENTOS DE ONDA

A DIRETIVIDADE = 1.52014

A DIRETIVIDADE EM dB = 1.61805

A RESISTÊNCIA DE RADIACAO = 2.52926

A RESISTÊNCIA DE ENTRADA = 3.53388

O COMPRIMENTO DO DIPOLO = 1.5 COMPRIMENTOS DE ONDA

A DIRETIVIDADE = 1.64875

A DIRETIVIDADE EM dB = 1.65887

A RESISTÊNCIA DE RADIACAO = 73.1274

A RESISTÊNCIA DE ENTRADA = 73.1274

ESTAMOS AQUI PARA ATENDE-LO



Grandes linhas de componentes eletrônicos de diversas marcas já consagradas, tudo que você necessita para montagens, projetos, tais como: Chaves, Circuitos Integrados, Transistores, Diodos, Resistores, Potenciômetros, Displays, Leds, etc. ATENDEMOS TAMBÉM PELO REEMBOLSO AÉREO E POSTAL.

★★★★



RAX

Relé com indicador ótico.

SCHRACK

A Schrack mais uma vez inova na linha de relés, atendendo as exigências do mercado.

Indicador ótico - um componente de material plástico, de cor viva e contrastante, montado sobre a parte móvel do relé (ancora), que sinaliza a posição dos contatos (ligado, desligado), através de uma janela transparente colocada no topo da caixa do relé. Especialmente criado para aplicação em quadros de comando, ou em equipamentos em que seja necessária rápida detecção de qualquer avaria.

Indicador ótico: a melhor solução! Só podia ser Schrack!

RÁDIO ELÉTRICA SANTISTA LTDA.

Loja Matriz: — RUA CEL. ALFREDO FLAQUER, 148/150
Fone: 449-6688 (PABX) — Telex (011) 4994 RAES BR

CEP 09000 — Santo André — SP

Loja Filial nº 1 — AVENIDA GOIÁS, 762 — Fone: 441-8399
CEP 09500 — São Caetano do Sul — SP

Loja Filial nº 2 — RUA RODRIGUES ALVES, 13 — Lojas 10/11
Cj. Anchieta — Fone: 414-6155 — Prédio próprio
CEP 09700 — São Bernardo do Campo — SP

Kapton
Kapton

SCHRACK

Nós temos a melhor solução! **DO BRASIL EQUIPAMENTOS ELÉTRICOS S.A.**
VENDAS: ITAPECERICA DA SERRA □ SP: Av. Eduardo R. Daher, 723 □ Centro □ Tel: (011) 495-2944
RIO DE JANEIRO □ RJ: Rua Uruguaí, 393 □ Sobreloja 102 □ Tijuca □ Tel: (021) 268-2586
FÁBRICA: ITAPECERICA DA SERRA □ SP: Av. Eduardo R. Daher, 1135 □ Centro
CORRESP.: ITAPECERICA DA SERRA □ SP: Cx. Postal 02 □ CEP 06850 □ Telex (011) 33226 SCHR BR

Comunicação de dados (conceitos básicos)

A comunicação entre computadores veio agilizar a transferência de informações. Aqui, uma visão geral dos elementos que permitem estabelecer esse contato

O processo definido abertamente como "comunicação de dados" envolve a transmissão de informações codificadas entre dois pontos. Este artigo englobará todos os elementos físicos, sistemas e procedimentos necessários à transmissão e recepção de dados entre duas ou mais máquinas — o que inclui canais de comunicação, modos de transmissão, modens e técnicas de modulação.

Os equipamentos — O uso abrangente do processamento de informações em computadores, terminais interativos e sistemas com sensores remotos tem ampliado a importância da comunicação de dados na indústria. Suas aplicações típicas estão representadas na Tabela 1.

Os equipamentos com circuitos LSI usados em comunicação de dados são basicamente os seguintes:

- Terminais inteligentes com interfaces homem-máquina;
- Controladores de terminais, com interface ou periféricos para linhas de comunicação;
- Multiplexadores por divisão de tempo para linhas de baixa velocidade;
- Concentradores remotos de dados, que armazenam mensagens para linhas de baixa velocidade e as multiple-

xam para linhas de alta velocidade;

- Modens que convertem informação digital em sinal modulado e a reconvertem na recepção;
- Processadores que controlam as linhas de comunicação de computadores centrais;
- Equipamento de teste de comunicação, que diagnostica falhas em linhas ou modens.

O processo de comunicação de dados requer, geralmente, cinco elementos: o transmissor ou fonte de informação, a mensagem, a interface serial binária, a rede ou canal de comunicação e o receptor. Um sistema típico pode ser visto na figura 1.

Canais de comunicação — A rede ou canal de comunicação é definida como o caminho de transmissão elétrica entre duas ou mais estações e terminais. Pode ser um simples condutor, grupo de condutores, cabo coaxial ou uma faixa específica do espectro de radiofrequência. A função do canal é apenas levar informação de um lado para outro; todo canal apresenta limitações, que dependem basicamente de características físicas e elétricas.

Os canais, além disso, são encontrados em três tipos básicos: *simplex* (um sentido, uma linha), *semidúplex* (dois sentidos, uma linha) e *dúplex* (dois sen-

tidos, duas linhas), todos representados na figura 2. No primeiro tipo, temos transmissão somente de A para B; é uma configuração utilizada entre terminais e seus periféricos unidirecionais (impressoras, por exemplo).

No segundo caso, existe transmissão entre A e B nos dois sentidos, mas não simultaneamente. Se for utilizado um circuito a dois fios, a linha poderá ser "virada", para inverter o sentido de transmissão. No último tipo temos transmissão nos dois sentidos, só que simultaneamente; freqüentemente emprega quatro fios, embora possam ser dispensados e substituídos por radiofrequência; nesse caso, a faixa de frequência escolhida é dividida em recepção e transmissão.

Banda de passagem — Além do sentido de transmissão, os canais são também caracterizados pela sua largura de banda. Em geral, quanto maior essa largura, maior poderá ser a velocidade de transmissão — normalmente medida em termos do número de elementos de informação, na linha, por segundo (*baud*). Se o elemento do sinal representa um ou dois estados binários, a velocidade em baud é igual à velocidade em bits; quando mais de dois estados são representados, como em uma modulação multinível, a velocidade

em bits excede aquela em baud.

Transmissão digital x analógica — A transmissão do tipo digital pode ser aplicada em dados digitais ou sinais analógicos de voz. No primeiro caso, poderá ser estabelecida através de um canal utilizando-se uma seqüência de pulsos. Devido ao ruído e à distorção, que tendem a destruir a integridade dos pulsos, é preciso detectá-los e regenerá-los.

Esses pulsos são normalmente distorcidos pela indutância e capacidade da linha, além das perdas. Além disso, o comprimento da linha e a duração dos pulsos dificultam a interpretação do sinal recebido. Essas degradações do sinal motivam a inclusão de repetidores regenerativos, a distâncias fixas, para a transmissão de dados digitalizados.

Na transmissão analógica, com faixas contínuas de nível, as amplitudes e freqüências são transmitidas pelas linhas de comunicação. Para manter a qualidade do sinal são usados amplificadores lineares.

A rede telefônica para voz, com o auxílio de portadoras, é muito usada na transmissão analógica para comunicação de dados. Para interfacear os canais analógicos de voz com terminais digitais e computadores, utiliza-se um aparelho conhecido por *modem* (abreviação de modulador-demodulador). Nesses dispositivos, a informação digital é usada para modular o sinal da portadora — e assim poderá passar para a rede telefônica como se fosse um sinal de voz. Na recepção, o sinal é demodulado e reconvertido para a forma digital (fig. 3a).

Modens — Como acabamos de ver, são dispositivos que convertem dados digitais, de um computador ou terminal, para a forma de onda modulada necessária ao canal de comunicação e vice-versa (fig. 3b). Os modens são identificados por uma série de dados e são projetados para tarefas definidas e específicas bandas de passagem e razões de dados.

Os modens aqui apresentados aceitam entrada serial binária para o transmissor e saída também serial binária para o receptor. Não vamos abordar os modelos de entrada paralela (muito usados para transmissão de fita de papel) e os de entrada analógica (adotados em máquinas de fac-símile, por exemplo).

Aplicações da comunicação de dados

Tabela 1

Aplicações	Exemplos específicos	Características
Aquisição e entradas de dados	Dados de situações de vendas, controle de inventário, coleta de dados para folha de pagamentos. Sistema de pontos de venda, reservas em aerolinhas.	Transações coletadas diversas vezes por dia ou semana. A resposta direta não é necessária para cada transação.
Processamento remoto em lotes	Leitora de cartões e impressora de alta velocidade para locais remotos, acesso de baixo custo para um computador distante, de grande porte.	Transações chegam freqüentemente (a cada poucos segundos) e necessitam respostas em poucos segundos.
Resgate de informações	Confirmação de crédito, estado de conta bancária, serviços sociais, sistemas de informação em hospitais.	As transações são normalmente agrupadas e requerem processamento em um período de minutos a horas. Entradas e saídas para cada transação são tratadas individualmente.
Conversação em tempo partilhado	Resolução de problemas gerais, cálculo de projetos de engenharia, edição de textos.	Relativamente baixo volume de entradas para transações. Resposta requerida em questão de segundos. O comprimento da mensagem de saída é normalmente muito curto.
Chaveamento de mensagens	Distribuição postal entre companhias e distribuição de memorandos.	Requerida uma resposta de conversação, usualmente de poucos segundos.
Aquisição de dados em tempo real e controle de processos	Controle numérico de máquinas, medidores remotos e leitura de sensores.	Necessita de distribuição na faixa de minutos a horas.
Troca de dados entre processadores	Todos os tipos de aplicações envolvendo comunicação entre computadores.	Sensores remotos são continuamente monitorados em intervalos de tempo variáveis.

Vamos analisar, então, três tipos de modens binários: de curta distância (*short haul*), de banda larga e para faixa de voz. Os modens do primeiro tipo operam em pequenas extensões — inferiores a 15 km, normalmente — com condutores físicos, sem limite de banda e sem linha carregada. Em alguns casos, nem são modens propriamente (com modulação e demodulação), sendo chamados de excitadores de linha, já que transmitem e recebem diretamente os dados digitais. Embora a linha de comunicação deva ser escolhida cuidadosamente, o custo da instalação pode chegar a um décimo do que seria gasto para um modem da faixa de voz, considerando-se a mesma velocidade. Outras vantagens: a alta velocidade e maior confiabilidade.

Os modens de banda larga operam facilmente em transmissões telefônicas, com velocidades de 19,2 a 230,4

kbps. Essa classe de dados utiliza sempre uma portadora comum e requer uma banda de passagem de 6 a 60 canais da faixa de voz.

As linhas telefônicas com largura de banda de 2 700 Hz (de 300 a 3 000 Hz) são as mais utilizadas na comunicação de dados. Os modens usados com essas linhas devem ser selecionados de acordo com o tipo de serviço requerido — como a razão de dados, nível aceitável e desempenho quanto a erros. As duas grandes categorias desse tipo de modem são:

— **assíncronos**: operam com uma razão de dados máxima de 180 bps, para instalações de telefonia, e 2 000 bps, em linhas especiais. Os acopladores acústicos são modens assíncronos de 600 bps, projetados para utilização em instalações de telefonia.

— **síncronos**: trabalham com uma razão máxima de dados de 4 800 bps, pa-

LANÇAMENTOS EDITELE



**PROCURE OS
NAS MELHORES
LIVRARIAIS E LOJAS DE
MICROS DO PAÍS**

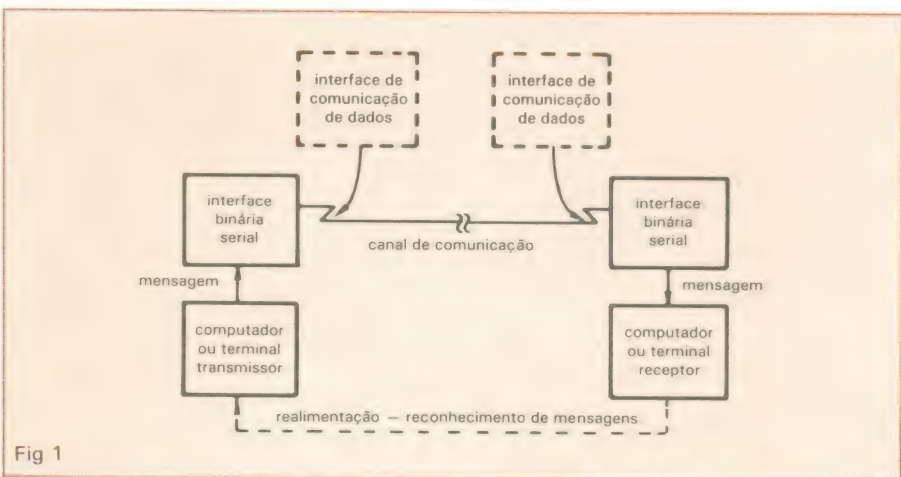
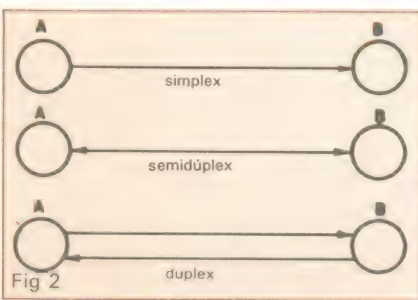


Fig 1

Estrutura típica de uma rede de comunicação de dados.



Os tipos de canais usados em comunicação de dados.

ra instalações de telefonia, e 9 600 bps, em instalações especiais.

Transmissão síncrona e assíncrona

— Os dados assíncronos são normalmente gerados por terminais de baixa velocidade, com uma razão inferior ou igual a 1 200 bps. Nos sistemas assíncronos (fig. 4a), o nível 1 indica o estado inativo da linha de transmissão. Cada caractere transmitido é precedido por uma marcação de espaço (nível 0), indicando ao receptor que esse caractere está em transmissão.

O receptor, por sua vez, detecta o bit de partida e os bits de dados que formam o caractere. No final da transmissão desse caractere, a linha volta ao nível 1 durante um ou dois bits de parada, preparando assim a transmissão do caractere seguinte.

O caractere assíncrono varia em seu comprimento, de acordo com o código de informação utilizado: cinco bits para o código Baudot, sete para ASCII (com um bit opcional de paridade) e oito para o EBCDIC. O processo descrito é repetido caractere por caractere, até que toda a mensagem tenha sido

recebida. Os bits de partida e de parada permitem que o terminal receptor se auto-sincronize com o transmissor, a cada caractere.

A transmissão síncrona (fig. 4b), por outro lado, faz uso de um *clock* interno do modem para sincronizar o transmissor com o receptor. Assim que um caractere de sincronização é captado pelo receptor, a transmissão de dados continua, caractere por caractere, sem a intervenção de bits de partida e parada. Os bits de dados recebidos são interpretados com base no *clock* interno do modem (esse *clock* deriva, normalmente, dos próprios dados recebidos, através de um circuito PLL).

O terminal receptor aceita os dados provenientes do modem, até que este detecte um caractere especial de finalização, ou, então, que um contador de caracteres indique que a mensagem foi completada. O bloco da mensagem é normalmente composto por um ou dois caracteres de sincronização, caracteres de dados e controle (de 100 a 1 000, em geral), um caractere de finalização e mais um ou dois para controle de erros.

É bom saber que os modems síncronos podem ser usados para transmitir dados assíncronos e vice-versa, caso o terminal receptor tenha uma derivação de *clock* para os dados.

A transmissão assíncrona é vantajosa quando a transmissão é irregular (como a que é gerada por um operador de terminal, por exemplo). É também a opção mais barata, pois exige apenas um circuito simples, com uma interface lógica.

A transmissão síncrona, por outro lado, faz melhor uso da linha, pois elimi-

na os bits de partida e parada em cada caractere. Os dados síncronos são mais adequados para modulação multíveis, que combina dois ou quatro bits em um elemento de sinal. Isso eleva a razão de dados para 4,8 ou 9,6 kbps, em uma banda de passagem relativamente estreita — de 2,4 kHz. Os modens síncronos oferecem uma alta velocidade de transmissão, mas são mais caros porque requerem uma sincronização precisa dos dados.

Técnica de modulação — Algumas técnicas de modulação permitem obter taxas de transmissão mais elevadas, mas todas elas afetam diretamen-

te a razão máxima de transmissão e o desempenho quanto a erros. São três as principais técnicas de modulação: FSK (chaveamento por deslocamento de freqüência), AM (modulação em amplitude) e PM (modulação em fase). Estão todas representadas na figura 5:

- **Modulação FSK** — É a forma mais popular de modulação em freqüência. Nesse sistema, a freqüência da portadora (1 700 Hz, por exemplo) é modulada em aproximadamente 500 Hz, para representar os níveis binários 1 e 0; assim, a freqüência de 1 200 Hz representa o nível 0 e a de 2 200 Hz, o nível 1. É uma técnica facilmente adaptável a dispositivos de baixa velocidade, bem

como teleimpressororas e outros dispositivos, até a velocidade de 1 800 bps. (FSK é a abreviação de *frequency-shift keying* ou chaveamento por deslocamento de freqüência.)

— **Modulação em amplitude (AM)** — Essa modalidade habilita o modem a transmitir e receber o equivalente analógico do sinal digital. Envolve a variação de amplitude da portadora.

Tanto AM como FSK adaptam-se bem à transmissão de dados. A modulação FSK tem a vantagem de ser menos suscetível a ruídos; por outro lado, a modulação AM tem maior eficiência, devido à utilização de uma largura de faixa mais ampla.

— **Modulação em fase (PM)** — Os modens projetados para esse tipo de modulação são geralmente designados pelo grau do deslocamento de fase e operam em velocidades iguais ou superiores a 2 000 bps. Nessa técnica, o sinal transmitido é deslocado em um certo número de graus, em resposta ao sinal digital proveniente de um terminal ou computador.

Em um modem PM a duas fases, por exemplo, o sinal deslocado de 180° é definido como o nível binário 1 (ou 0). Na ausência de deslocamento, o sinal é interpretado como uma série de zeros (ou uns), até que ocorra um deslocamento.

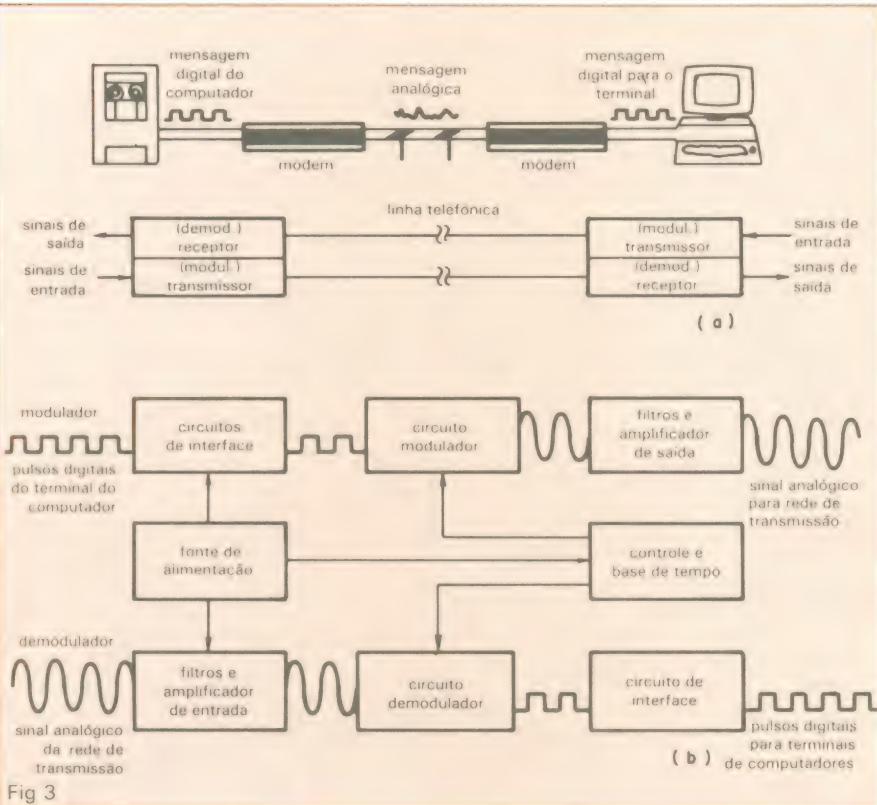
Em geral, os modens PM operam em 4 ou 8 fases, permitindo enviar o sinal até 2 ou 3 vezes, na mesma largura de faixa. A modulação em fase é muito utilizada nos modens de 4 800 e 9 600 bps.

Modens na faixa de voz — Os modens assíncronos de baixa velocidade (0 a 2 000 bps) incluem tempo partilhado, teleimpressororas e terminais de vídeo para sistemas de computadores.

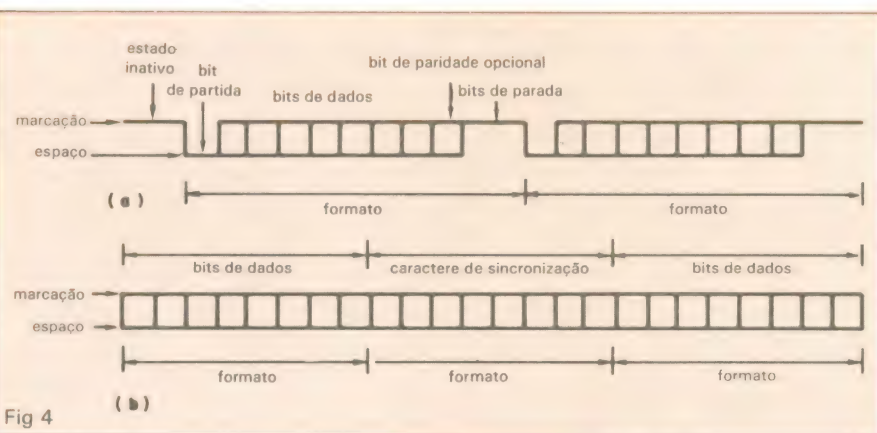
Os modens de média velocidade são normalmente síncronos e operam na faixa de 2 000 a 4 800 bps, para linhas telefônicas comuns ou especiais.

Por fim, os modens de alta velocidade operam na faixa de 4 800 a 9 600 bps, com circuitos especiais. Nessas velocidades, no entanto, é preciso dar maior atenção ao condicionamento e equalização. Esses modens são normalmente usados em aplicações de multiplexação, terminais rápidos para computadores e em sistemas de reserva de vôos.

Condicionamento e equalização — São duas técnicas que visam corrigir alguns problemas de transmissão, como atrasos e distorção na amplitude. O condicionamento refere-se ao processo pelo qual a companhia telefônica mantém a qualidade especificada de linhas especiais privadas, obedecendo a padrões de distorção, atraso e atenuação do sinal.



Conexão básica de uma transmissão analógica (a) e diagrama de blocos interno de um modem (b).



A transmissão assíncrona (a) é mais apropriada à comunicação homem-máquina. A transmissão síncrona (b) é a melhor na comunicação entre máquinas.

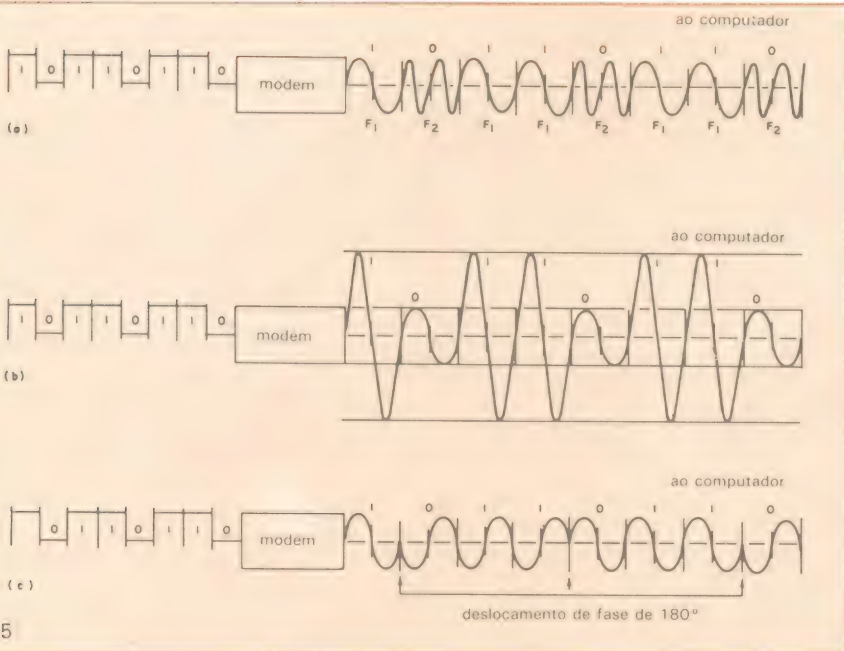


Fig. 5

As técnicas de modulação em comunicação de dados: FSK (a), modulação em amplitude (b) e em fase (c).

Quanto à equalização, refere-se à compensação efetuada pelo modem para a distorção de amplitude e retardo. Não costuma ser necessário em modems de baixa velocidade, pois para esses é suficiente apenas o condicionamento mínimo do sinal. Ambas as técnicas, porém, devem ser aplicadas nos modems de alta velocidade (de 4 800 a 9 600 bps).

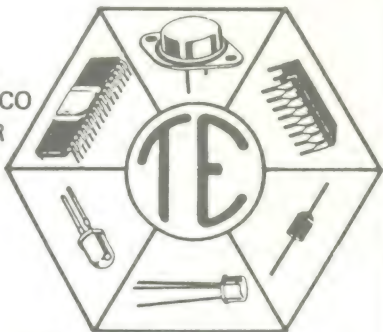
Partilhamento de modems — Quando vários equipamentos de entrada/saída são requeridos em uma extremidade de uma rede de comunicações, pode-se utilizar um multiplexador ou modem partilhado para reduzir os custos — fazendo todos os equipamentos dividirem a mesma linha.

Multiplexadores são dispositivos que recebem vários sinais de baixa velocidade, de um certo número de terminais, e os combinam numa determinada sequência de dados, em alta velocidade e num só canal. Na outra ponta da linha, um demultiplexador reconverte todos os sinais — para uso de um computador central, por exemplo.

A unidade de partilhamento de modems permite que até seis terminais dividam o mesmo modulador/demodulador. São dispositivos próprios para redes que incluem agrupamentos de terminais em locais remotos.

TRANSITRON Comércio de Componentes

- TTL/LS/S/H
- C.MOS
- GRAVADOR E APAGADOR DE EPROM
- LINHA Z80
- ICL 7107
- 2114
- LINHA Z80A
- ELETROLÍTICO
- TRANSISTOR
- POLIESTER
- TÂNTALO
- PLATE
- RESISTOR
- FUSÍVEL
- SOQUETE
- CONECTOR C. IMP.
- PROTO BOARD
- CRISTAL



Atendemos pelo Reembolso VARIG
Linha completa — Consulte-nos

TRANSITRON Eletrônica Itda.

Rua dos Gusmões, 353 - 3º andar - cj. 31 - fones: 223-9133/
223-5187 - Telex (011) 37982 - SP

OS-10

Osciloscópio para faixa de freqüências de C.C. a 10MHz



O OS-10 é um osciloscópio de traço único, com tela de 6 x 7 cm, projetado especialmente para o serviço de campo e amadores. Sua sensibilidade se eleva a 2 mV/cm pelo uso de controle variável. Sinais muito pequenos, a partir de 3 mm de altura na tela, sincronizam a imagem facilmente até 30 MHz. Um filtro de TV permite a apresentação de sinais de vídeo na sua freqüência de quadro. Um circuito para teste de componentes foi incorporado ao OS-10, com o objetivo de possibilitar a verificação de semicondutores e de outros componentes. A boa luminosidade e foco do tubo, com gratulado interno, permitem a análise da imagem sem paralaxe - fato importante para serviços de manutenção e monitoração. A construção compacta e robusta, o baixo peso e o desempenho seguro fazem do OS-10 um item indispensável para oficina e campo.



ELETRÔNICA DE PRECISÃO LTDA.

Caixa Postal 21277 - Cep 04698 - São Paulo, SP

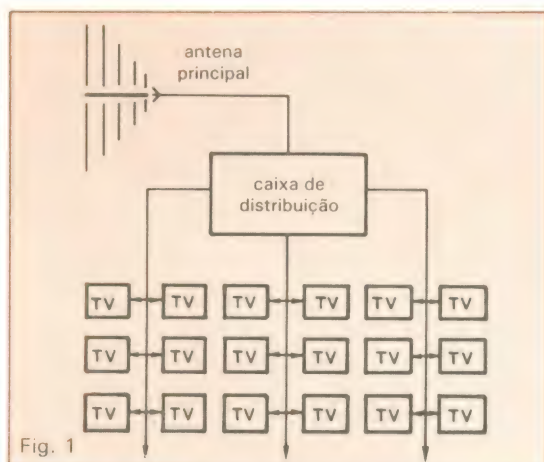
TV por cabo e alta tensão chaveada

O sistema de televisão por cabo — CATV —, já bastante difundido nos EUA, é um dos temas deste mês. Também é analisada a fonte de alta tensão chaveada do Colorado RQ

Um processo diferente daquele que conhecemos para distribuir o sinal de TV e que proporciona ótimos resultados práticos é o chamado *Sistema de Antena Comunitária* — CATV (Community Antenna Television System) — ou, simplesmente, "TV por cabo".

Este sistema foi aplicado pela primeira vez nos EUA, em 1960, como um método alternativo para distribuição dos sinais de TV em lugares onde os sinais de RF tinham dificuldade para penetrar devido à presença de obstáculos — montanhas, colinas etc. Ele foi baseado no seguinte princípio: ao invés de instalar antenas individuais para cada um dos pontos de recepção, optou-se pela instalação de uma única antena (ou conjunto de antenas para todos os canais de TV) em um lugar privilegiado, como, por exemplo, o topo de uma montanha. A partir daí, o sinal de RF captado (sem ruído e sem "fantasmas") seria distribuído diretamente por meio de cabos coaxiais a cada um dos pontos de recepção, mediante o pagamento de uma taxa de instalação e posterior mensalidade para manutenção do sistema (fig. 1).

O processo se mostrou bastante vantajoso, por transformar o custo da



A partir de uma antena bem localizada, o sinal é distribuído por meio de cabos coaxiais.

instalação, manutenção e ajustes das antenas individuais — que nestes lugares de difícil recepção sempre representam problemas (torres altas e/ou antenas especiais) — para a forma de mensalidades, em troca da recepção de sinais "limpos"

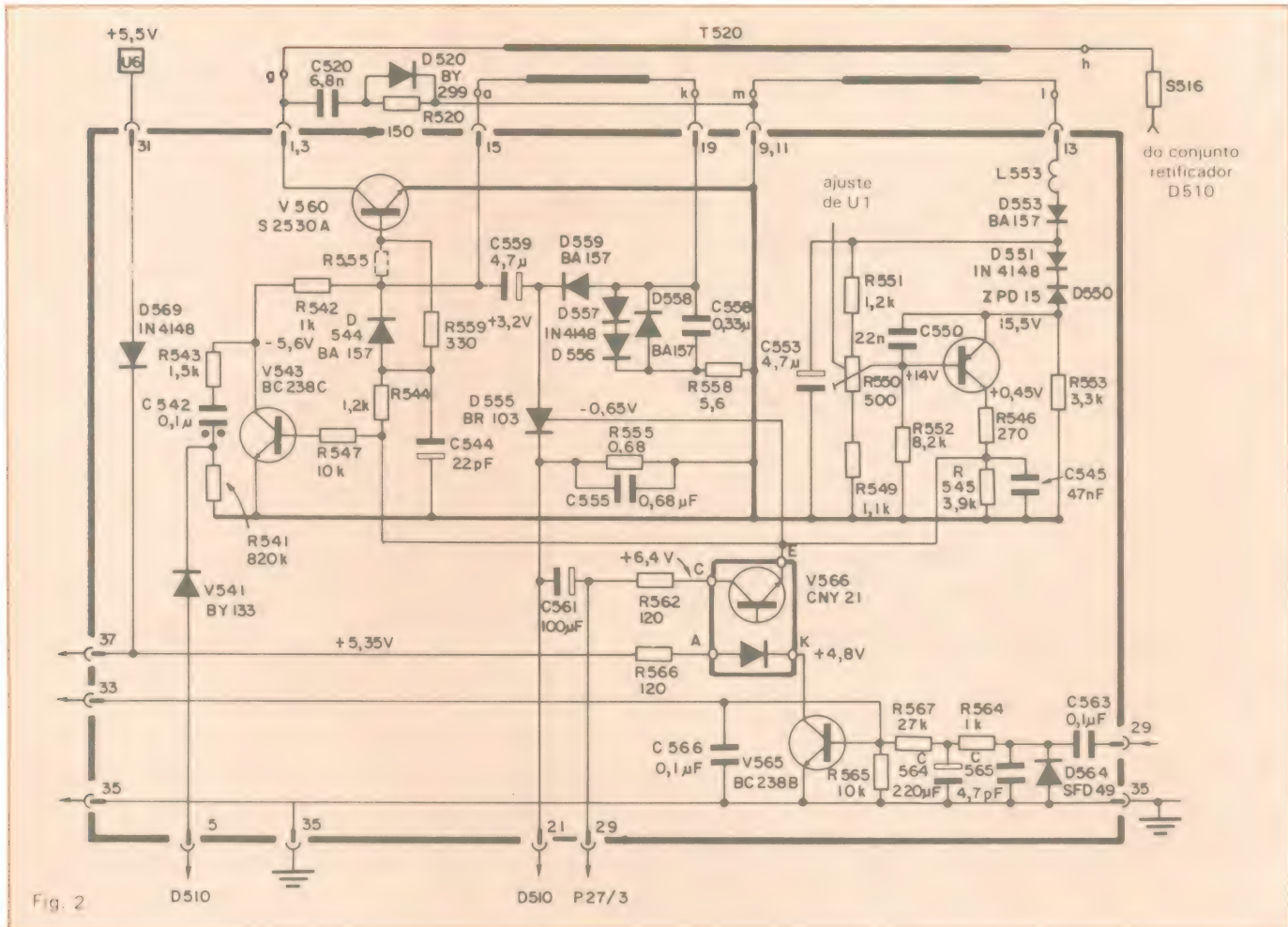
O sistema CATV, a partir de então, revelou ser bastante prático não só para as regiões montanhosas, mas também para as grandes metrópoles, onde

o elevado número de construções bloqueia ou reflete os sinais de VHF, proporcionando imagens múltiplas ("fantasmas") e de péssima qualidade.

Pelo sistema CATV, os sinais de TV são distribuídos por cabo e obedecem às padronizações de freqüência de um canal padrão — largura de faixa, portadoras etc. — podendo portanto alimentar diretamente a antena do receptor. Uma outra vantagem deste sistema é que ele permitiu a introdução de uma quantidade adicional de canais além dos 12 existentes na faixa de VHF. Esta inclusão de canais extras foi possível por-

que neste sistema não há irradiação de sinal e assim eles não interferem em outros equipamentos.

Alguns dos canais adicionais para TV por cabo foram alojados entre os canais baixos (2 a 6) e os canais altos (7 a 13), na faixa de 120 MHz a 174 MHz, recebendo a denominação de "canais de faixa média", designados pelas letras A, B, C, D, E, F, G, H e I. Outro grupo foi colocado no extremo superior,



Esquema elétrico da fonte de alta tensão do Colorado RQ CO-C5.

acima dos canais altos, sendo designados pelas letras J, K, L, M e N; são conhecidos por "canais da faixa super". Com isto, um total de 14 canais foi acrescentado na faixa de VHF. Esses "canais de cabo" transmitem programações exclusivas para este sistema.

Para a recepção dos canais de cabo, torna-se necessário o uso de um conversor próprio. (Ref. *Televisão Básica*, Bernard Grob, tradução, Ed. Guanabara Dois.)

Fonte de alta tensão chaveada

Minha TV Colorado RQ, chassi CO-C5, apresenta ausência de vídeo e som normal, indicando provável defeito no circuito de alta tensão. Gostaria de uma explicação sucinta da fonte de alimentação deste aparelho e um resumo do funcionamento da alta tensão

A freqüência de oscilação da fonte permite usar um transformador menor

Manoel E. A. Filho — Campina Grande, PB

Este receptor montado pela Colorado utiliza sofisticada tecnologia alemã (Blaupunkt), empregando, na parte de deflexão horizontal, um circuito bastante diferente do tradicional, que funciona baseado na condução e corte de diodos controlados de silício — SCR. A fonte de alimentação também não

segue o padrão de circuito dos demais modelos de TV, e é igualmente controlada por um SCR. Estes dois assuntos básicos estão desenvolvidos a seguir.

Alimentação chaveada — O esquema elétrico apresentado na figura 2 ajuda a acompanhar as explicações sobre o funcionamento dessa fonte de alimentação. Primeiramente a energia retirada da rede elétrica é transformada em tensão contínua (CC) pela ação do conjunto retificador D510. Neste estágio inicial é feita a seleção para a tensão nominal da rede, dependendo da posição da chave seletora de tensão: na posição 110 V, o circuito retificador assume a configuração de um dobrador de tensão; na posição 220 V, o circuito se torna um retificador de onda completa. Obtida a tensão CC (retificada e filtrada), após atravessar o fusível de proteção S516, ela vai alimentar o

coletor do transistor V560, através do enrolamento primário HG do transformador T520. Este transistor de chaveamento (*Switching Transistor*) opera como se fosse um "interruptor de corrente", transformando a tensão CC em "pacotes de energia" (CA). Através do transformador T520, eles são transferidos aos enrolamentos secundários para serem finalmente retificados e filtrados, constituindo as tensões nominais de alimentação do receptor.

A estabilização (regulagem) neste tipo de fonte é obtida pela variação do tamanho dos pacotes de energia criados pelo transistor de chaveamento. Este controle é exercido por um amplificador de erro, do mesmo modo que nas fontes reguladas do tipo tradicional. O amplificador de erro (V550) compara uma amostra da tensão de saída obtida pelo enrolamento LM, retificada e filtrada por D553/C553, com a tensão de referência fornecida pelo diodo zener D550. A saída do amplificador, tomada sobre os resistores R546 e R545,

A fonte de alta tensão do TV Colorado RQ é do tipo chaveado

é que irá controlar, através do *gate* do SCR D555, o tamanho dos pacotes de energia.

A fonte inclui ainda um sistema de proteção automático, cujo elemento principal é o acoplador ótico V566 (CNY21). Esse acoplador ótico é formado por dois circuitos eletricamente isolados: por um lado, o LED, que atua como sensor de entrada, e, por outro, o transistor, que é o elemento de saída. O transistor de saída está ligado entre o *gate* e o catodo de D555, de forma a curto-circuitar esses eletrodos assim

que acionado. Com isso, bloqueia o disparo do SCR, o que tem como consequência a paralisação imediata do funcionamento da fonte. Existem duas formas de operação deste sistema de bloqueio da fonte. Uma delas é controlada pelo sistema de controle remoto, permitindo ao operador comandar a função liga/desliga do aparelho. A outra é atuando especificamente como proteção do aparelho, de modo a desligá-lo sempre que houver qualquer sobrecarga no horizontal.

A frequência das oscilações da fonte chaveada se situa na faixa de 20 a 30 kHz, portanto, bastante superior à frequência da rede. Isso permite obter duas vantagens principais: a construção do transformador e o controle da energia são mais simples e a filtragem das tensões retificadas de saída pode ser realizada por capacitores eletrolíticos de menor valor. Esta fonte de alimentação é totalmente blindada para evitar irradiação de sinais que poderiam interferir com o vídeo, causando

ÍNDICE DE ANUNCIANTES

Argos-Iptel	29
Approach	19
Bucker	24
CEDM	31
CEMI	42
Curso Aladim	21
Daos	10
Escolas Internacionais	65
Ibrape	3ª Capa
Litec	30
M.C	16
Novik	2ª Capa
Occidental Schools	11
Rádio Elétrica Santista	71
Schrack	71
Sele-Tronix	55
Serion	05
Teleimport	24
Transitron	76
Vitrine Eletrônica	88
WGB	76



SUGADOR DE SOLDA SS-15 Patenteado



- BEM MAIS LEVE só 45 gramas

- MAIOR SEGURANÇA

- MAIOR VOLUME DE SUCÇÃO ARMÁVEL COM UMA MÃO SÓ

Imprescindível na remoção de qualquer componente da placa de circuito impresso. Deixa furos e terminais limpos para novas montagens.

FURADOR DE PLACAS

Fura com maior simplicidade e perfeição, placas de circuito impresso.



Manual
Mais fácil
do que grampear papel

SUPORTE P/ PLACAS DE CIRCUITO IMPRESSO

REGULÁVEL



A 3ª MÃO

Mantém a placa firme, facilitando montagens, soldagens, consertos, testes, experiências, etc.

CETEKIT - LABORATÓRIO P/ CIRCUITO IMPRESSO

Composto de: cortador de placa - perfurador de placa - caneta com tinta - placa virgem - percloro de ferro - vasilhame p/ corrosão - instruções p/ uso.

GRÁTIS curso - Como Fazer uma Placa de Circuito Impresso.
Aos sábados - Centro de S. Paulo
Informações Tel.: 221-1728

CETEISA — Centro Técnico Indl. Sto Amaro Ltda

Rua Barão de Duprat, 312 - Sto Amaro - S. Paulo

Tels.: 548-4262 e 522-1384 - Cep. 04743

problemas na tela. A manutenção das oscilações é assegurada pela realimentação positiva proporcionada pelo enrolamento AK, junto ao circuito de base de V560.

Deflexão horizontal — O estágio de deflexão horizontal do aparelho utiliza uma filosofia de circuito diferente da tradicional, empregando, em lugar do transistor de saída horizontal, dois retificadores controlados de silício e mais alguns componentes (capacitores, bobinas, transformadores) apropriados para gerar a corrente de deflexão sobre o *yoke* e a alta tensão para o anodo do cinescópio.

O retificador controlado de silício é um componente semicondutor bastante semelhante a um diodo retificador comum, mas com a vantagem de possuir um eletrodo de controle, chamado *gate* ou "gatilho". Com esse recurso é

possível controlar o instante exato em que desejamos que o retificador passe a conduzir, desde que exista uma tensão positiva no anodo com relação ao catodo. Uma vez acionado (pulso de disparo no *gate*), o SCR passa ao estado de condução irreversível, isto é, ele deixa de obedecer ao controle do gatilho e só voltará ao estado de corte quando a tensão entre anodo e catodo cair a zero ou passar a ser negativa.

Por essas características o SCR exibe um comportamento semelhante a uma chave interruptora controlada pelo *gate*. A formação da corrente dente de serra que circula pelo *yoke* é obtida pelo chaveamento coordenado entre dois circuitos ressonantes. Um deles é sintonizado para produzir a corrente do traçado do feixe, isto é, a corrente que irá defletir o feixe de elétrons de um extremo ao outro da tela para traçar uma linha de varredura. Este circuito resso-

nante é constituído pela própria indutância do *yoke* e pelo capacitor série com ele. O SCR que controla o chaveamento do circuito é o D687 que está montado no módulo de traçado (do inglês *Scanning Modul*; do alemão *Hinlauf-Modul*). O outro circuito ressonante associado a este estágio está sintonizado numa freqüência bem maior, de forma a produzir a corrente de retorno do feixe. Este segundo circuito ressonante é controlado pelo SCR D671, que será montado no módulo de retraço (do inglês *Flyback Modul*; do alemão *Rücklauf Modul*). Os componentes associados a estes dois SCRs é que determinam a exata coordenação entre o acionamento do traço e do retraço. A figura 3 apresenta uma simplificação desse circuito.

Observe que para o funcionamento do horizontal é necessária a interação de ambos os SCRs. Normalmente se ocorrer a danificação de um deles, a sobrecarga sobre outro fatalmente o destruirá, também. A geração da alta tensão para o anodo do cinescópio é obtida de forma similar a qualquer outro aparelho, por meio de um enrolamento próprio sobre o transformador de saída horizontal (TSH), que eleva os pulsos horizontais até uma amplitude ideal para ser aplicada à cascata triplicadora de onde é retirada a MAT.

O circuito composto por R736/C736, mostrado na figura 4, que une o inicio do enrolamento de alta tensão à terra, é quem fornece uma amostra da corrente de feixe consumida pelo cinescópio. Este sinal servirá de sensor para o circuito de controle automático de brilho, composto pelo transistor V335 do módulo de luminância. Irá alimentar também a entrada de V555, na fonte de alimentação, para controle do acoplador ótico, a fim de proteger o aparelho, desligando a fonte toda vez que ocorrer um *ripple* horizontal muito elevado, provocado por fiscamento ou qualquer outra anomalia.

O problema relatado — do aparelho sem imagem (trama), porém com o som normal — evidencia ausência de funcionamento horizontal. Portanto, a possível causa do defeito deve ser pesquisada desde o oscilador horizontal até a saída (módulos de traço e retração).

A todos os leitores — Escrevam sugerindo temas a serem abordados nesta seção. Procuraremos atender a todas as consultas que nos chegarem, publicando-as na medida do possível. ●

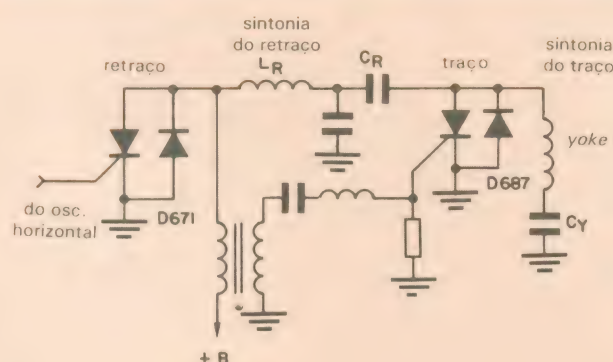


Fig. 3

Círculo simplificado do estágio de deflexão horizontal.

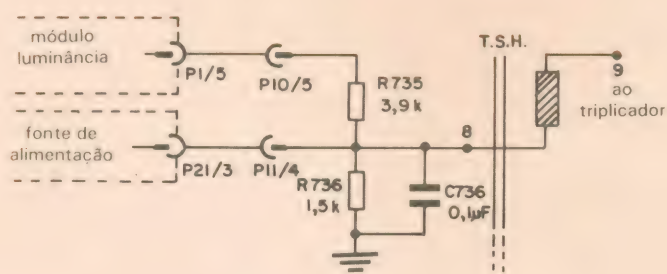


Fig. 4

Uma amostra da corrente consumida pelo cinescópio serve para o controle automático de brilho.

2ª PARTE:
O NOCTICON

Tubos captadores de imagens para câmeras de vídeo

Neste segundo artigo são discutidas duas válvulas específicas para baixos níveis de iluminação: *O Nocticon e o Super Nocticon*. Conclui com dicas sobre a escolha de tubos para vídeo

Existem válvulas especiais para captar imagens em ambientes pouquíssimo iluminados (como, por exemplo, cenas com céu estrelado e sem luar). O *Nocticon* pertence a essa família (figura 7); nele, as funções de fotodetecção e acumulação de cargas são totalmente separadas. A imagem ótica é focalizada sobre o fotocatodo, que converte os fótons em elétrons. Estes são então focalizados e acelerados, até atingir uma energia de 10 keV, aproximadamente, no instante em que atingem o mosaico — que consiste numa placa de silício com junções PN (diodos).

Cada elétron transfere sua energia para o mosaico, criando um grande número de pares elétron-lacuna. Ele tem

ainda a função de multiplicador de elétrons, com ganho da ordem de 1 500 a 2 500. As lacunas absorvidas sobre a superfície do mosaico, no lado em frente ao canhão, reproduzem fielmente a imagem ótica focalizada sobre o photocatodo. Essas cargas são neutralizadas pelo feixe de elétrons, como no caso do *Vidicon*, e o sinal de saída é tirado diretamente do substrato de silício, que funciona como elemento de sinal.

Os *Nocticons* são fabricados com diagonais de 25 e 16 mm, sendo que estes admitem a utilização das mesmas óticas dos *Vidicons* de 1 polegada. A iluminação mínima explorável sobre a janela de entrada é de 10^{-4} lux, para os tubos de 25 mm, e 3×10^{-4} lux, para os de 16 mm.

A variação do ganho do mosaico por ajuste da tensão de aceleração dos fotelétrons provoca variações de sensibilidade, sendo que a máxima é da ordem de $100 \mu\text{A/lux}$. As características correntes de escuro, remanescência e resistência à superexposição são semelhantes às dos *Vidicons* com mosaico de silício. A resposta espectral do photocatodo S20 dos *Nocticons* é dada na figura 8.

O Super Nocticon — Para aumentar a sensibilidade do tubo, a fim de permitir tomadas noturnas, acoplou-se um intensificador de imagem ao *Nocticon*;

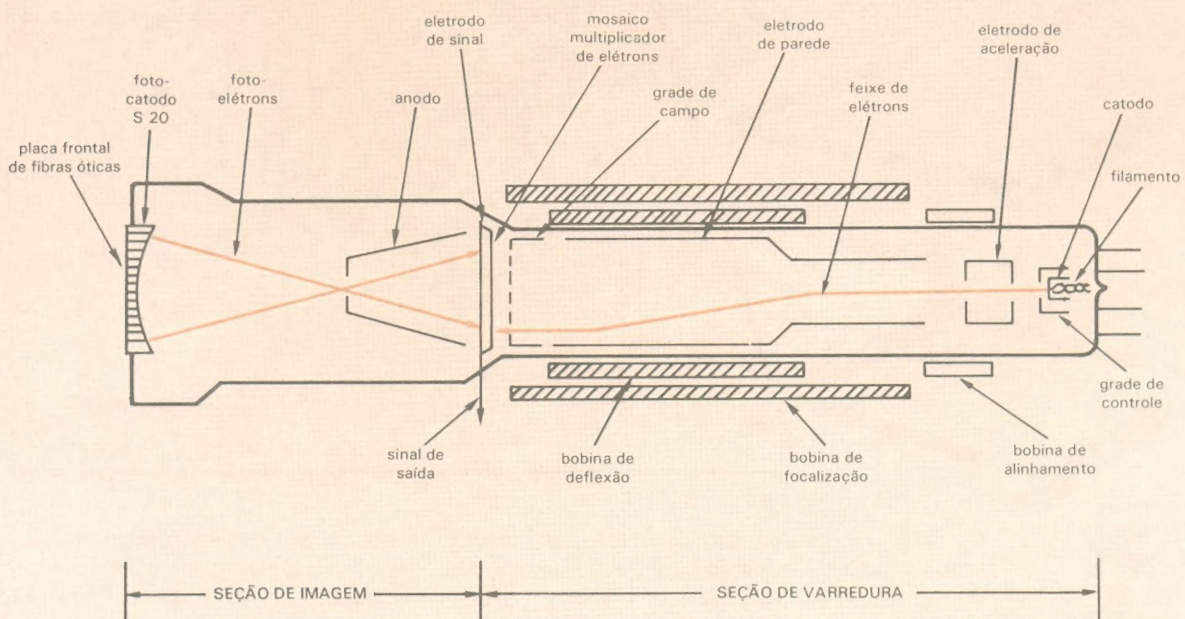


Fig. 7

Vista em corte de um tubo Nocticon. Repare na separação entre as etapas de captação e processamento de imagens.

este conjunto é chamado de *Super Nocticon* (fig. 9) e existe nas versões de 16, 25 e 40 mm de diagonal.

A sensibilidade global permite atingir os limites teóricos da resolução (200 linhas TV por 1 μ lux incidente), resultante da flutuação fotônica e do rendimento do fotocatodo. Essa propriedade é explorada nos campos da astronomia e física nuclear, para a contagem do número de fôtons.

Para um nível de iluminação inferior a 10^{-2} lux sobre o fotocatodo, o *Super Nocticon* apresenta remanescência inferior à do *Nocticon*. O fotocatodo do intensificador de imagem é do tipo S20ER, com uma resposta espectral

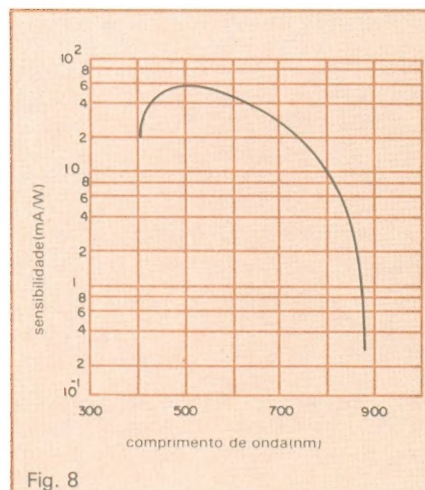


Fig. 8

Curva de resposta do fotocatodo empregado no Nocticon.

expandida sobre o vermelho (até 900 nm). Sua curva de resposta típica é mostrada na figura 10.

São fabricados diferentes tipos de *Super Nocticons*, como, por exemplo, aqueles com intensificadores de imagem dotados de zoom eletrônico, com obturador ultra-rápido, com placa de microcanais (tipo de multiplicador de elétrons de altíssimo fator) ou, sob pedido, sensíveis a radiações fora do espectro visível.

Os *Nocticons* e *Super Nocticons*, tubos do tipo L³TV (*Low-Light-Level TV Tubes*) têm muito em comum com os *Vidicons* e sua instalação e operação nas câmeras se faz de modo similar. A diferença essencial é o ganho eletrônico interno, devido à alta tensão (VHF) e ao mosaico multiplicador de elétrons. Essa característica permite obter, a partir dos elétrons emitidos pelo fotocatodo, uma corrente de sinal notadamente superior ao ruído do pré-amplificador.

Sensibilidade — Sob baixos níveis de luz, o número de fôtons é reduzido; logo, o número de elementos de imagem gerados por esses fôtons será também reduzido. A esse efeito associa-se uma variância e o efeito global será uma flutuação de quadro para quadro. Isto se traduz por um ruído inevitável sobre a imagem, que cresce com a diminuição dos níveis de luz.

Normalmente, o ganho eletrônico máximo do *Nocticon* amplifica esse ruído até o nível de ruído do amplificador.

dor e o *SuperNocticon*, a níveis 10 a 30 vezes superiores. Constatamos, então, que sob baixos níveis de luz a relação sinal/ruído não aumenta com a sensibilidade. Isto resulta numa limitação do poder de resolução, quando o nível de iluminação de cena diminui de 10^{-1} a 10^{-4} lux.

A elevada sensibilidade dinâmica dos L³TV permite a tomada de imagens numa extensa faixa de valores de iluminação, mas implica na possibilidade de danificar os tubos por superexposição.

Se os tubos *Nocticon* e *Super Nocticon* resistem muito bem a superexposições concentradas — pontuais ou localizadas — de alta sensibilidade (10 mil vezes maiores que o sinal de saturação), o mesmo não é válido quando toda superfície sensível é fortemente iluminada: o consumo do detector (que não sofre o fenômeno da saturação) pode ser muito grande e o tubo se deteriora acima de determinados valores. Quando isto ocorre, normalmente verificamos a criação de um ponto negro no centro da imagem.

É imperativo, portanto, que no projeto da câmera seja assegurado um sistema de segurança automático do tubo L³TV, que mantenha sua sensibilidade (em regime normalizado) dentro da faixa de utilização normal.

Escolha do tubo — Os tubos de câmera possuem um canhão eletrônico que necessita, normalmente, de campos eletromagnéticos de focalização,

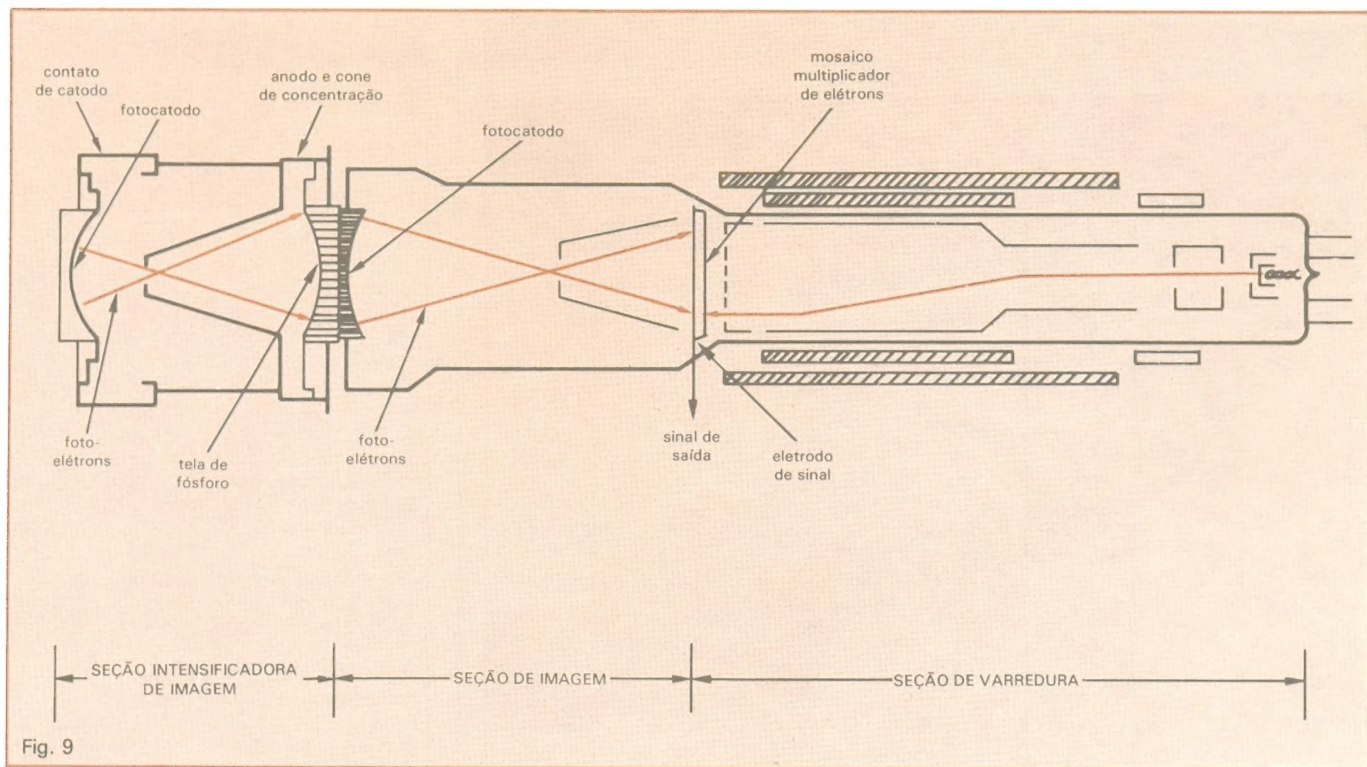


Fig. 9

Um tubo L³TV ainda mais sensível: o Super Nocticon.

deflexão e alinhamento. Tais campos são obtidos através de bobinas, cujos projeto e qualidade influenciam diretamente o desempenho do tubo (resolução, distorção, uniformidade), na mesma proporção que o canhão eletrônico.

Todas as condições de utilização

(iluminação de cena, qualidade da imagem etc.) devem ser cuidadosamente definidas antes da escolha do tubo. A família que atende às exigências pode ser determinada, previamente, pelas tabelas 2 e 3. Na Tabela 4 apresentamos uma comparação dos níveis de iluminação de cena.

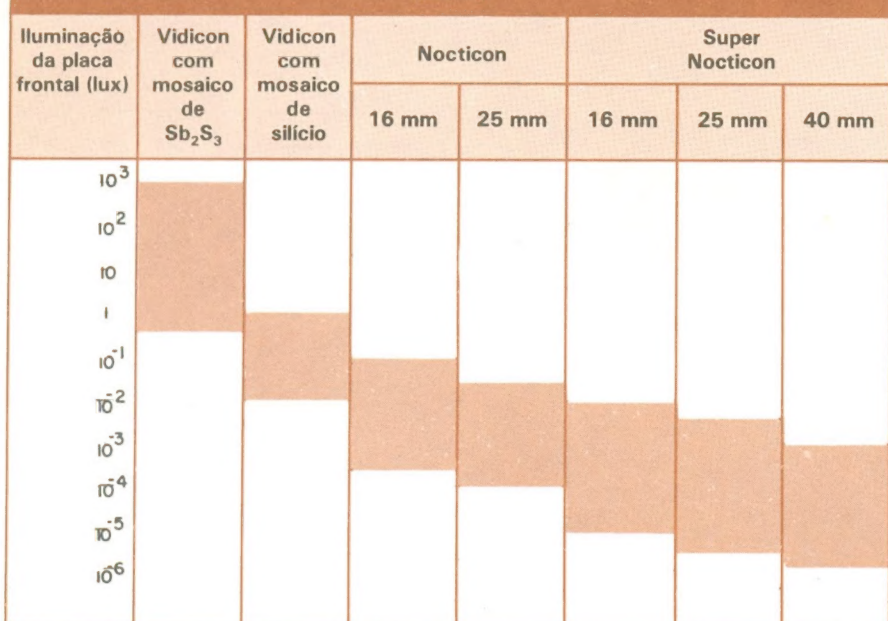
Comparação de características

Tabela 2

	Vidicon com mosaico de Sb_2S_3	Vidicon com mosaico de silício	Nocticon	Super Nocticon
			16 mm 25 mm	16 mm 25 mm 40 mm
Faixa de exposição aceitável sobre a placa frontal			Ver a Tabela 3	
Sensibilidade a 25°C	$i_s = 50 \text{ nA}$ p/ 1 lux $i_s = 220 \text{ nA}$ p/ 10 lux	700 nA/lux	30 $\mu\text{A}/\text{luz}$ 100 $\mu\text{A}/\text{luz}$	0,8 mA/lux 1,5 mA/lux 4 mA/lux
Resposta espectral (nm)	400 a 700	400 a 1150	400 a 800	400 a 900
Ajuste da sensibilidade do tubo	variação da tensão de mosaico de 10 a 60 V	não ajustável pela tensão de mosaico	variação da tensão de fotocatodo de -2,5 a -9 kV	variação da tensão de fotocatodo: intensificador: - 5,8 a -21 kV Nocticon: -2,5 a -9 kV
Corrente de escuro (25°C)	2 nA com tensão de mosaico 10V; 100 nA com tensão de mosaico 60V	2 a 4 nA	2 a 4 nA	2 a 4 nA
Resolução espacial (LTV)	1000	700	700 750	500 550 550/900

Limites de sensibilidade

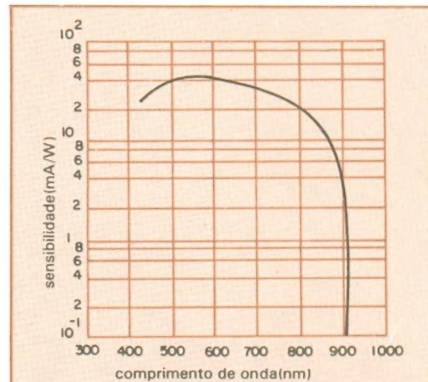
Tabela 3



Uma vez definido o tipo de tubo, as bobinas passam a ter sua definição associada a alguns fatores: qualidade de imagem, dimensões e peso, consumo de energia, facilidade de montagem etc.

As bobinas de deflexão, focalização e alinhamento podem ser fornecidas sob a forma de um só bloco ou com o bloco deflexão/focalização separado do dispositivo de alinhamento (eletromagnético ou com ímã permanente). Alguns tubos são comercializados com as bobinas já incorporadas e reguladas em fábrica. É o caso principalmente dos tubos curtos, de até 100 mm de comprimento.

(conclui no próximo número)



Cobertura espectral do fotocatodo S20ER, usado no Super Nocticon.

Níveis de iluminação

Tabela 4

condições de luz	nível em lux
dia ensolarado	1000
dia nublado	$1 \text{ a } 10^{-1}$
noite com luar	10^{-2}
noite com luar, parcialmente nublada	$3 \cdot 10^{-3}$
lua em quarto minguante	10^{-3}
lua em quarto minguante, noite parcialmente nublada	$3 \cdot 10^{-4}$
noite sem luar	10^{-4}
noite sem luar, parcialmente nublada	$3 \cdot 10^{-5}$
noite sem luar, quase totalmente nublada	10^{-5}
noite totalmente nublada	10^{-6}

AGORA VOCÊ VAI CONHECER A OUTRA FACE DO CP 500

CP 500



A Prológica está lançando
um micro que vale por dois: o CP 500
com face dupla.

Operando com dois drives e apenas
dois disketes, o CP 500 pode armazenar
até 700 Kbytes.

O segredo é a face dupla. Ela permite ao CP 500 ler
dos dois lados do diskete e dobrar sua capacidade
de memória.

O mais incrível é que ele custa 30% a menos do que
qualquer configuração semelhante. E você ainda
economiza dinheiro com a compra de disketes.

O CP 500 opera com até 16 dígitos, uma
verdadeira mão na roda para quem quer soluções na área
financeira.

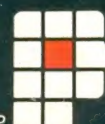
Com ele você tem acesso ao Videotexto, ao Projeto
Cirandão e a inúmeros bancos de dados existentes no País.
Outra vantagem: você não precisa abrir mão dos software
que você já possui.

Dê um pulo até o seu Revendedor Prológica e fique
face a face com a dupla face do CP 500. Vale a pena.

CP 500 - 023D FACE DUPLA.



Filiada
à ABICOMP



PROLOGICA
microcomputadores

Av. Engº Luis Carlos Berrini, 1168 - SP